

62c)



UNIVERSIDAD NACIONAL AUTONOMA DE MEXICO

FACULTAD DE ESTUDIOS SUPERIORES
"CUAUTITLAN"

DISEÑO DE INTERCAMBIADORES DE CALOR DE TUBOS Y CORAZA

FALLA DE ORIGEN

T E S I S
QUE PARA OBTENER EL TITULO DE:
INGENIERO QUIMICO
P R E S E N T A :
HECTOR JURADO CARDENAS

DIRECTOR DE TESIS: I. Q. HECTOR J. BECERRA RIOS



CUAUTITLAN IZCALLI, ESTADO DE MEXICO, 1990



UNAM – Dirección General de Bibliotecas Tesis Digitales Restricciones de uso

DERECHOS RESERVADOS © PROHIBIDA SU REPRODUCCIÓN TOTAL O PARCIAL

Todo el material contenido en esta tesis está protegido por la Ley Federal del Derecho de Autor (LFDA) de los Estados Unidos Mexicanos (México).

El uso de imágenes, fragmentos de videos, y demás material que sea objeto de protección de los derechos de autor, será exclusivamente para fines educativos e informativos y deberá citar la fuente donde la obtuvo mencionando el autor o autores. Cualquier uso distinto como el lucro, reproducción, edición o modificación, será perseguido y sancionado por el respectivo titular de los Derechos de Autor.

INDICE

Introducción	1
CAPITULO I	
Mecanismos de transferencia de calor	
1.1 GENERALIDADES DE TRANSFERENCIA DE CALOR	1.1
Conducción	1.1
Convección	1.3
Radiación	1.4
1.2 CONVECCIÓN LIBRE Y FORZADA	1.6
Convección natural o libre	1.7
Convección forzada	1.7
Ecuaciones básicas para convección forzada .	1.10
CAPITULO II	
Factores que influyen en el diseño	
2.0 INTRODUCCION	2.1
2.1 Diferencia de expansión térmica	2.2
2.2 Control de flujo por los tubos	2.8
2.3 Control de velocidades a través de la coraza	2.9
2.4 Consideraciones de facilidad de mantenimiento y servicio	2.11
2.5 Componentes principales	2.13
2.5.1 Cabezas Frontal y Posterior	2.13
2.5.2 Sección de coraza	2.18
2.6 Tubos para intercambiadores de calor	2.20
2.7 Bafles o mamparas	2.23
2.8 Accesorios generales para el lado de la coraza	2.26
2.9 Materiales de construcción	2.29
2.10 Diseñación de intercambiadores de calor .	2.30

CAPITULO III

Procedimiento de diseño

3.1 Introducción	3.1
3.2 Etapas en el diseño de equipos de tubo y coraza	3.1
3.2.1 Balance de energía	3.1
3.2.2 Colocación de los fluidos	3.2
3.2.3 Diferencia de temperaturas	3.3
3.2.4 Cunosción del coeficiente total	3.5
3.2.5 Evaluación de temperatura celdriva ...	3.5
3.2.6 Cunosción del arruglo	3.7
3.2.7 Cálculo de Área de transferencia y número de tubos	3.13
3.2.8 Cálculo de coeficientes de transfe- rencia	3.14
3.2.8.1 Corrección del coeficiente	3.17
3.2.9 Cálculo de caídas de presión	3.19
3.3 Ejemplo de Cálculo	3.23
3.4 Conclusiones	3.39

INTRODUCCION

Durante la formación académica del Ingeniero Químico, - el estudio de la transferencia de calor es una etapa básica para su posterior desarrollo profesional. Sin embargo, debido a la amplitud del campo de la transferencia de calor, no se cuenta con toda la información necesaria reunida en un - solo manual.

Durante el desarrollo profesional del Ingeniero Químico, esta falta de información lo hacen recurrir en muchas ocasiones a firmas de ingeniería que se especializan en el dimensionamiento y construcción de intercambiadores de calor; lo que aumenta el costo del equipo, pues estas firmas reciben un pago por la construcción y además por el diseño de dicho equipo.

Este trabajo tiene como objetivos, reunir la información requerida para el diseño termodinámico, proponer un método de cálculo lógico y secuencial así como proporcionar una descripción de los componentes de estos equipos, lo cual facilitará la elección apropiada de cada componente de acuerdo al proceso para el que se está diseñando.

En el Capítulo I, se describe de manera simplificada, los mecanismos de transferencia de calor, dando mayor énfasis a la transferencia de calor por convección forzada. Se proponen además una serie de alternativas para la evaluación de coeficientes a diferentes condiciones, tanto por la coraza, como por los tubos.

El Capítulo II contiene una descripción detallada de las partes constitutivas de los intercambiadores de calor y puede ser utilizada como guía a la hora de seleccionar el intercambiador propiamente dicho.

El Capítulo III proporciona una secuencia ordenada para el diseño de intercambiadores de calor de tubo y correa, lo que permite la maximización en el diseño. Esta secuencia, unida a la descripción de las partes del Capítulo II dan como resultado, diseñar y seleccionar el mejor equipo en poco tiempo.

En el capítulo IV se proporciona una serie de datos de propiedades físicas, constantes de diseño e información de dimensiones varias para diferentes tipos de geometría y arreglos.

CAPÍTULO I

MECANISMOS DE TRANSFERENCIA DE CALOR

1.1 Generalidades de transferencia de calor.

La ciencia de la transferencia de calor está relacionada con la razón de intercambio de calor entre cuerpos calientes y fríos, llamados respectivamente fuente y receptor.

Hay tres formas diferentes en las que el calor puede pasar de la fuente al receptor, aún cuando muchas de las aplicaciones en la ingeniería son combinaciones de dos o las tres formas de transferencia. Estas son: Conducción, Convención y Radiación.

1.1.1 Conducción.

Es la transmisión de calor de una parte a otra de un mismo cuerpo, o de un cuerpo a otro con el que está en contacto físico, sin que se produzca un desplazamiento apreciable en las partículas del cuerpo.

La ecuación diferencial fundamental para la transmisión de calor por conducción es la Ley de Fourier,

$$dQ = -k A \frac{dt}{dx} \quad (1-1)$$

en la que dQ (BTU/hr) es el flujo de calor, A es el área normal a la dirección en que fluye el calor, y $-dt/dx$ es la rapidez con que varía la temperatura en función de la distancia en la dirección y sentido en que fluye el calor, es decir, es un gradiente de temperatura. El factor k se denomina conductividad térmica y depende del material a través del cual fluye el calor y de la temperatura. La conductividad térmica de los sólidos tiene un amplio rango de valores numéricos dependiendo de si el sólido es relativamente un buen conductor de calor, tal como un metal, o un mal conductor, estos últimos

se pueden emplear como risalentes.

La presencia de imperfecciones, especialmente en metales, puede producir variaciones en la conductividad térmica del 50 al 75 por ciento. Al utilizar las conductividades térmicas debe tenerse en cuenta que la conducción no es el único método para transmitir calor y, que en particular con líquidos y gases la radiación y la convección pueden ser mucho más importantes.

En el flujo estacionario de calor, el término dG de la ecuación (1-1) es constante y se puede sustituir por q . Si k y A son independientes de t y x , la ecuación (1-1) puede escribirse de la siguiente manera

$$q = kA \frac{(t_1 - t_2)}{(x_2 - x_1)} = kA \frac{\Delta t}{x} \quad (1-2)$$

en la Δt representa la diferencia de temperaturas.

Generalmente como ya se mencionó k no es constante, sino que es función de la temperatura. En la mayoría de los casos en los intervalos de valores empleados, la relación es de primer grado. La integración de la ecuación (1-1) con k como una función de primer grado con respecto a t nos da

$$q = k_{\text{med}} A \frac{\Delta t}{x} \quad (1-3)$$

en la que k_{med} es la media aritmética de las conductividades térmicas entre las temperaturas t_1 y t_2 . Esta media de probablemente resultados correctos dentro de la precisión de los datos en la mayoría de los casos, aunque puede hacerse una integración especial, siempre que k difiera mucho de ser una función de primer grado con respecto a la temperatura.

1.1.2 Convección.

La convección es la transferencia de calor entre partes relativamente calientes y frías de un fluido por medio de mezcla, es decir, se trata de un transporte de energía que se lleva a cabo como consecuencia del movimiento de un fluido (líquido o gas) y está íntimamente relacionado con el movimiento de este, y por lo tanto, las propiedades del fluido tienen un efecto importante sobre la transferencia de calor.

Debido a que el campo de temperatura de un fluido está influenciando por el movimiento de este, la determinación de la distribución de temperatura y de la transferencia de calor por convección es difícil en la mayoría de los casos prácticos. Por lo que es más conveniente calcular el flujo de calor disipado por el sistema en términos de la diferencia total de temperaturas entre la superficie de este a una temperatura T_u y el fluido que se desplaza sobre elle a una temperatura media T_f ,

$$q = h (T_f - T_u) \quad (1-4)$$

dónde (h) es el coeficiente de transferencia de calor o coeficiente de película y, (q) es el flujo de calor en la pared. Si el flujo de calor se expresa en las unidades BTU/hr ft² o W/m² y la temperatura en °F o °C, entonces el coeficiente de transferencia de calor (h) tendrá las unidades (BTU/hr ft² °F) o (W/m² °C). A la ecuación (1-4) se le conoce como la "Ley de Newton de Enfriamiento".

El fenómeno de transferencia de calor por convección usualmente se clasifica como convección forzada y convección libre o natural. En el primer caso el fluido se hace pasar sobre el sistema mediante la acción de algún agente externo, como un ventilador, una bomba o agentes meteorológicos. Por

otra parte, el movimiento del fluido resulta en el segundo caso como una consecuencia de los gradientes en densidad que experimenta éste, al estar en contacto con una superficie a mayor temperatura y en presencia de un campo gravitacional (o centrífugo).

1.1.3 Radiación.

Tanto los mecanismos de transferencia de calor por conducción como por convección requieren de un medio para la propagación de la energía. Sin embargo, el calor también puede propagarse aún en el vacío absoluto mediante radiación. Puede decirse que a una temperatura dada, todos los cuerpos emiten radiación en forma de energía electromagnética en diferentes longitudes de onda, siendo la radiación dependiente de la temperatura absoluta del cuerpo y de sus características superficiales. Sin embargo, solo aquella fracción que se encuentra en el rango de longitudes de onda de 0.1 a 100 micrones ($1 \text{ micrón} = 0.0001 \text{ cm}$) apropiadamente, se considera como radiación térmica. Dentro de este intervalo del espectro electromagnético se localiza el rango ultravioleta, el visible y el infrarrojo.

Un radiador perfecto o cuero negro es aquel que emite energía radiante de su superficie a una razón proporcional a su temperatura absoluta elevada a la cuarta potencia, es decir,

$$q = \sigma T^4 \quad (1-5)$$

Donde σ es una constante que adquiere un valor igual a $5.6697 \times 10^{-8} \text{ W/m}^2 \text{ K}^4$ en el Sistema Internacional de Unidades ó $0.173 \times 10^{-8} \text{ BTU/hr ft}^2 \text{ R}^4$, y se conoce como la constante de Stefan Boltzman. De esta expresión se deduce que la superficie de todo cuero negro emite radiación, si es que se

encuentra a una temperatura diferente del cero absoluto, independientemente de las condiciones de los alrededores.

Un cuerno real no satisface las características de un cuerno negro, dado que emite una menor cantidad de radiación que este. Si un cuerno emite a una temperatura dada, una fracción constante de la emisión correspondiente a un cuerno negro, a cada longitud de onda se conoce como cuerno gris. Es decir,

$$q = \epsilon \sigma T^4 \quad (1-6)$$

donde ϵ es la emitancia o emisividad de la superficie gris y es numéricamente igual al cociente de la emisión de radiación de un cuerno gris, con respecto a la de uno negro.

La radiación emitida por un cuerno negro a una temperatura absoluta T_1 , hacia una envolvente a temperatura T_2 que lo rodea completamente y la cual se comporta también como cuerno negro (figura 1-1), puede evaluarse mediante la expresión

$$q = \epsilon \sigma A_1 (T_1^4 - T_2^4) \quad (1-7)$$



Figura 1-1

Por otra parte, la radiación emitida por un cuerno gris a una temperatura absoluta T_1 , hacia la misma envolvente a Temperatura T_2 , puede calcularse mediante la expresión

$$q = \epsilon \sigma A_1 (T_1^4 - T_2^4) \quad (1-8)$$

Esta ecuación se conoce como la ley de Prevost.

Si se consideran ahora dos cuernos grises a temperaturas

absolutas T_1 y T_2 respectivamente como se muestra en la figura 1-2, el flujo neto de energía radiante entre ellos puede calcularse a través de la expresión

$$q = \sigma F A_1 (T_1^4 - T_2^4) \quad (1-9)$$

donde F es una función que no sólo depende de las características superficiales de ambos cuerpos, sino también del arreglo geométrico que guardan entre sí. Es decir, la función F depende de las emitancias de ambos cuerpos y de la fracción de energía radiante emitida por el cuerpo 1 que es interceptada por el cuerpo 2.

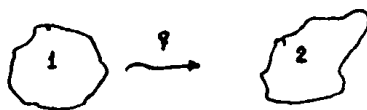


Figura 1-2 Transferencia de calor por radiación entre dos cuerpos.

1.2 Convección libre y forzada.

Cuando el calor se transmite por mezclar las partes calientes con las frías de un mismo material, el mecanismo se conoce con el nombre de Convección, la cual está restringida al caso de los fluidos. Es muy raro que el calor se transmita a través de los fluidos por conducción pura sin que exista algo de convección debido a que se forman borbotones por los cambios de densidad producidos por la variación de temperatura. Por esta razón los términos Conducción y Convección se utilizan con frecuencia juntos, aunque en muchos casos el fenómeno predominante es el de Convección. Existen dos tipos de transmisión de calor por Convección - que son:

a) Convección natural o libre. Cuando el movimiento del fluido es provocado por una diferencia de temperatura y, en consecuencia se obtiene diferencias de densidades. Se ha observado que las velocidades de convección natural dependen de las propiedades del fluido: densidad, viscosidad, conductividad térmica, capacidad calorífica y presión constante, y por otros factores como alcuna dimensión lineal del sistema (el diámetro o la longitud), la aceleración de la gravedad.

b) Convección forzada. Cuando el movimiento del fluido es provocado por un agente externo como una bomba o agitador.

Este tipo de transferencia puede ser descrito por la siguiente ecuación:

$$dQ = hA \Delta T \quad (1-10)$$

La constante de proporcionalidad es un término sobre el cual tiene influencia la naturaleza del fluido y la forma de adición, debe evaluarse experimentalmente. Se le llama - "Coeficiente de Transferencia de Calor". A la ecuación anterior escrita en su forma integrada, ecuación 1-11 se le conoce como la Ley de enfriamiento de Newton.

$$Q = h^* A^* \Delta T \quad (1-11)$$

En convección forzada se distinguen dos grandes casos que son: convección laminar - convección - régimen turbulento.

En régimen laminar las partículas del fluido, fluyen en líneas paralelas a lo largo del eje del tubo, procediendo - como si deslizamiento de delgados cilindros concéntricos de líquido, uno dentro del otro como se muestra en la fig. 1-3.

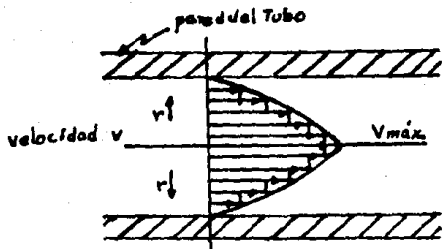


Figura 1-3 Flujo laminar en tubos.

En cada "lámina" sucesiva existen gradientes de las propiedades de transporte (velocidad, concentración o de temperatura) hasta el centro del tubo.

El flujo laminar en tubos puede ser interpretado como un efecto de conducción, y está sujeto también a la ocurrencia simultánea de convección libre. Los fluidos pueden desolverse en régimen laminar debido a tres condiciones:

- 1) El fluido es viscoso
- 2) El fluido no es viscoso pero la cantidad es pequeña para el área de flujo en cuestión, y
- 3) El caudal y la viscosidad son intermedios, pero su combinación resulta en un flujo en régimen laminar.

A medida que el caudal de flujo o las propiedades del fluido cambian se empiezan a presentar perturbaciones en el régimen de flujo hasta que este se hace completamente turbulento. Esta transición de régimen laminar a turbulento no es abrupta y depende también de las condiciones de rugosidad y del nivel de turbulencia en la corriente libre del fluido.

Mientras que en régimen laminar la transferencia de calor y movimiento se lleva a cabo por difusión molecular entre capas de manera ordenada, en régimen de transición se presenta un movimiento desordenado de esas capas a nivel molecular, en la que los factores laminares (moleculares) y turbulentos son igualmente importantes.

En el régimen turbulento, el fluido fluye en forma de torbellino no localizado, figura 1-4. Las fluctuaciones de velocidad sobrepuestas al movimiento principal provocan una homogeneización de las orienaciones del fluido en una zona cerca al centro de la corriente.

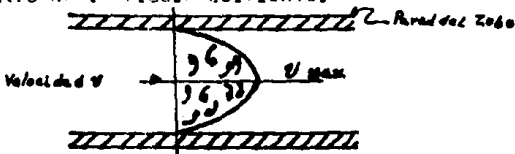


Figura 1-4 Flujo turbulento en tubos.

En el régimen turbulento, los efectos enteramente laminares (moleculares) son despreciables frente a los turbulentos en la transferencia de calor.

En la figura 1-5 se muestran los perfiles de velocidad en régimen laminar y turbulento. Puede observarse que en las cercanías de la pared del tubo, la velocidad del fluido tiende a ser cero, mientras que en la parte media del tubo la velocidad es máxima. Mientras que el perfil en régimen laminar obedece a una parábola, en régimen turbulento se anuncia una zona cercana al centro en que la velocidad del fluido es constante.

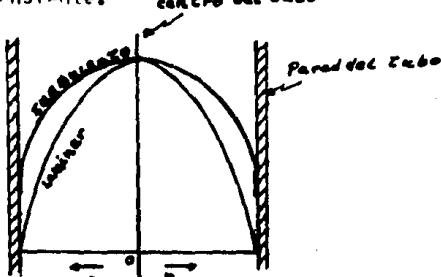


Figura 1-5 Perfil de velocidades en un tubo en régimen laminar y turbulento.

Dada la relación física tan estrecha que existe entre el movimiento del fluido y la transferencia de energía, la determinación analítica del coeficiente de transferencia de calor deberá considerar las propiedades físicas del fluido, la rugosidad del ducto, área de flujo y el régimen de flujo.

Existen diversas correlaciones que toman en cuenta estas condiciones para la predicción del coeficiente de película.

A continuación se darán algunas de estas ecuaciones para un régimen de flujo determinado.

a) Régimen laminar.

En el caso de un tubo circular en que la temperatura de la pared es constante, Haussen recomienda la siguiente expresión empírica para calcular el valor promedio del Número de Nusselt (Nu).

$$\bar{N}_u = \frac{\bar{h}D}{k} = 2.66 + \frac{0.0668(D/L) Pe}{1+0.07(D/L) Pe}^{2/3} \quad (1-12)$$

Donde

D = diámetro interior del tubo (in)

L = longitud del tubo (ft)

k = conductividad térmica (BTU/hr ft² (°F/ft))

Pe = No. de Peclet = $RePr$

Las propiedades físicas en la ecuación 1-12 se evalúan a la temperatura media del fluido.

b) Régimen turbulento.

Para flujo turbulento completamente desarrollado en tubos lisos, Dittus y Boelter sugieren la siguiente correlación.

$$\bar{N}_u = \frac{\bar{h}D}{k} = 0.023 Re^{4/5} Pr^n \quad (1-13)$$

Las propiedades en esta expresión se evalúan a la temperatura media del fluido.

tura media del fluido y el exponente "n" adquiere los siguientes valores.

- = 0.4 para calentamiento
- = 0.3 para enfriamiento.

Esta ecuación es aplicable a fluidos cuyos números de Prandtl varían entre 0.7 y 170 aproximadamente y en situaciones en que la diferencia de temperaturas entre la pared del tubo y el fluido es moderada.

Para tomar en cuenta las variaciones en las propiedades físicas del fluido cuando la diferencia de temperaturas entre la pared del tubo y el fluido es grande, Sieder y Tate recomiendan la siguiente expresión:

$$\bar{N}_u \frac{\bar{h} D}{k} = 0.027 Re^{0.8} Pr^{0.4} \left(\frac{A}{4\pi s} \right)^{0.19} \quad (1-14)$$

En donde todas las propiedades se evalúan a la temperatura media del fluido, con excepción de la viscosidad, que se evalúa a la temperatura del tubo.

Para casos con número de Prandtl entre 0.5 y 1.0, Rohsenow y Hartnett presentan las siguientes dos expresiones para situaciones en que el flujo de calor por unidad de área o la temperatura de la superficie del tubo son constantes.

$$\bar{N}_{u_{q_s}} = C = 0.022 Re^{0.8} Pr^{0.6} \quad (1-15)$$

$$\bar{N}_{u_{T_s}} = C = 0.021 Re^{0.8} Pr^{0.6} \quad (1-16)$$

c) Para líquidos fluyendo normalmente sobre bancos de tubos, el coeficiente se puede calcular con la ecuación 1-17.

$$\bar{N}_u = \frac{\bar{h}D}{K} = 0.36 Re^{0.85} Pr^{0.4} (\mu/\mu_0)^{0.4} \quad (1-17)$$

Las siguientes, son dos relaciones que toman en cuenta la manera como se presenta el flujo en el arreglo de los tubos.

Para líquidos sin cambio de fase, flujo cruzado

$$\frac{h}{C_p g_t} = 0.198 (Re)^{-0.4} Pr^{-0.7} \quad (1-18)$$

Para líquidos sin cambio de fase, flujo en líneas

$$\frac{h}{C_p g_t} = 0.0299 (Re)^{-0.2} Pr^{-0.7} \quad (1-19)$$

donde g_t = masa velocidad (lb/hr ft^2)

Grimison propuso la siguiente ecuación para la determinación del coeficiente promedio de transferencia de calor para varios fluidos.

$$\bar{N}_u = \frac{\bar{h}D}{K} = 1/3 C \left(\frac{D \dot{G}_{max}}{\mu} \right)^n Pr^{1/3} \quad (1-20)$$

donde $\dot{G}_{max.} = V_{max} C = \frac{V}{S_t}$, total para el fluido min. (1-21)

para flujo en líneas

$$V_{max.} = V_0 \frac{S_t}{S_t - S_D} \quad (1-22)$$

para flujo cruzado

$$V_{max.} = V_0 \cdot 27 \frac{S_t}{(S_t - S_D)} \quad (1-23)$$

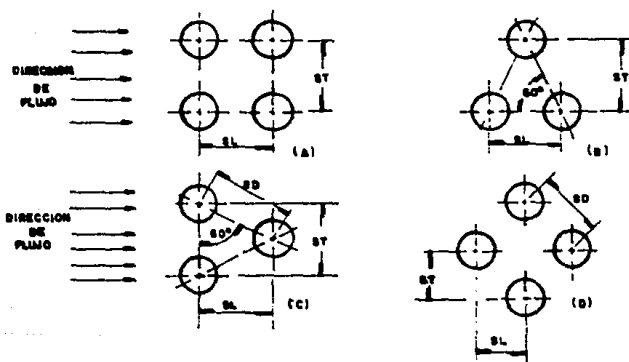
donde

V_p = Velocidad del flujo en un punto, antes de entrar el banco de tubos.

V_{max} = Máxima velocidad que se tiene en el área mínima disponible para el flujo libre.

A_{min} = Área mínima total para el flujo.

La ecuación anterior es propia para la distribución cruzada y en líneas de 10 o más filas en la dirección del flujo. En esta ecuación los parámetros c y n van a depender del tipo de flujo (cruzado o en líneas) y también del arreglo de los tubos. En la tabla 1.1 se encuentran tabulados los valores de estos constantes.



FLUJO EN LINEA:

- a) Arreglo Cuadrado
- b) Arreglo Triangular Rotado

FLUJO CRUZANDO

- c) Arreglo Triangular
- d) Arreglo Cuadrado Rotado

Figura 1-6 Dimensiones ST y SL para los arreglos de tubos más comunes, de acuerdo a la dirección del flujo.

TABLA NO. 1.1 Valores de la constante "C" y el coeficiente "N", para las distribuciones cruzadas y en linea, para variar valores de la relación espaciamiento/diámetro (S/D).

DISTRIBUCION	$\frac{S}{D}$	ST/D							
		1.25		1.5		2.0		3.0	
		C	N	C	N	C	N	C	N
CRUZADA	0.6							0.213	0.636
	0.9							0.401	0.581
	1.0								
	1.12			0.497	0.558	0.446	0.571	0.518	0.560
	1.250	0.518	0.556	0.505	0.554	0.519	0.556	0.522	0.562
	1.5	0.451	0.568	0.460	0.562	0.452	0.568	0.488	0.568
	2.0	0.404	0.572	0.416	0.568	0.482	0.556	0.449	0.570
	3.0	0.310	0.592	0.356	0.580	0.440	0.562	0.421	0.574
EN LINEA	1.25	0.348	0.592	0.275	0.608	0.100	0.704	0.0633	0.762
	1.5	0.367	0.586	0.250	0.620	0.101	0.702	0.0678	0.744
	2.0	0.418	0.570	0.299	0.602	0.229	0.632	0.198	0.648
	3.0	0.290	0.601	0.357	0.584	0.374	0.581	0.286	0.608

CAPITULO II

FACTORES QUE INFLUYEN EN EL DISEÑO

2.0 Introducción.

El diseño de intercambiadores de calor involucra una serie de consideraciones mecánicas y fisicoquímicas, es decir, el equipo debe satisfacer las necesidades del proceso, ser económico, tener bajo costo de construcción y mantenimiento y, además poseer una eficiencia de operación aceptable.

Normalmente un cambiador de calor se diseña para las condiciones máximas de el proceso en lo que a flujo y temperatura se refiere, pero si se contemplan variaciones considerables en la operación, puede ser necesario revisar el diseño para las condiciones mínimas, ya que tan perjudicial puede resultar la falta de superficie de transferencia de calor, como la pérdida de control del proceso por exceso de área.

Se puede decir que los requerimientos del proceso fijan las condiciones de operación, cantidad de fluidos a manejar y en ciertas ocasiones el tamaño promedio de la unidad. El siguiente paso es el diseño de la unidad que cumple con las condiciones antes citadas. El diseño óptimo de un cambiador es el que combina los costos menores de inversión inicial y de operación.

Hay cuatro consideraciones básicas al escoger un arreglo mecánico que sea capaz de proporcionar un eficiente intercambio de calor entre dos fluidos y que no muestre un deterioro considerable durante largos tiempos.

Estas son:

- 1.- Considerar la diferencia de expansión térmica en los tubos y coraza.

- 2.- Control de flujo por los tubos.
- 3.- Control de velocidades a través de la coraza.
- 4.- Consideraciones de facilidad de mantenimiento y servicio.

2.1 Diferencia de expansión térmica.

Puesto que el fluido en la coraza está a diferente temperatura del fluido en los tubos, esto provoca diferencia de expansión térmica de la coraza y tubos.

En muchos casos, esta diferencia de temperatura pueden ser moderada y la diferencia de expansión térmica muy baja. Es bueno tener la diferencia de expansión y su esfuerzo asociado, conservativamente dentro de los límites de esfuerzo del material de construcción.

En los intercambiadores de tubos en "U", las diferencias de expansión térmica están prevenidas por la misma forma de los tubos; como su nombre lo indica, los tubos tienen forma de horquilla con ambos extremos soldados al espejo, esto permite a cada tubo expandirse y contraerse independientemente. Tiene todas las ventajas del tipo de cabezal flotante, sin sus desventajas y es más económico. El interior de los tubos presenta mayor dificultad de limpieza que los tubos rectos. Solamente los tubos periféricos del haz quedan ser cambiados en caso de reparación. Este tipo de cambiador es muy usado cuando se tienen presiones elevadas, para sustituir al de espejos fijos con junta de expansión si no hay problemas de limpieza, y para inserción en tanques y recipientes, figura 2.1. El TEMA especifica los radios mínimos de doblado para los "U".

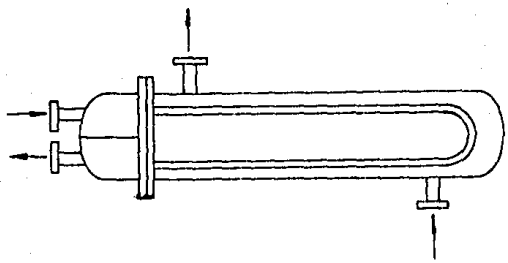


Figura 2.1 Cambiador de tubos en "U"

En intercambiadores de esnejos fijos, se utilizan tubos - rectos con embos extremos soldados a esnejos y estos soldados o sujetos a la coraza. Cuando el problema de expansión térmica existe, una junta de expansión se incorpora en la - coraza, la cual permite a la coraza expandirse o contraerse.

Es el diseño más económico y solamente se tienen posibilidades de fuga en la unión de los tubos a los esnejos o nor rotura de un tubo. Es el diseño que presenta mayores esfuerzos térmicos-mecánicos entre los tubos y la coraza. Cuando requiere junta de expansión para reducción de esfuerzos, la presión en el lado de la coraza no deberá exceder de 150 psig para juntas estandar o de 600 psig para juntas especiales, ya que el espesor requerido por la junta reduce la flexibilidad de ésta. El lado de la coraza no puede ser inspeccionado y solamente se puede limpiar por medios químicos, por lo que solo se recomienda manejar fluidos limpios en este lado (figura 2.2).

A reserva de la determinación precisa del requerimiento de junta de expansión en el diseño mecánico del cambiador, se puede considerar que será necesario cuando:

- 1.- La diferencia de esfuerzos longitudinales entre la coraza y los tubos, sea de 3000 psi o mayor

en valor absoluto.

2.- La LMTD sea de 50°F o mayor.

El TEMA proporciona un método de cálculo para determinar los esfuerzos longitudinales en la careza y en los tubos.

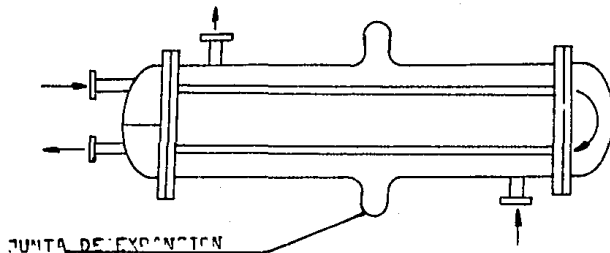


Figura 2.2 Cambiador de espejos fijos con junta de expansión en careza.

El diseño de un espejo flotante satisface los problemas de expansión en tubos rectos por tener un espejo fijo y uno libre y móvil -"flotante"- posterior. Los tubos se expanden o contraen hacia adelante o atrás bajo la influencia de los cambios de temperatura.

Este diseño elimina prácticamente los esfuerzos entre los tubos y la careza. El haz de tubos es accesible para limpieza y mantenimiento. Una desventaja es la posibilidad de fuga del empaque del cabezal flotante, dependiendo de la reactividad de los fluidos y las presiones y temperaturas de operación. Cuando se tiene solamente un paso en el lado de los tubos, requiere junta de expansión interna para la conexión de salida o bien, estanqueo para hacer sello, lo que reduce sus ventajas. Se pueden presentar diferentes variaciones en este diseño.

CABEZAL FLOTANTE TIPO HAZ DESLIZANTE.

Un cabezal generado o tano está enfrente del esnejo flotante dentro de la coraza, el cabezal flotante tiene anillos internos para prevenir fugas entre los tubos y la coraza, figura 2.3.

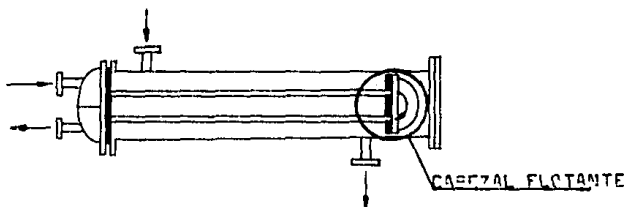


Figura 2.3 Cabezal flotante tipo haz deslizante.

CABEZAL FLOTANTE TIPO ANILLO DE CIERRE HIDRÁULICO

Emplea un anillo de cierre hidráulico (estanero) al rededor del esnejo flotante para sellar los dos fluidos cuando el esnejo flotante se mueve para expandirse o contraerse.

El anillo de cierre hidráulico forma una envoltura en ambos lados y está provisto con barrenos noteadores, por lo que el escape de fluidos está abierto hacia la atmósfera para fácil detección, figura 2.4.

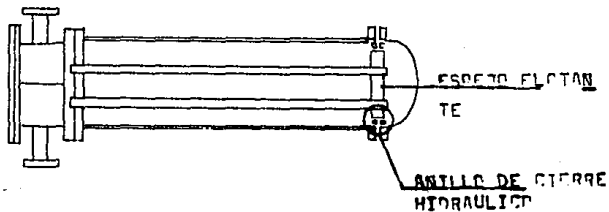


Figura 2.4 Cabezal flotante tipo anillo de cierre hidráulico.

Existen dos variantes más, las cuales son un poco más elaboradas y por lo tanto de diseño más preciso y mayor costo de construcción.

CABEZAL FLOTANTE TIPO ANILLO POSTERIOR DIVIDIDO

La tapa del cabezal flotante en lugar de atornillarse directamente en el espejo flotante como en el tipo de haz deslizante, está atornillada a un anillo posterior dividido, - figura 2.5.

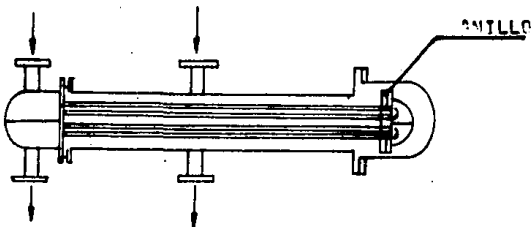


Figura 2.5 Cabezal flotante tipo anillo posterior dividido.

CABEZAL FLOTANTE TIPO CAJA EMPACADA

Emplea el borde exterior del espejo como parte del cabezal flotante. Una caja de empaques sella el fluido del lado de la coreza permitiendo que el cabezal flotante se mueva para contraerse o expandirse. Como la caja de empaques está en contacto sólo con el fluido del lado de la coreza, no hay posibilidad de nártidas nor mezcla con el fluido del lado de los tubos, figure 2.6

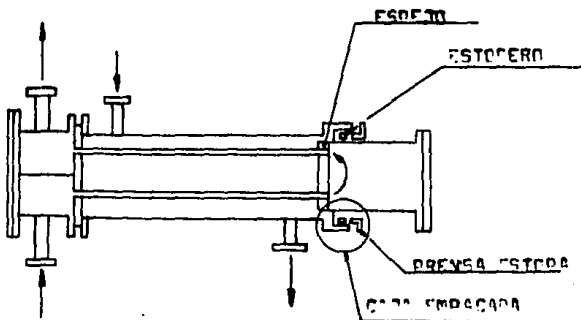


Figura 2.6 Cabezal flotante tipo caja empaquada.

Cuando las posibilidades de mezcla interna de los fluidos del lado de la coraza y los tubos no se pueden permitir, - construir un doble espejo ofrece positiva seguridad contra el goteo de un fluido dentro del otro y de un tubo hacia la junta del espejo. El segundo espejo es instalado con un pequeño espacio entre espejos, usualmente abierto hacia la atmósfera, figura 2.7.

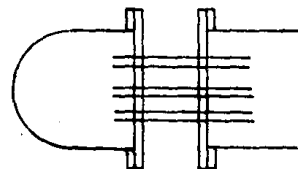


Figura 2.7 Doble espejo.

Un doble espejo puede ser instalado solo en cambiadores - con tubos en "U", espejos fijos y cabezal flotante de tipo caja empaquada.

No es factible usar doble espejo en cambiadores con cabe-

zal flotante tipo haz deslizable, cabezal flotante tipo anillo posterior dividido o cabezal flotante tipo anillo de cierre hidráulico.

2.2 Control de flujo por los tubos.

El modelo más simple de flujo a través de tubos es para el fluido que entra en un extremo y sale en el otro extremo, es decir, un paso por los tubos. Sin embargo, generalmente las condiciones no permiten un paso simple en el lado de los tubos y se prefiere cambiarlos.

Incrementando la velocidad del flujo y la turbulencia, se prevé la formación de bélculos estacionarios del fluido en la superficie del tubo; así, más altas velocidades mejoran el rango de transferencia de calor. El aumento en velocidad y turbulencia significa un incremento del número de pasos - por el lado de los tubos y esto se logra con placas de partición en los cabezales para obligar al fluido a contraerse y expandirse a través del haz de tubos, figura 2.8.

Existen algunas limitaciones en los diferentes tipos de intercambiadores de calor para ser provistos de placas de partición para proporcionar varios pasos por los tubos.

- Con intercambiadores de tubos en "U" un simple paso no es posible, porque el fluido tiene que atravesar el haz de tubos mínimo dos veces.



Figura 2.8 Pieza de partición.

Prácticamente cualquier número par de pasos en los tubos puede ser obtenido instalando placas de partición en el cabezal frontal.

- El cambiador de espejos fijos puede ser usado para prácticamente cualquier número de pasos, par o no. Para errores multiramas, las placas de partición están instaladas en el interior de ambos cabezales.
- En el cabezal flotante tipo haz deslizante, prácticamente cualquier número par de pasos es posible. Para operación en simple paso, una junta empacada debe ser instalada en el cabezal flotante.
- En el cabezal flotante tipo anillo de cierre hidráulico sólo se puede construir paso simple o dos pasos.
- El cabezal flotante tipo anillo posterior dividido es idéntico al diseño de haz deslizante en las posibilidades del número de pasos nor los tubos. El cabezal dividido puede ser usado para obtener prácticamente cualquier número par de pasos requeridos, sin embargo una junta empacada especial en el cabezal flotante se requiere para un solo paso.
- El cabezal flotante tipo caja empacada, prácticamente no tiene limitaciones en el número de pasos por los tubos.

2.3 Control de velocidades a través de la coraza.

Los tubos en el intercambiador de calor son algo flexibles puesto que son largos y de pared relativamente delgada. Consecuentemente deben contar con soportes e intervalos en la coraza para prevenir colgaduras y minimizar la vibración.

Los soportes de tubos imparten algún efecto adicional al flujo en el lado de la coraza pero su uso principal es como

tar los tubos en un paquete, figura 2.9.



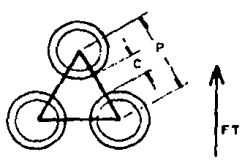
Figura 2.9 Soportes de tubos.

Al igual que en los tubos, el modelo más simple de flujo a través de la coraza es cuando el fluido entra por un extremo, se distribuye a través del banco de tubos fluyendo lentamente y paralelo a los mismos para salir por el otro extremo de la coraza. Debido a la baja velocidad se presenta alta incrustación, así como la desviación del fluido del banco de tubos hacia los lugares que ofrecen menor resistencia al paso, provocando la generación de áreas muertas o inútiles, por ejemplo en el espacio libre entre el banco y la pared de la coraza.

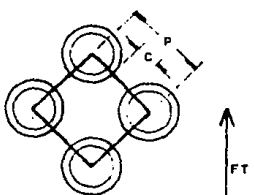
Las membranas ("baffles") son empleados para modificar las condiciones de flujo en el lado de la coraza, así como para alcanzar un coeficiente de transferencia de calor óptimo.

La velocidad del fluido a través de la coraza se incrementa, el flujo es más turbulento y la acción limpiante se incrementa (menor incrustación), el fluido pasa rápidamente de un lado a otro o de los nubes a la base a lo largo de los tubos y el área muerta se minimiza, figura 2.10.

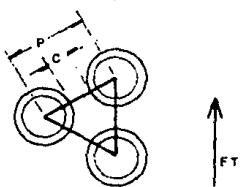
Hay un gran número de tipos de membranas y pueden ser instaladas de diferente manera para proveer el flujo requerido sobre una sección dada.



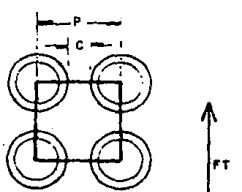
ARREGLO TRIANGULAR



ARREGLO CUADRADO ROTADO



ARREGLO TRIANGULAR ROTADO



ARREGLO CUADRADO

FT. FLUJO TRANSVERSAL
P. PASO
C. CLARO

ARREGLO DE TUBOS EN LOS CAMBIADORES

FIG. 2.11

En general la selección y localización de "baffles" es un problema en el que intervienen varias variables, de tal manera que la turbulencia máxima para incrementar la transferencia de calor se obtenga dentro de los límites de caída de presión.

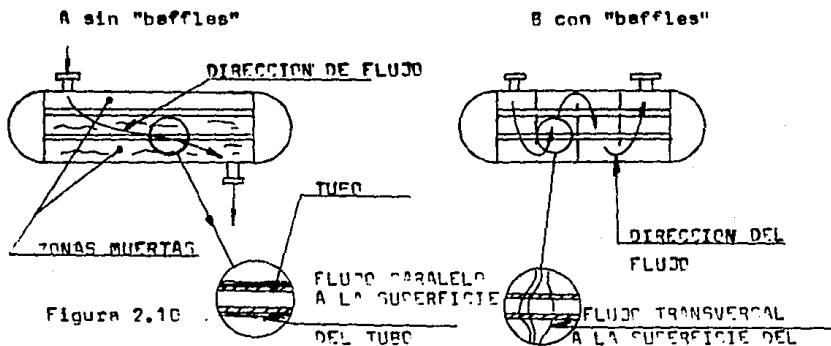


Figura 2.10

2.4 Consideraciones de facilidad de mantenimiento y servicio.

Los arreglos de tubos son diseñados para acomodar determinado número de tubos dentro de la coraza, que provean una superficie dada de transferencia de calor.

En ocasiones se debe seleccionar una colocación que permita el acceso a los tubos para limpieza cuando sea requerido por las condiciones de proceso.

Dos arreglos básicos de tubos son posibles: arreglo triangular y arreglo cuadrado.

Los tubos en arreglo triangular están apilados más juntos. En la sección transversal forman un modelo triangular al unir los centros de los tubos. Los tubos en arreglo cuadrado están algo más separados formando un modelo cuadrado al unir los centros de los tubos, figura 2.11

Al mismo tamaño de coreza, el paquete triangular rinde - una mayor superficie de transferencia de calor, que el esco- ciado cuadrado (junto con gran turbulencia y mayor caída de presión).

El escoaciado triangular, a iguales dimensiones (paso y - diámetro) da un mayor coeficiente de transferencia de calor, a cambié de mayor caída de presión.

El arreglo cuadrado es ventajoso donde una braja caída de presión por el lado de la coraza es un requerimiento límite en un proceso dado.

El pequeño escoaciado de tubos en arreglo triangular tiene la desventaja de hacer inaccesible desde el exterior la superficie de los tubos para limpieza mecánica. Solo una herramienta no rígida se puede insertar entre ellos. Si un - proceso determinado produjera depósitos sobre el exterior de los tubos y éstos no pudieran ser removidos por solventes o medicos químicos, el arreglo cuadrado deberá ser empleado.

Cuando se preveé que un proceso no produce depósitos so- bre los tubos, es preferible utilizar intercambiadores con esnejos fijos a cualquier variante, puesto que será más fá- cil efectuar la limpieza química o pasará un tiempo relativa- mente largo sin que se tengan problemas de incrustación. Si por el contrario, el proceso es altamente incrustante, es re-comendable utilizar un diseño de intercambiadores con haz de tubos fácilmente desmontables. Por ejemplo, se puede utili- zar una combinación de esnejo flotante y esnejo fijo sujetos con la brida del cabezal y de la coraza, o intercambiador de tubos en "U".

Aunques estos tipos de diseños suelen ser más caros (a excepc- ción del diseño de tubos en "U", que es más barato), la faci- lidad y rapidez en el armado y desarmado para la limpieza y el nulo daño que sufren todas las partes del intercambiador,

compensan el costo. Para soluciones incrustantes, "baffles" muy espaciados favorecen la creación de zonas muertas en donde se amontonarán a acumular depósitos, nor el contrario, "baffles" demasiado cercanos resultarían en un efecto "tanón" que ocasionaría incrustación por obstrucción.

La selección final, como ya se dijo deberá ser hecha por consideración de la velocidad obtenida y por la caída de presión permisible.

2.5 Componentes principales.

Los componentes principales de un intercambiador de calor están en el cabezal frontal, la sección transversal de la coqueta y el cabezal posterior.

2.5.1 Cabezales frontal y posterior.

Los cabezales pueden variar del modelo inicial estandar para fabricar montajes con características muy especiales. - En muchos casos, los requerimientos de una instalación pueden dictar el cambio a un modelo más elaborado, pero en otros el cambio puede ser posible para efectos económicos y no sacrificar el funcionamiento del intercambiador nor seleccionar un modelo rápidamente disponible o fácilmente fabricable de cabezal.

Los cabezales de hierro fundido son los menos caros cuando los modelos estandares son aprovechables. Los cabezales fabricados pueden ser más costosos, con el costo proporcionando por el número de características especiales deseadas.

Uno de los cabezales fabricados de hierro fundido o acero, pueden ser aprobados para requerimientos de servicio en varios procesos.

Sin embargo, la naturaleza corrosiva o requerimientos de pureza de los fluidos manejados (o las condiciones de presión y temperatura manejadas), pueden dictar el empleo de cabezales de fundición o fabricados de aleaciones.

Las divisiones o plazas de partición se colocan dentro de los cabezales para controlar el número de pasos del fluido por los tubos. En la figura 2.12 se muestran algunos arreglos de placas de partición en ambos canales para producir diferentes números de pasos. En la figura 2.13 se muestran las ranuras que es necesario practicar en ambos esnejos para producir el número de pasos anotados.

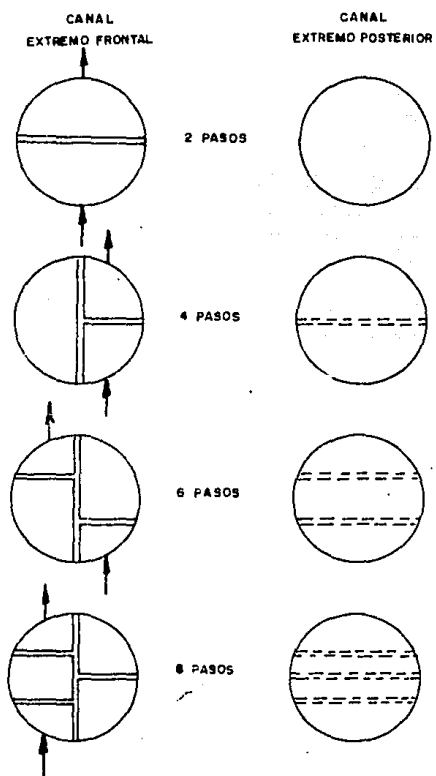
Una consideración especial en la elección de un cabezal, es la accesibilidad a los tubos. Si un proceso fuera incrustante, el intercambiador deberá limpiarse regularmente. Un plato abierto podrá removérse fácilmente. El paso siguiente es la localización de conexiones sobre los lados, no en los extremos, para cabezales móviles.

Los cabezales de extremos abiertos son aquellos fabricados de secciones cilíndricas, llamados canales. Estos son bordeados con platos cubierta fácilmente móviles, así los tubos puedan limpiarse sin desacomodar el cabezal y el haz de tubos.

El espesor de los canales se calcula de acuerdo con el código ASME, pero el TEMA establece espesores mínimos en relación al diámetro, que son mandatorios en caso de que el cálculo por ASME diera un espesor menor.

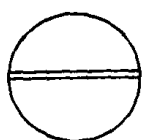
Canales hasta de 18" de diámetro, normalmente se fabrican con tubo (de cédula específica), y los de mayor diámetro de placa rolada. El TEMA especifica la longitud mínima de los canales, de acuerdo con el área de flujo de la sección transversal.

En los dibujos de la figura 2.14 se ilustran algunos de -

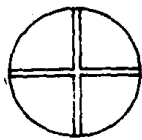


PLACAS DE PARTICIONEN LOS CANALES

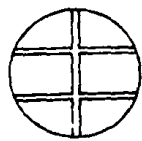
FIG. 2 . 12



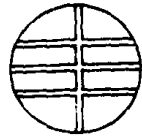
2 PASOS



4 PASOS



6 PASOS



8 PASOS

RANURAS PARA PLACAS DE PARTICION EN AMBOS ESPEJOS DE UN
CAMBIADOR DE ACUERDO AL NUMERO DE PASO EN EL LADO DE LOS
TUBOS

FIG. 2.15

los modelos más comunes de cabezales frontales (FRONT HEAD, FH).

Todos de fundición como las FH-1, FH-2 y FH-3 son generalmente las menos costosas y ofrecen un gran número de alternativas cuando el roscado, el nérno crisionero o conexiones bridadas son sustituibles. Cuando se requiere conexión con brida atornillada en el diseño multipasos, una alternativa económica es una taza como la FH-4, la cual puede ser tanto de fundición como maquinada.

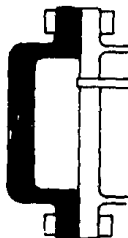
FH-6 y FH-7 son maquinadas a partir de placas cuando se requiere de un cebézel profundo, puede obtenerse en uno fabricado como el diseño FH-8.

Los modelos FH-9, FH-10 y FH-11 proveen de muchas posibilidades de arreglo de tubería y gran accesibilidad para mantenimiento. Las conexiones de triges radiales permiten fácil remoción del cabezal con mínima alteración de la tubería y de la instalación total. Las entradas en la parte superior del cabezal y salidas en el fondo, sirven para facilitar el drenado en diseños multipesos.

Si las aplicaciones requieren frecuente revisión y limpieza de tubos, se pueden construir canales como FH-12, FH-13, FH-14 y FH-15. El diseño de canales puede hacerse para un solo paso o para unidades multipesos. No es necesario desacomodar la tubería para tener acceso a los tubos, solamente es necesario desechar el plato cubierto. Cuando no está integrado con la coreza, el canal íntegro puede ser removido cuando sea necesario.

FH-16 y FH-17 son dos modelos especiales de cabezales frontales que pueden ser fabricados para condiciones especiales.

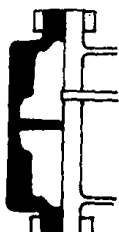
Cada modelo de cabezal de fundición está disponible solamente con el tipo de conexión mostrada. Sin embargo, puede ser fabricado supliendo las conexiones con tornillos, bridales, forjados u otros tipos de conexiones.



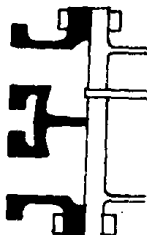
FH-1
TAPA DE FUNDICION-PASO
SIMPLE-CONEXION
N.P.T.



FH-2
TAPA DE FUNDICION-PASO SIMPLE-
CONEXION DE BRIDA CON PERRO
PRISIONERO



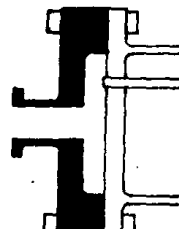
FH-3
TAPA DE FUNDICION O
MULTIPASO-CONEXION N.P.T.



FH-4
TAPA DE FUNDICION O FABRICADA-
MULTIPASO CONEXION BRIDADA



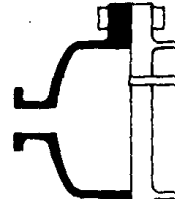
FH-5
TAPA DE FUNDICION, VAPORES
Y PASOS-CONEXION N.P.T.



FH-6
PLACA-PASO SIMPLE-
CONEXION BRIDADA



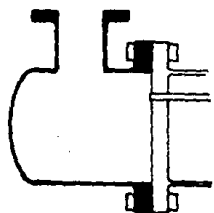
FH-7
PLACA - MULTIPASO
CONEXION BRIDADA



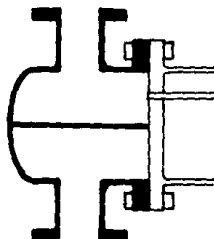
FH-8
TAPA - PASO SIMPLE
CONEXION BRIDADA

FIG. 2.14 MODELOS DE CABEZALES FLOTANTES

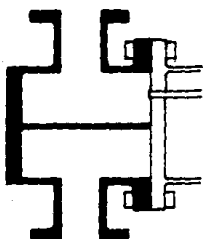
FIG. 2.14 CONTINUACION



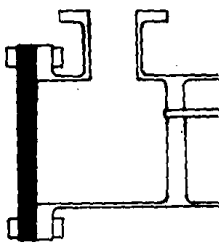
FH-9
TAPA - PASO SIMPLE - CONEXION
BRIDADA RADIAL



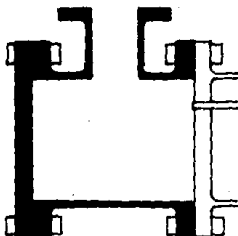
FH-10
TAPA - MULTIPASOS CONEXION
BRIDADAS RADIALES



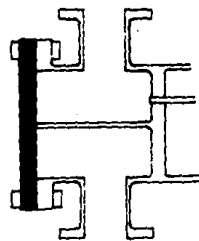
FH-11
TAPA MULTIPASOS CONEXION
BRIDADAS RADIALES



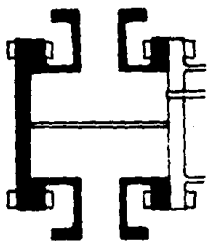
FH-12
CANAL CON PLATO CUBIERTO REMOVIBLE PASO
SIMPLE CANAL INTEGRADO A LA CORAZA
CONEXION BRIDADA RADIAL



FH-13
CANAL CON PLATO CUBIERTO
REMOVIBLE PASO SIMPLE
CONEXION BRIDADA RADIAL

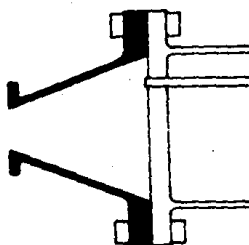


FH-14
CANAL CON PLATO REMOVIBLE
MULTIPASOS CANAL INTEGRADO
A LA CORAZA CONEXION BRIDADA
RADIAL



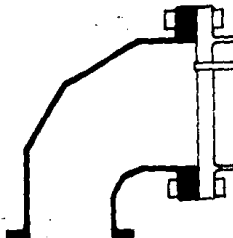
FH-15

CANAL CON PLATO CUBIERTA
REMOVIBLE MULTIPASOS
CONEXION BRIDAS RADIALES



FH-16

CONO PASO SIMPLE CONEXION
BRIDADA



FH-17

CADA ANGULO CONICO CONEXION
BRIDADA

FIG. 2.14 CONTINUACION

Los dibujos de la figura 2.15 ilustran 29 modelos estándar de cabezal posterior, (RCAAR HEAD, RH). Son similares a los modelos de cabezales frontales en cuanto a la variedad en accesibilidad a los tubos. Son más modelos de cabezales posteriores porque, a diferencia del cabezal frontal, se usan tanto para espejo flotante como para espejos fijos.

Como para cabezal frontal, el modelo menos costoso es el de tapa de fundición, RH-1 a RH-3. Se ofrecen en una variedad de conexiones para un solo paso. Para multi pasos, este tipo de cabezal es de menor costo que cuando se utiliza placa, como se muestra en RH-4 y RH-5.

Los modelos del RH-1 a RH-12 son usados con espejos fijos o estacionarios. Se requieren modelos más elaborados cuando se tiene cabezal flotante, tal como se muestra en los modelos RH-13 a RH-24.

Cuando el cabezal flotante tiene una tapa emboizada interna, como en el tipo haz deslizante (RH-14) y en el tipo anillo posterior dividido (RH-18), solo se puede solicitar a un intercambiador multipasos, a menos que una junta emboizada se instale en el cabezal flotante, tal como se puede ver en los modelos RH-13 y RH-17. El casquillo del prensa-estopa sella el fluido del lado de la coraza de la atmósfera y la abertura a través de la traza posterior. El haz de tubos de RH-17 y RH-18 pueden ser removidos después de la tapa de la coraza y la tapa del cabezal flotante se puede remover.

En el RH-15 y RH-16, el anillo de cierre hidráulico provee el sello entre el fluido del lado de la coraza y el fluido del lado de los tubos cuando el espejo se mueve para contraerse o expandirse por efecto de los tubos. Los orificios practicados en el anillo, fueron solo infiltraciones hacia la atmósfera. A diferencia del cabezal flotante con traza integ-

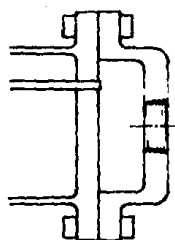
na, este diseño es fácilmente adaptable para operación en un solo paso.

Los modelos de cabezales frontales numerados de RH-19 a RH-24 emplean un anillo de cierre hidráulico para sellar el fluido del lado de la carcasa de la atmósfera. En construcciones de espejo simple como en RH-20, RH-22 y RH-23, el otro lado del espejo flotante forma parte de el cabezal. Cuando se usa un doble espejo, un cabezal separado está instalado en el otro espejo con un eje lleva dividido como en RH-21 y RH-24.

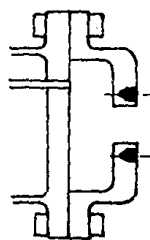
Estos modelos son adaptables para operación en un solo paso o multisteps. Con un doble espejo, no hay posibilidades de que el fluido de el lado de los tubos y el fluido de el lado de la carcasa fuguén uno dentro del otro.

Los últimos modelos son cabezales posteriores en paso simple. RH-25 y RH-26 tienen senadores internos y fondos dre-
nadores para sacrar líquido del vacío y permitir la salida
del fluido del intercambiador. RH-27 y RH-28 son dos mode-
los especiales de cabezal posterior que pueden ser fabrica-
dos para condiciones esenciales.

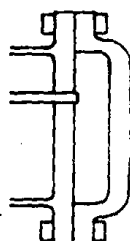
FIG. 2.15 MODELOS DE CABEZAL POSTERIOR



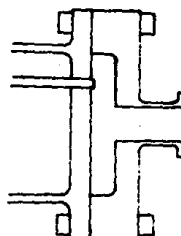
RH-1
TAPA DE FUNDICION PASO SIMPLE
CONEXION R.P.T.



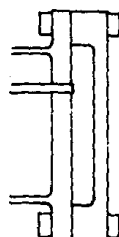
RH-2
TAPA DE FUNDICION PASO SIMPLE PASO
SIMPLE CONEXION DE BRIDA CON
BARRENO PERMONERO



RH-3
TAPA DE FUNDICION MULTIPASOS

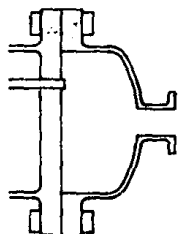


RH-4
PLACA PASO SIMPLE CONEXION
BRIDADA

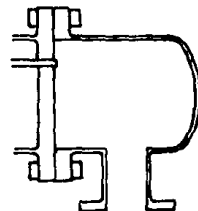


RH-5
PLACA -MULTIPASOS

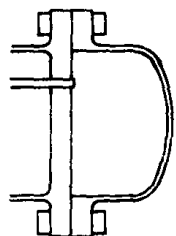
FIG. 2.15 CONTINUACION



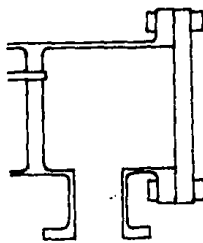
RH-6
TAPA PASO SIMPLE CONEXION
BRIDADA



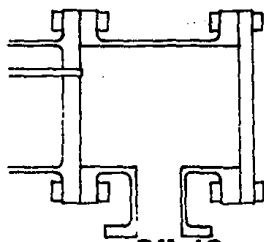
RH-7
TAPA PASO SIMPLE CONEXION
BRIDADA RADIAL



RH-8
TAPA MULTIPASOS

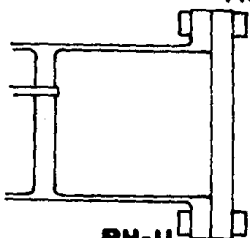


RH-9
CANAL CON PLATO CUBIERTA REMOVIBLE PASO
SIMPLE CONEXION BRIDA RADIAL CANAL
INTEGRADO A LA CORAZA

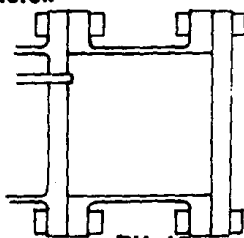


RH-10
CANAL CON PLATO CUBIERTA REMOVIBLE
PASO SIMPLE CONEXION BRIDA RADIAL

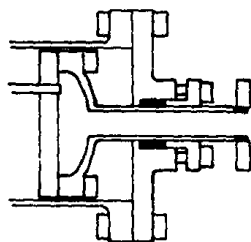
FIG. 2.15 CONTINUACION



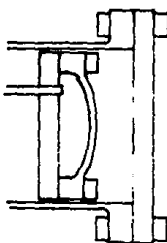
RH-11
CANAL CON PLATO CUBIERTA REMOVIBLE
MULTIPASOS CANAL INTEGRADO A LA
CORAZA



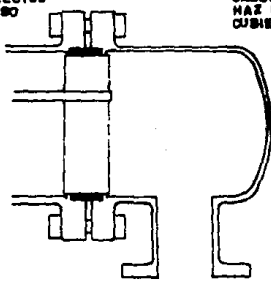
RH-12
CANAL CON PLATO CUBIERTA REMOVIBLE
MULTIPASOS



RH-13
CABEZA FLOTANTE DE TUBOS RECTOS
HAZ DESLIZANTE REMOVIBLE PASO
SIMPLE CONEXION BRIDADA
CON JUNTA EMPACADA

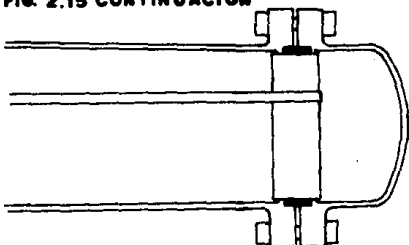


RH-14
CABEZA FLOTANTE DE TUBOS RECTOS
HAZ DESLIZANTE REMOVIBLE Y PLATO
CUBIERTO EN LA CORAZA MULTIPASOS



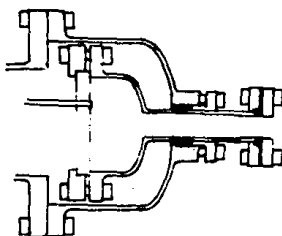
RH-15
CABEZA FLOTANTE DE TUBOS RECTOS HAZ DE TUBOS REMOVIBLE
CONSTRUCCION CON ANILLO DE CIERRE HIDRAULICO PASO SIMPLE
CONEXION BRIDADA RADIAL

FIG. 2.15 CONTINUACION



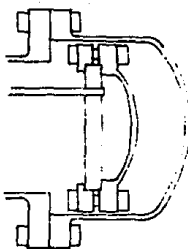
RH-16

CABEZAL FLOTANTE DE TUBOS RECTOS HAZ DE
TUBOS REMOVIBLE CONSTRUCCION CON ANILLO
DE CIERRE HIDRAULICO DOS PASOS



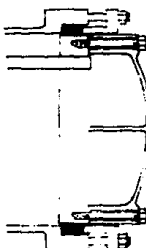
RH-17

CABEZAL FLOTANTE DE TUBO RECTO HAZ REMOVIBLE CONSTRUCCION
CON ANILLO POSTERIOR DIVIDIDO CON CUBIERTA DE CORAZA PASO SIMPLE
CONEXION BRIDADA CON JUNTA EMPACADA



RH-18

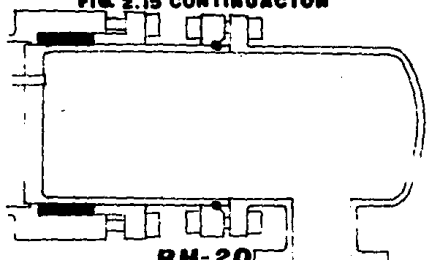
CABEZAL FLOTANTE DE TUBOS RECTOS HAZ DE
TUBOS REMOVIBLE CONSTRUCCION CON ANILLO
POSTERIOR DIVIDIDO CON CUBIERTA CORAZA
MULTIPASO



RH-19

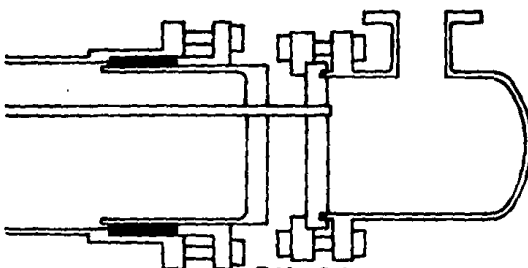
CABEZAL FLOTANTE DE TUBOS RECTOS
HAZ DESLIZANTE REMOVIBLE ANILLO DE
CIERRE HIDRAULICO MULTIPASOS

FIG. 2.15 CONTINUACION



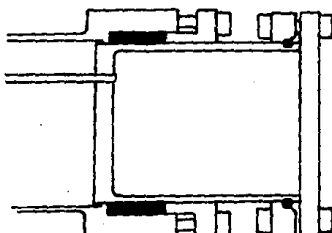
RH-20

CABEZAL FLOTANTE DE TUBOS RECTOS HAZ DE TUBOS
REMOVIBLE ANILLO DE CIERRE HIDRAULICO PASO SIMPLE



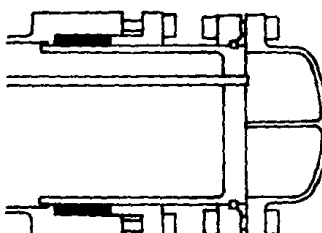
RH-21

CABEZAL FLOTANTE DE TUBOS RECTOS DOBLE ESPEJO HAZ DE TUBO REMOVIBLE CONSTRUCCION
DE ANILLO DE CIERRE HIDRAULICO Y ANILLO POSTERIOR DIVIDIDO PASO SIMPLE CONEXION
BRIDA RADIAL.



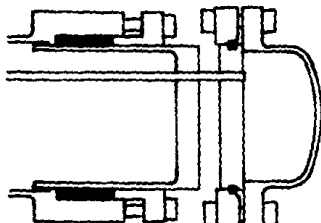
RH-22

CABEZAL FLOTANTE DE TUBOS RECTOS HAZ DE
TUBOS REMOVIBLE CONSTRUCCION CON ANILLO
DE CIERRE HIDRAULICO Y ANILLO LLAVE
DIVIDIDO

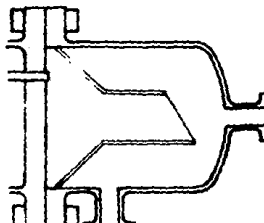


RH-23

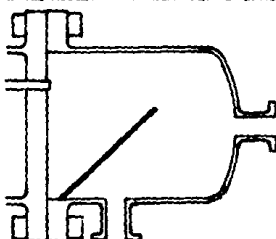
CABEZAL FLOTANTE DE TUBOS RECTOS HAZ DE
TUBOS REMOVIBLE CONSTRUCCION CON ANILLO
DE CIERRE HIDRAULICO Y ANILLO LLAVE
DIVIDIDO MULTIPASOS



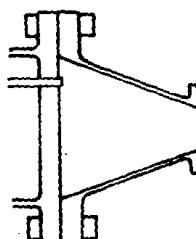
RH-24
CAÑEZAL FLOTANTE DE TUBO RECTO - MAZ DE TUBOS
MEMBRANAS DOBLES ESPEJO-CONEXION CON ANILLO
DE CIERRE HIDRAULICO Y ARRIOLLO LLAVE DIVIDIDA



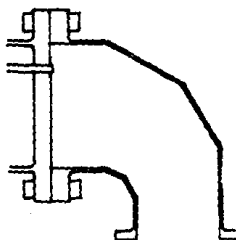
RH-25
TAPA - PASO SIMPLE CON SEPARADOR
INTERNO CONEXION BRIDADA



RH-26
TAPA PASO SIMPLE CON SEPARADOR INTERNO
CONEXION BRIDADA



RH-27
CODO - PASO SIMPLE CONEXION
BRIDADA



RH-28
CODO ANGULO CONICO CONEXION BRIDADA

FIG. 2.15 CONTINUACION

2.5.2 Sección de Coraza

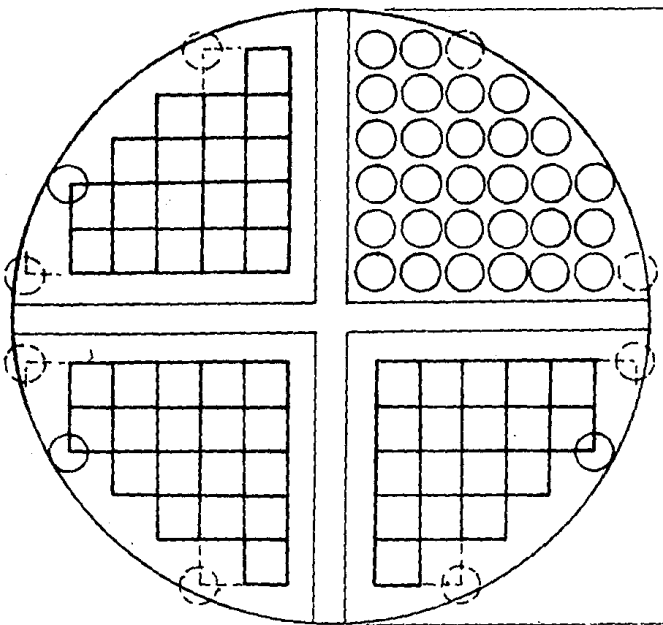
Las corazas para intercambiadores de calor están manufac-
turadas en su mayoría en tamaños estándar de materiales y
espesores. Las corazas hasta de 13" de diámetro, normalmen-
te se fabrican con tubo (de cédula especificada), y los de
mayor diámetro con placa soldada. Se calculan de acuerdo con
el código ASME, pero el TEMA establece espesores mínimos en
relación al diámetro que son mandatorios en caso de que el
cálculo por ASME diera un espesor menor.

El diámetro interior de la coraza es importante para el
diseño térmico, ya que la distancia entre el límite exterior
de los tubos y la coraza debe ser la mínima posible para
evitar que parte del fluido pase por esta zona, en la que no
hay transferencia de calor. Una vez conocido el límite exte-
rior de los tubos, figura 2.16, y con esto el diámetro de
la esmaltadora (mínimo de un 1/4" mayor que el límite exterior
de los tubos), se puede determinar el diámetro interior de
la coraza.

El TEMA especifica la distancia máxima que debe haber
entre tapaderas y la coraza.

La selección de un tamaño particular de coraza depende
más que nada de los requerimientos de una instalación dada.
Como una regla de trabajo, la experiencia indica que un
intercambiador de calor será más económico cuando pueda
disponerse empleando un diámetro de coraza pequeño y la lon-
gitud máxima permitida de la misma nor factores prácticos se-
mejantes como trazado de planta, instalación, servicio, etc.

Los siguientes son cinco variantes en tipos de cora-
za comúnmente empleados, (HULL, SECTION, ss) figura 2.17.



LIMITE EXTERIOR DE TUBOS (OTL)

FIG. 2.16

Tres verrientos de coraza para tubos removibles en "U" - están representados en SS-1, SS-2 y SS-3.

SS-3 está diseñado para construcción con doble espejo.

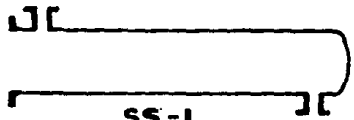
El espejo fijo, haz de tubos no removibles, ofrece un gran número de alternativas en características de construcción de espejos fijos, juntas de expansión y tipos de conexiones.

Los modelos como SS-4, SS-6 y SS-8 muestran corazas para espejos fijos sin junta de expansión; cuando esto se requiere, se pueden usar modelos como SS-5, SS-7 y SS-9.

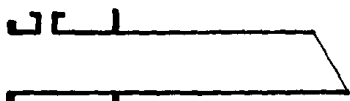
Cuando la posibilidad de fuente de un fluido en el otro no pueden permitirse, un espejo doble en la sección de la coraza, tal como SS-8 o SS-9 puede emplearse. Para la mayoría de las aplicaciones es satisfactorio construir un espejo simple en corazas tipo SS-4 o SS-7.

Los modelos como SS-6 y SS-7 tienen cerrojo integrado a la coraza, por tanto, para una combinación completa con cabezal frontal, sección de coraza y cabezal posterior, solo son necesarias las tarras para los cerrojos.

Los modelos tales como SS-10 e SS-12 son para construcción con espejo flotante. El SS-10 también puede usarse con cabezal flotante tipo tira deslizante y con espejo flotante separado de la tira dentro de la coraza o construcción con cabezal flotante tipo anillo de cierre hidráulico. El SS-11 está diseñado para acomodar una tara de cabezal flotante que está fija al espejo con una división en el anillo-anclaje. En SS-12 una emarginadura del casquillo exterior sella el fluido del lado de la coraza hacia la atmósfera, en diseños tales que el borde posterior del espejo flotante es parte del cabezal flotante y la tara está fijada con un anillo-seguro dividido.



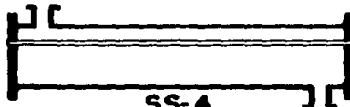
SS-1
CONSTRUCCION PARA TUBOS EN "U" CON
HAZ REMOVIBLE



SS-2
TUBOS EN "U" CON HAZ REMOVIBLE
CONSTRUCCION PARA CARGA DE
CALENTAMIENTO



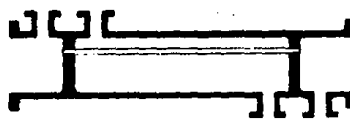
SS-3
TUBOS EN "U" DOBLE ESPEJO
HAZ REMOVIBLE



SS-4
TUBOS RECTOS ESPEJOS FIJOS HAZ
NO REMOVIBLE



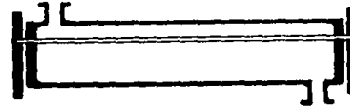
SS-5
TUBOS RECTOS ESPEJOS FIJOS
HAZ NO REMOVIBLE CON JUNTA
DE EXPANSION



SS-6
TUBOS RECTOS ESPEJOS FIJOS
HAZ NO REMOVIBLE PASO SIMPLE
CANAL INTEGRADO A LA CORAZA



SS-7
TUBOS RECTOS ESPEJOS FIJOS
HAZ NO REMOVIBLE CANAL
INTEGRADO A LA CORAZA MULTI
PASOS JUNTA EXPANSION



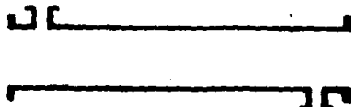
SS-8
TUBOS RECTOS DOBLE ESPEJO FIJO
HAZ NO REMOVIBLE

FIG. 2.17 MODELOS DE CORAZAS



SS-9

TUBOS RECTOS DOBLE ESPEJO FIJO
HAZ NO REMOVIBLE JUNTA DE
EXPANSION



SS-10

CABEZAL FLOTANTE CON TUBOS RECTOS SE PUEDE
UTILIZAR PARA HAZ REMOVIBLE CON ESPEJO
FLOTANTE DEL TIPO HAZ DESLIZANTE O ANILLO
DE CIERRE HIDRAULICO



SS-11

TUBOS RECTOS HAZ REMOVIBLE CONSTRUCCION
PARA ANILLO DIVIDIDO



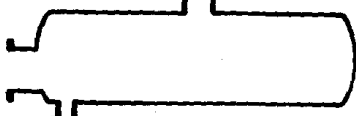
SS-12

TUBOS RECTOS HAZ REMOVIBLE CONSTRUCCION
PARA CABEZAL CON CAJA DESPIQUE Y CONSTRUCCION
DE ANILLO DENTADO DIVIDIDO



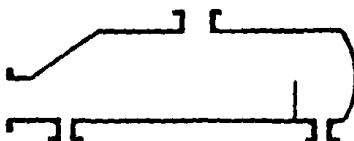
SS-13

TUBOS EN "U" O CABEZA FLOTANTE
CON TUBOS RECTOS HAZ DESLIZANTE
REMUVIBLE CON TANQUE AGITADOR Y
SEPARADOR LÍQUIDO VAPOR INTEGRADO



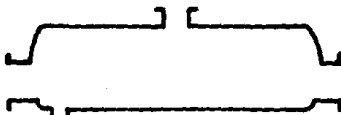
SS-14

RECIPIENTE PARA VARIOS USOS TUBO EN "U"
O RECTO CONSTRUCCION CON HAZ DESLIZANTE
REMUVIBLE



SS-15

REHEVIDOR TIPO CALDERON CONVERTIDOR
POR DERRAME PARA TUBOS EN "U" DIRECTO
HAZ DESLIZANTE CONSTRUCCION PARA
GENERACION DE VAPOR



SS-16

RECIPIENTE PARA VARIOS USOS DOBLE
TUBO RECTO O DOBLE TUBO EN "U"
HAZ DESLIZABLE REMOVIBLE

FIG. 2.17 CONTINUACION

En aplicaciones donde la separación del líquido y vapor - del fluido del lado de la coraza es un problema, los modelos como SS-13 incorporan un tambor agitador y un generador - líquido-vapor.

Cuando se genera vapor, las corazas como SS-14 e SS-16 - proveen un enorme volumen abierto para ebullición del líquido. Esto permite que el vapor viaje a velocidad suficiente- mente baja hacia la salida de modo que el líquido entrante se asiente antes de abandonar la coraza.

La conexión de salida de la coraza está localizada encima del centro de la longitud del haz de tubos, esto permite un volumen máximo de vapor a abandonar la coraza para una veloci- dad de vapor dada ya que el vapor no debe atravesar más de la mitad del área del domo de salida.

Todos los anteriores modelos pueden emplearse tanto para tubos en "U" o tubos rectos en construcción de trazo de tu- bos deslizable. La coraza SS-15 es un reservidor tipo Kettle contiene una manógrafo de sobreflujo para drenar el fondo y - mantener el líquido en un nivel óptimo. El SS-16 permite la instalación de dos haces de tubos con una coraza. Los mode- los SS-14 y SS-16 solo son usados para servicio de calenta- miento y enfriamiento.

2.6 Tubos para Intercambiadores de Calor.

Los tubos usados en los intercambiadores de calor, como superficie de transmisión de calor, son los conocidos como "tubinc" cuyo diámetro nominal es el diámetro exterior real del tubo dentro de una tolerancia muy estricta y pueden ser con costura y/o sin costura.

Los tubos con costura son rolados dentro de una forma ci- líndrica por desplaste del material y soldan automáticamente

bajo un control preciso de las condiciones de fabricación. Los tubos sin costura pueden ser unidos en caliente y estirados.

En cobre y aleaciones de cobre se disponen solamente de productos sin costura, mientras que los metales más comerciales se ofrecen en ambos, con y sin costura. Los tubos duplex o bimétálicos se fabrican en una amplia variedad de combinaciones metálicas y cada una de ellas, ofrece una respuesta a problemas específicos de proceso. Por ejemplo, si el material requerido en la coraza, de acuerdo al fluido, no es compatible con el metal requerido nor el fluido que circula en los tubos, los tubos de aleaciones bimétálicas pueden satisfacer ambas condiciones.

El tamaño de tubo está especificado por el diámetro exterior y el espesor de la pared.

Todos los tubos de intercambiadores de calor caen dentro del rango entre 3/8" y 2" de diámetro exterior. Los más comunes son de 5/8", 3/4" y 1" de diámetro.

Las longitudes nominales consideradas estándar por el TEMA, para tubos rectos y en "U" son: 8, 10, 12, 16 y 20 ft, aunque se admite el uso de otras longitudes, de preferencia en número par, o bien submúltiplos de las cantidades enteras. Se pueden sobreponer entonces: 2, 3, 4, 5, 6, 8 ft y como longitudes máximas 39 y 42 ft.

Cuando se prevee la necesidad de dar limpieza mecánica a los tubos, el diámetro efectivo mínimo es de 3/4", pero será preferible usar 1".

Cuando solo se requiere limpieza química, se pueden usar diámetros menores, siempre que no vayan a producirse tanques que eviten el paso de la solución química.

Los tubos se fijan al espejo por alguno de los siguientes procedimientos básicos.

Expansión: Es el método más común de fijar los tubos. Normalmente se hacen 2 ranuras sobre el perímetro del barreno, en el espesor del espejo. Al expandirse o rolar el tubo con la herramienta especial para este propósito, parte de la pared del tubo queda incrustada en la ranura, y el resto que da creación contra el perímetro del barreno. El TEMA especifica los requerimientos de ranuras así como las longitudes mínimas de expansión.

Soldadura: Se usa cuando los materiales de espejos y tubos son compatibles y pueden considerarse dos casos;

- a) **Soldadura de sellado:** Los tubos son expandidos como ya se indicó y posteriormente, se aplica la soldadura de sellado sobre la proyección de los tubos.
- b) **Soldadura de soporte:** En este caso no hay expansión previa y la soldadura se aplica con penetración sobre el espejo.

El arranque de tubos en el combidior es un factor determinante en el lado de la coraza para la transferencia de calor, la caída de presión, el depósito y limpieza de la incrustación, además de que, con el número de tubos, se fija el diámetro de la coraza.

Las tablas de conteo de tubos existentes, proporcionan el diámetro interior de la coraza para un cierto número de tubos de acuerdo al arranque, peso y del número de nidos que se considera. En el anéndice se encuentra una recapitulación de datos de "tubing" para intercambiadores así como tablas para conteo de tubos.

2.7 Baffles o Membranas

La masa velocidad en la corriente, se obtiene con la media geométrica de las masas velocidad transversal y longitudinal, y por lo mismo, queda determinada por 3 factores:

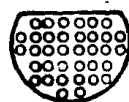
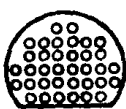
- 1.- Arreglo de los tubos, el cual influye en la masa velocidad transversal.
- 2.- Distancia entre membranas, en combinación con el arreglo de tubos, determina el área de flujo transversal, pero como el arreglo de tubos es fija al iniciar el diseño, la distancia entre membranas es normalmente la única variable para optimizar el flujo transversal. El TEMA especifica la distancia mínima y máxima a las que pueden ensancharse las membranas, y el ensanchar de estas en cada caso.
- 3.- Corte de las membranas: El área de la "ventana" - obtenida al cortar la membrana, menos el área transversal exterior de los tubos que se localizan en esa ventana, se conoce como Área Vaca Libre, la cual es el área de flujo longitudinal. El corte de las membranas es la variable para optimizar el flujo longitudinal.

Las membranas transversales se usan para promover turbulencia en el lado de la corriente, con lo que se mejora la transferencia de calor, y también para incrementar el flujo transversal sobre el exterior de los tubos, también mejorándose la transferencia de calor.

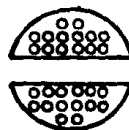
Los tipos de membranas transversales, en orden decreciente de su frecuencia de aplicación, son los siguientes:

1.- Membrana segmental.

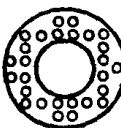
Consiste en un disco al que se le ha cortado un segmento,



MAMPARA SEGMENTAL



MAMPARA DOBLE SEGMENTAL

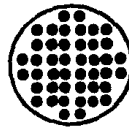
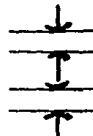


CORONA



DISCO

MAMPARA DISCO Y CORONA



MAMPARA DE ORIFICIOS

MAMPARAS TRANSVERSAL Y PATRON DE FLUJO
QUE PRODUCEN

FIG. 2.18

La altura del corte, expresado como porcentaje del diámetro del disco, varía entre 10 y 50 %.

Las líneas de corte, en los cambiadores horizontales, deben quedar horizontal o vertical, de acuerdo con la aplicación particular. La posición de las líneas de corte debe estar de acuerdo al flujo transversal deseado, para el arreglo de tubos seleccionado. Las membranas segmentales se colocan alteradamente, con el corte opuesto a 180° .

2.- Membranas Doble Segmental.

Está formado por dos segmentos de disco y por la parte central de otro disco al que se le han cortado dos segmentos menores que los primeros. Con este tipo de membranas se puede manejar mayor cantidad de flujo que con los segmentales sencillos, ya que el flujo transversal se divide en dos corrientes.

Las "ventanas" deben quedar balanceadas para que el flujo longitudinal sea constante.

3.- Membranas Disco y Corona.

Formado por un disco con una "ventana" circular central - (corona) y otro disco completo, mayor que la "ventana" del primero. Las "ventanas" deben quedar balanceadas para que el flujo longitudinal sea constante.

Una desventaja de este tipo de membranas es que los discos no pueden sonorizarse puesto que no llegan a la periferia; únicamente se sonorizan las coronas.

4.- Membranas de Orificio.

Formado por un disco completo, en el que los orificios no en caso de los tubos son sobredimensionados para que constituyan todos, en conjunto, la ventana de la membrana.

Este tipo de membrana es poco usada, y no se tienen datos adecuados para predecir la transferencia de calor en este caso. En la figura 2.18 se muestran estos tipos de membranas y el patrón de flujo que producen.

5.- Membranas Longitudinales.

Las membranas longitudinales actúan en la coraza como placa de partición, pero aumentar el número de pasos. El efecto de estas membranas es reducir las áreas de flujo transversal y longitudinal. El uso de estas membranas complica la construcción del cambiador y puede producir problemas de operación y mantenimiento, por lo que solamente se aplican cuando resulten indispensables. No se debe utilizar cuando se tengan problemas de incrustación, ya que favorecen el depósito de sólidos.

En el aspecto de diseño térmico, un cambiador con membranas longitudinales, puede sustituirse por dos cambiadores en paralelo o en serie.

Los siguientes dibujos ilustran varios arreglos comúnmente usados para membranas transversales y longitudinales, figura 2.19.

Las membranas segmentadas como en SB-1 y SB-2 se usan generalmente para imponer velocidades transversales al cruce de tubos. Son aplicables para diseños de intercambiadores con flujo en un solo paso o multiramas.

Arreglos de flujo simple dividido como SB-3 se usan en intercambiadores para mantener una distribución razonable de flujos y velocidades. Este tipo de flujo sólo se usa cuando se desea reducir la caída de presión, en SR-4 la coraza está dividida por dentro en compartimientos que dan doble flujo dividido.

Las membranas longitudinales son usadas para dividir la ca
rza por dentro en dos secciones para dos pasos en la correa,
como en SR-7 o en más secciones como SR-8.

Estas pueden ser combinadas con membranas circulares verti
cales para proveer varios tipos de flujo dividido como en -
SR-5 y SR-6.

Otros tipos de membranas horizontales son las membranas co
cideras colocadas encima de los tubos en un generador de va
por, tal como SR-9, para disminuir la velocidad de genera -
ción de vapor. Se puede agregar un separador de vapor que
puede instalarse abajo de la tubería de salida en cada uni
dad.

2.8 Accesorios Generales Para El Lado de la Correa.

Se pueden considerar como accesorios todos aquellos
implementos que complementan el diseño mecánico de un cambi
dor de calor. Cada accesorio cumple una determinada función
y además todos en conjunto, favorecen la eficiente operación
del equipo. Los principales accesorios son:

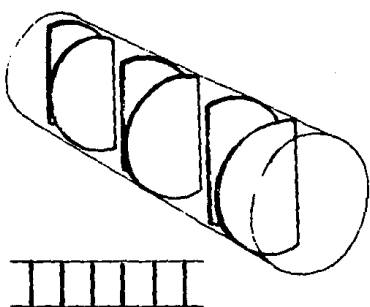
Placas de Soporte.

En aplicaciones de los cambiadores tales como la condensa
ción de un vapor saturado o la evaporación de un líquido se
turado, las membranas no se requieren por el diseño térmico
ya que la turbulencia en estos casos, no influye en la trans
misión de calor, pero por diseño mecánico si se requiere so
portar los tubos. En este caso las membranas se convierten
en placas de soporte y el espaciamiento es especificado por
el TEMA.

Cuando se usan tubos en "U", siempre se tendrá una placa
de soporte en el extremo de la transmisión entre la longitud -

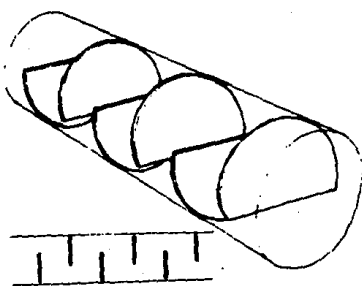
SB-1

DISEÑO ESTANDAR DE BAFILE SEGMENTADO
PARA FLUJO DE LADO A LADO



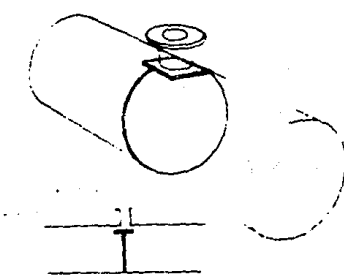
SB-2

BAFILE SEGMENTADO ESTANDAR DISEÑADO
PARA FLUJO FLUCTUANTE



SB-3

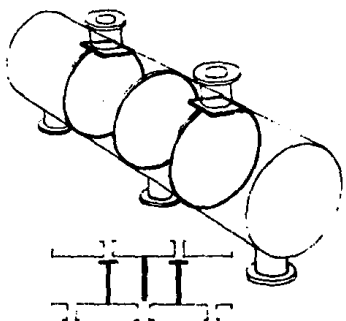
DISEÑO ESTANDAR PARA FLUJO DE DIVISION
SIMPLE



**FIG. 2.19 MAMPARAS LONGITUDINALES
Y TRANSVERSALES**

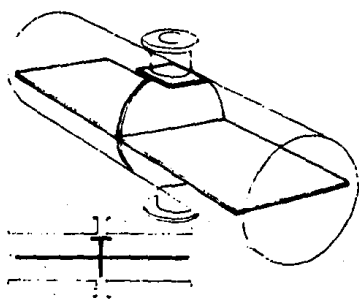
SB - 4

DIBUJO STANDAR PARA FLUJO DE DOBLE
DIVISION



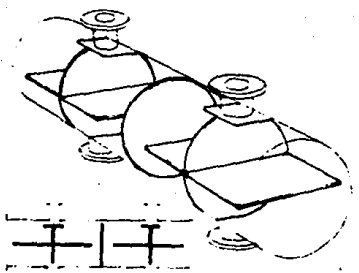
SB - 5

DIBUJO STANDAR PARA FLUJO DE DIVISION
SIMPLE CON BAFLE HORIZONTAL



SB - 6

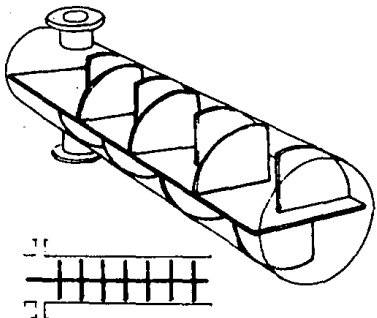
DIBUJO STANDAR PARA FLUJO DE DOBLE
DIVISION CON BAFLE HORIZONTAL



2.19 CONTINUACION

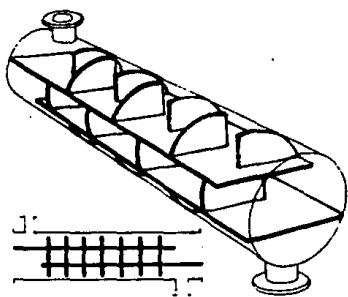
SB - 7

DISEÑO STANDAR DE BAFILE SEGMENTADO
CON DOS PASOS EN CORAZA



SB - 8

DISEÑO STANDAR DE BAFILES SEGMENTADO
PARA CORAZA CON TRES PASOS



SB - 9

DISEÑO STANDAR DE BAFILE ROCIADOR Y
SEPARADOR VAPOR-LIQUIDO. EMPLEADO
PARA GENERACION DE VAPOR

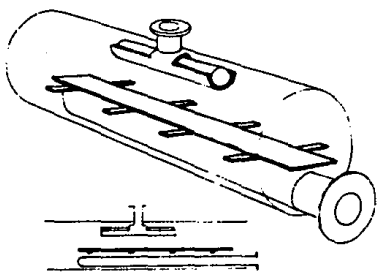


FIG. 2.19 CONTINUACION

recta de los tubos y la "U".

Tirantes y Espaciadores.

Los mamparas transversales y placas de soporte se mantienen en su posición por medio de los tirantes y espaciadores. Los tirantes se fabrican con barra sólida redonda. Uno de sus extremos va roscado en la cara interior del espejo estacionario y el otro, termina después de la última mampara o placa soporte, donde se colocan dos tuercas como cierre. Los tirantes atraviesan todas las mamparas o placas soporte.

Los espaciadores se fabrican con tubo, ya sea de tubo de cédule o tubing, estos no atraviesan las mamparas, sino que va un espaciador entre cada dos mamparas, o entre mampara y espejo estacionario, a lo largo del tirante correspondiente. El orificio por el que pasa el tirante en la mampara no debe permitir el paso del espaciador.

El TEMA especifica el número mínimo y diámetro de los tirantes, de acuerdo con el diámetro del envolvente. En la figura 2.20 se muestra de manera esquemática un haz de tubos con mamparas, tirantes, espaciadores y espejos.

Placa de Choque.

Para evitar la erosión y el golpe hidráulico contra los tubos del cambiador cuando se tienen velocidades altas de entrada, o fluidos abrasivos o corrosivos, o alta temperatura, se debe proteger el haz de tubos con una placa de choque. El TEMA especifica para qué valores de fuerza del fluido, y para qué tipos de fluidos, se requiere placa de choque.

La placa de choque normalmente va apoyada sobre dos de los tirantes del haz de tubos, como se ilustra en la figura 2.21, aunque en ocasiones, por falta de espacio o para evitar espacios libres en el inferior del envolvente, se coloca en

la boquilla de entrada, que en este caso, necesita ser de un diámetro mayor al requerido por el flujo.

En el interior de la coraza, se pueden tener espacios libres como resultado de los tubos eliminados para poder instalar placas de partición, el claro existente entre el límite exterior de los tubos y el diámetro interior de la coraza - por necesidades de construcción, especialmente en los cambiadores de esnejos flotantes, por los tubos eliminados o el diámetro de la coraza aumentado, para instalar piezas de choque.

El efecto de estos espacios libres son fugas internas consistentes en la disminución de la masa velocidad, (tanto longitudinal como transversal por el aumento del área de flujo) y también la disminución del contacto del fluido con el área de transferencia de calor (superficie exterior de los tubos), ya que parte del flujo "by-passes" al haz de tubos al encontrar menor resistencia en los espacios libres.

Este fenómeno que reduce la eficiencia en la transferencia de calor, afecta mayormente en el enfriamiento de fluidos viscosos ya que se produce con facilidad el flujo laminar.

Para evitar las fugas internas, se usan los siguientes dispositivos, que principalmente evitan las fugas en el flujo transversal.

Tubos Falsos.

Fabricados con barra sólida redonda, del mismo diámetro - que los tubos, substituyen a parte de los eliminados por las placas de partición en los nudos de fuga. "o tocan los esnejos y van soportados por las membranas, a todo lo largo de la coraza entre las caras internas de los esnejos.

Tiras de Sello.

Fabricadas con solera o tiras de alaca, se colocan longitudinalmente a todo lo largo del haz de tubos, atravesando las membranas por ranuras del tamaño de estas tiras. Su posición es paralela al corte de las membranas.

En la figura 2.22 se muestra un corte de la coraza de un cambiador de calor. En la mitad izquierda de la figura se indican las tiras de sello y los tubos falsos, puede observarse como se evita el "by-pass" del haz de tubos para el flujo transversal. En la mitad derecha de la figura puede observarse el "by-pass" del haz de tubos con parte del flujo al no existir ningún impedimento para su paso por los espacios libres.

2.9 Materiales de Construcción.

Los materiales de construcción usados en los intercambiadores dependen de los fluidos manejados, condiciones de proceso, tales como presión, temperatura, etc., y de un balance inicial de costos contra tiempo de vida y requerimientos de mantenimiento.

Muchos componentes a la unidad completa pueden fabricarse en diversos materiales, tales como acero al carbón, acero inoxidable, cobre, aleaciones de cobre, níquel, aleaciones de níquel, aluminio u otras aleaciones especiales.

En el TEMA se especifican las calidades mínimas de material cuando se usa acero al carbón, acero de alta aleación, acero de alta aleación, níquel y sus aleaciones, aluminio y sus aleaciones y cobre y sus aleaciones. Las calidades indicadas en el TEMA, se refieren a las establecidas por el ASME y el ASTM, y cubren materiales para tubing, tubo, alaca, fundiciones, forjas, tornillo, espirales y tuercas.

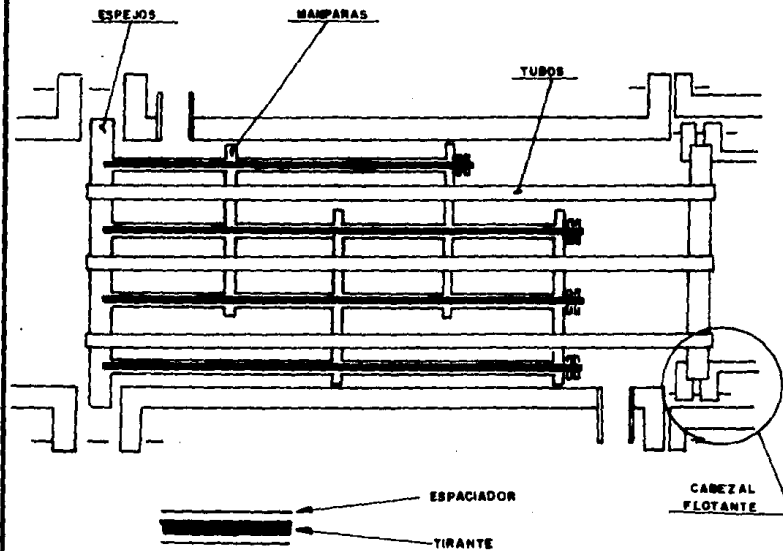
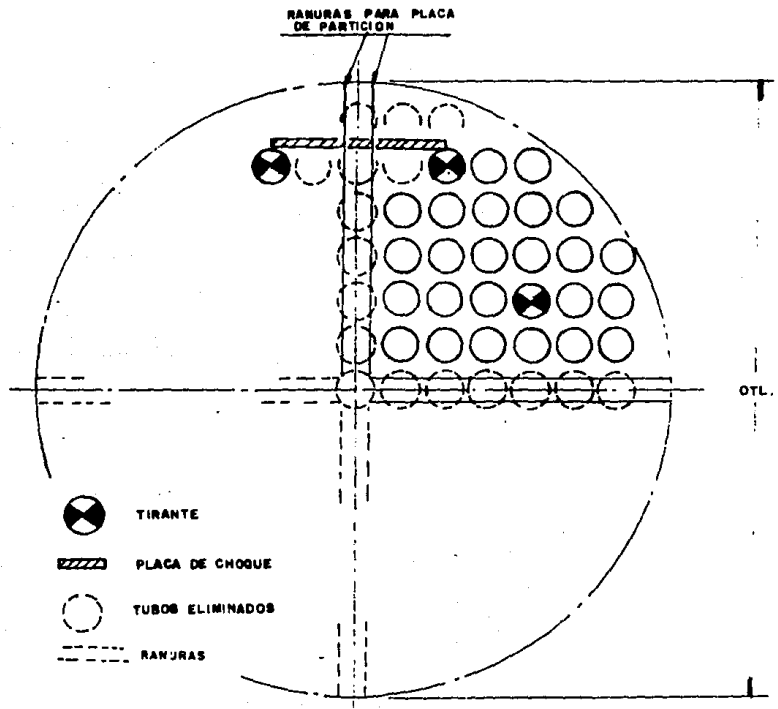


DIAGRAMA ESQUEMATICO DE UN CAMBIADOR DE CABEZAL FLOTANTE
MOSTRANDO MAMPARAS, TIRANTES, ESPACIADORES, ESPEJOS Y
TUBOS

FIG. 2.20



ARREGLO DE TUBOS EN UN CUADRANTE, CONSIDERANDO TIRANTES
RANURAS PARA PLACAS DE PARTICION Y PLACA DE CHOQUE

FIG. 2.21

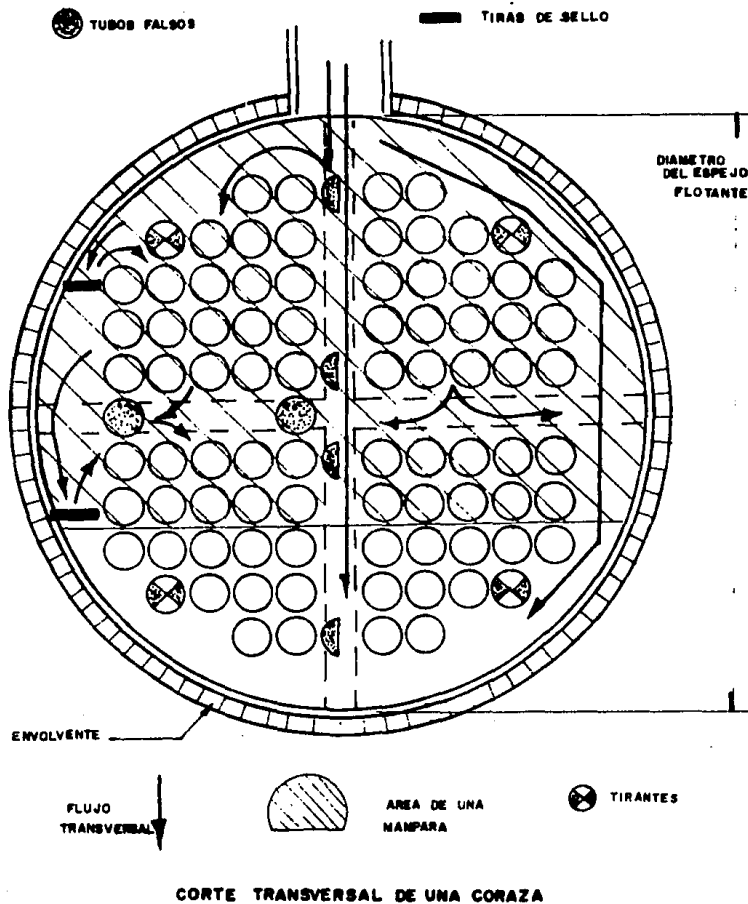


FIG . 2.22

La tabla No. 8 del anéndice indica los materiales que se pueden emplear para manejar diferentes substancias de acuerdo a su corrosividad, como una guía general, aunque para casos críticos se requiere mayor información.

Aunque el comportamiento de un material frente a un determinado fluido está influenciado por muchos factores (resistencia del material, temperatura, contaminantes, concentración, velocidad del fluido, etc.) esta tabla puede ser una buena guía para la selección del material de construcción del intercambiador.

Cuando se requieren materiales especiales, es común usar en los cambiadores acero al carbón como base y recubrirlos con el material especial en las partes en contacto con el fluido. El recubrimiento puede hacerse por deposito de soldadura (clad) o por una capa muy delgada del material especial (Lining). El recubrimiento se usa con mayor frecuencia para espejos y bridas que para otras partes.

2.10 Designación de Intercambiadores de Calor.

El TEMA identifica a los diferentes tipos de cambiadores de acuerdo con las características de la coreza y los cabezales, en la figura 2.23 se ilustra dicha designación, por medio de letras, de las diferentes correas y cabezales.

Aunque en este trabajo se ha usado solo las abreviaturas de coreza (SS) y cabezales (FH, RH), la aplicación de la designación por TEMA no presenta mayor problema.

De acuerdo con la designación del TEMA:

- Una de las letras: A, B, C o D designa el cabezal frontal del cambiador (FH).
- Una de las letras: E, F, G, H, J o K designa a la coreza del cambiador (SS).

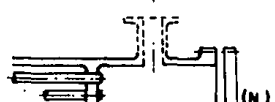
CABEZAL POSTERIOR
(Tipos de cabezal)



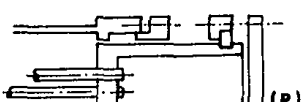
ESPEJO FIJO
COMO EL CABEZAL ESTACIONARIO "A"



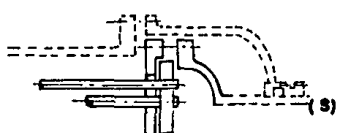
ESPEJO FIJO
COMO EL CABEZAL ESTACIONARIO "B"



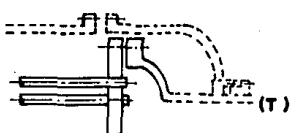
ESPEJO FIJO
COMO EL CABEZAL ESTACIONARIO "C"



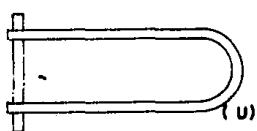
CABEZAL FLOTANTE TIPO
CAJA EMPACADA



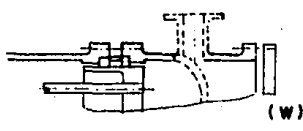
CABEZAL FLOTANTE TIPO ANILLO
POSTERIOR DIVIDIDO



CABEZAL FLOTANTE TIPO
HAZ DESLIZANTE



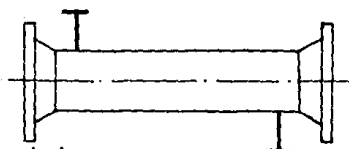
TUBOS EN "U"



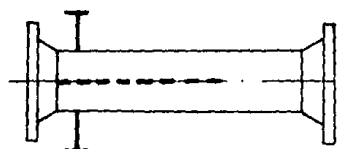
CABEZAL FLOTANTE TIPO
ANILLO DE CIERRE HIDRAULICO

Fig. 2-23 Continuacion

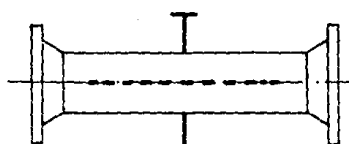
T I P O S D E C O R A Z A



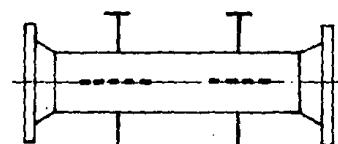
(E) UN PASO EN CORAZA



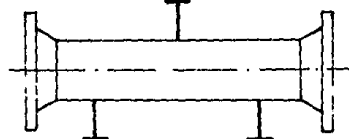
(F) DOS PASOS EN CORAZA CON MAMPARAS LONGITUDINALES



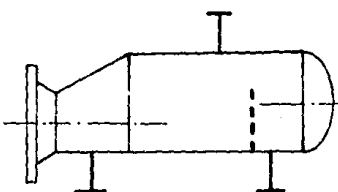
(G) FLUJO DIVIDIDO



(H) DOBLE FLUJO DIVIDIDO



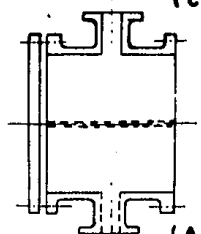
(J) FLUJO DIVIDIDO



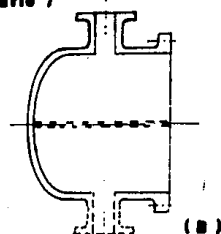
(K) REHEVIDOR TIPO KETTLE

Fig. 2-23 Continuacion

CABEZAL FRONTAL
(Cabezal estacionario)

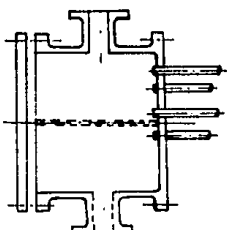


CANAL Y TAPA REMOVIBLE

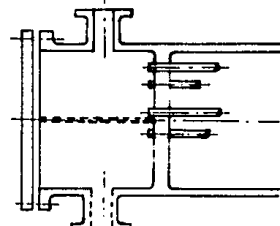


TAPA (TAPA INTEGRAL)

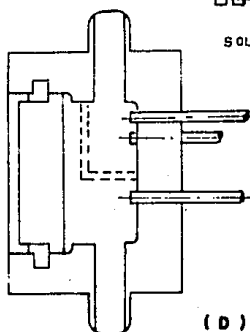
CANAL INTEGRADO CON ESPEJO Y TAPA REMOVIBLE



(C)



SOLO ESPEJO FIJO



(D) SELLO ESPECIAL PARA
ALTA PRESIÓN

Fig. 2-23 Designación del TEMA para cabezales y cereza

- Una de las letras: L, M, N, P, S, T, U ó W designa el cabezal posterior del cambiador (RH).

Así, el tipo de cambiador queda designado por tres letras que identifican, (de acuerdo con TEMA), en este orden siempre: cabezal frontal, coreza y cabezal posterior.

En los ejemplos de intercambiadores de la figura 2.24 se encuentra en forma esquemática los componentes de los mismos, la designación dada por TEMA y la designación de acuerdo a este trabajo.

Por ejemplo, de los cambiadores mostrados en la figura 2.24 se puede decir del tipo AES:

1.- La letra A designa el cabezal frontal.

Este cabezal tiene taza ciara removible y el cabezal completo también es removible.

2.- La letra E designa a la coreza. Es una coreza de un paso.

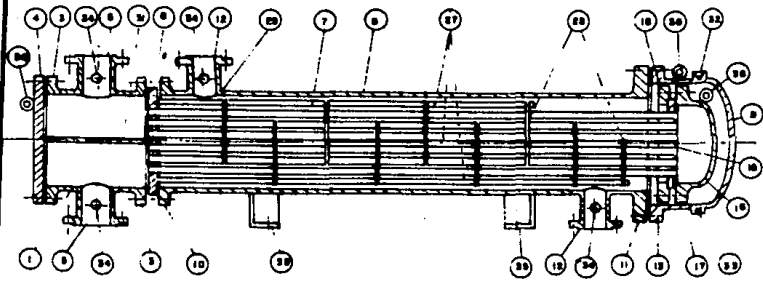
3.- La letra S designa el cabezal posterior. Este cabezal es flotante con anillo dividido. La taza del cabezal es removible.

De acuerdo al presente trabajo, la misma descripción quedaría hecha así:

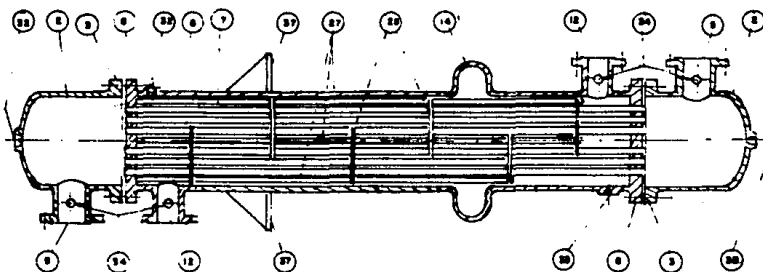
FH15-9511-RH18

Siendo un cambiador con las siguientes características.

Coral con taza removible, multiformas -tubos rectos, haz deslizante- taza removible, cabezal flotante tipo anillo posterior dividido.

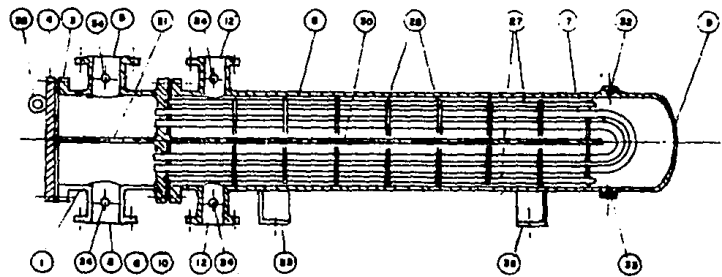


Cambiador tipo AES
FH15-SSII-RH18

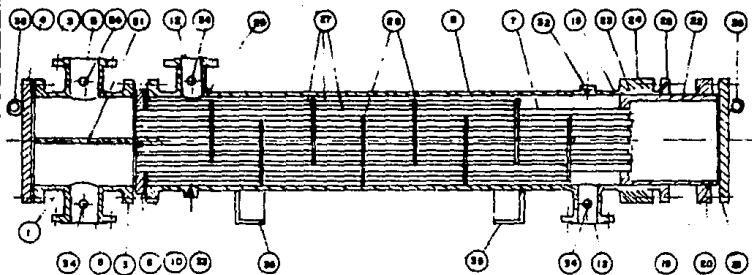


Cambiador tipo SEM
FH9-SS5 RH7

FIG. 2.24

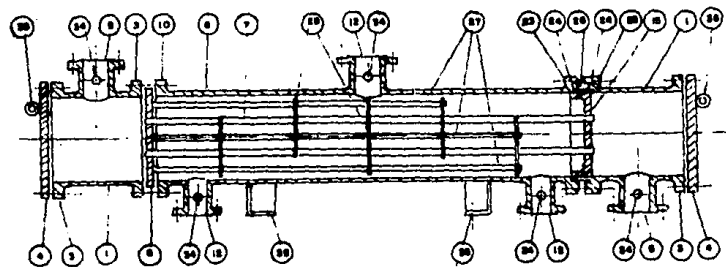


CAMBIADOR TIPO CFU

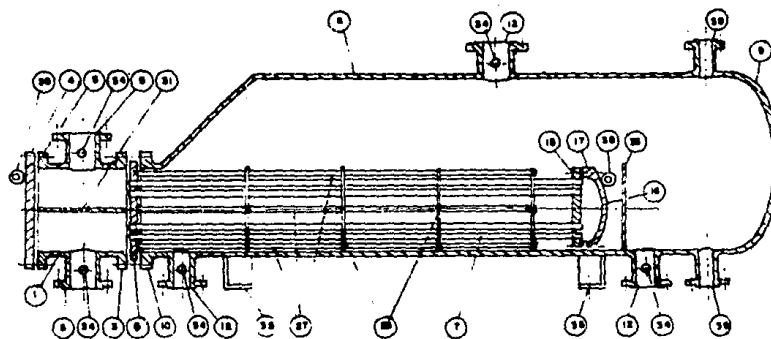


CAMBIADOR TIPO AEP

FIG. 2.24 CONT.



CAMBIADOR TIPO AJW



CAMBIADOR TIPO AKT

FIG. 2.24 CONT.

NOMENCLATURA PARA LAS FIGURAS 2 . 24

- | | |
|---|------|
| CANAL ESTACIONARIO CON TAPA PLANA | (1) |
| CANAL ESTACIONARIO CON TAPA ABOMBADA | (2) |
| BRIDA(S) DEL CANAL ESTACIONARIO | (3) |
| TAPA PLANA DEL CANAL | (4) |
| BOQUILLAS DEL CANAL | (5) |
| ESPEJO ESTACIONARIO | (6) |
| TUBOS | (7) |
| ENVOLVENTE | (8) |
| TAPA DEL ENVOLVENTE | (9) |
| BRIDA DEL ENVOLVENTE-EXTREMO ESTACIONARIO | (10) |
| BRIDA DEL ENVOLVENTE-EXTREMO POSTERIOR | (11) |
| BOQUILLAS DEL ENVOLVENTE | (12) |
| BRIDA DE LA TAPA DEL ENVOLVENTE | (13) |
| JUNTA DE EXPANSION | (14) |
| ESPEJO FLOTANTE | (15) |
| TAPA DEL CABEZAL FLOTANTE | (16) |
| BRIDA DEL CABEZAL FLOTANTE | (17) |
| ANILLO DIVIDIDO DEL CABEZAL FLOTANTE | (18) |
| ANILLO DIVIDIDO EXTERIOR | (19) |
| BRIDA DESLIZANTE EXTERIOR | (20) |
| TAPA DEL CABEZAL FLOTANTE EXTERIOR | (21) |
| FALCON DEL ESPEJO FLOTANTE | (22) |
| BRIDA DEL ESTOPERO | (23) |
| EMPAQUE EN EL ESTOPERO | (24) |

PRENSA EMPAQUE	25
ANILLO LINTERNA	26
TIRANTES Y ESPACIADORES	27
MAMPARAS O PLACAS DE SOPORTE	28
PLACA DE CHOQUE	29
MAMPARA LONGITUDINAL	30
PLACA DE PARTICIÓN	31
VENTEO	32
DRENE	33
CONEXIONES PARA INSTRUMENTOS	34
SILLETA	35
OREJA DE IZAMIENTO	36
SOPORTES VERTICALES	37
DERREMADORES	38
CONEXIONES PARA NIVEL	39

CAPITULO III

PROCEDIMIENTO DE DISEÑO.

3.1 Introducción.

Possiblemente una de las aplicaciones más comunes de la transferencia de calor se encuentre en el diseño y selección de intercambiadores de calor.

Aún cuando los problemas que intervienen en el diseño completo de un intercambiador de calor son múltiples y de carácter muy diverso, la metodología para predecir el comportamiento térmico es relativamente sencilla.

Algunos de los aspectos más importantes que se deben considerar en el diseño y selección de un intercambiador de calor son: problemas de corrosión; depósito de sólidos en las líneas de flujo; caídas de presión; peso y tamaño del intercambiador; esfuerzos mecánicos y dilataciones térmicas en las tuberías y desde luego el costo; el cual juega un papel muy importante en la selección final del intercambiador de calor.

3.2 Etapas en el diseño de equipos de tubos y coraza.

1) Balance de Energía.

El balance de energía es necesario para conocer la cantidad de calor que debe ser transferida por el intercambiador. Deben tomarse en cuenta los posibles cambios de fase pueden sufrir los fluidos que se manejan, por ejemplo, una vaporización y/o condensación en el quinto.

Calentamiento o enfriamiento sin cambio de fase

$$Q = u \overline{C_p} (t_1 - t_2) \quad (3-1)$$

donde

Q = cantidad de calor transferido

w = flujo máscico

$\overline{C_p}$ = calor específico evaluado a la temperatura promedio aritmética

t_1 = temperatura de entrada

t_2 = temperatura de salida.

Fluidos con cambio de fase

$$Q = w \lambda \quad (3-2)$$

donde

λ = calor latente de vaporización

Cuando se presenta un cambio de estado de alguno de los fluidos combinado con calentamiento o enfriamiento, el calor total a transferir será la combinación de las ecuaciones anteriores.

$$Q = w \overline{C_p} (t_1 - t_2) + \lambda w \quad (3-3)$$

2) Colocación de los fluidos.

Los criterios que se emplean con mayor frecuencia para la colocación de los fluidos en intercambiadores de tubos y co-rea son los siguientes:

a) Corrosión. El fluido más corrosivo en los tubos, ya que si se requieren materiales especiales, el envolvente puede quedar de acero al carbón.

b) Incrustación. El fluido más incrustante en los tubos, ya que se puede controlar más fácilmente la velocidad de diseño y al aumentar esta, se reduce la incrustación. Cuando se usan tubos rectos, la limpieza por el interior es más sencilla, inclusive sin remover el haz de tubos.

c) Presión. Cuando se tiene un fluido con alta presión se localiza en los tubos ya que se requiere menor cantidad de partes para alta presión y los orificios siempre son más pequeños que la envolvente.

- d) Temperatura. Cuando se tiene un fluido con alta temperatura se localiza en los tubos, ya que se pueden requerir materiales especiales y la temperatura reduce los esfuerzos permisibles de los mismos,udiendo resultar equivalente a la presión alta.
- e) Gasto. El fluido con menor gasto normalmente va en la envolvente, ya que se consigue la turbulencia a menor velocidad y se evita un número de casos elevado en el lado de los tubos.
- f) Viscosidad. Por la misma razón que con el gasto, el fluido más viscoso se coloca en la envolvente, pero si el flujo resultara laminar, se cambia a los tubos ya que la predicción del coeficiente de transmisión de calor y la caída de presión será más exacta.
- g) Caida de Presión. Para una misma caída de presión, se obtiene un coeficiente mayor en el lado de los tubos. Si la caída de presión permisible es crítica o muy baja el fluido se localiza en los tubos, ya que se calculará con mayor exactitud y se obtendrá un coeficiente de transmisión de calor más alto.
- h) Fluido más peligroso, tóxico o costoso. En el lado de los tubos, ya que normalmente se tendrán menos fugas, o se puede usar espejo doble.

3) Diferencia de temperaturas.

La diferencia de temperaturas entre el fluido caliente y el fluido frío que circulan por el cambiador, constituye el gradiente o fuerza que permite se realice el cambio de calor entre ambos fluidos.

Para dos fluidos que fluyen uno u otro en paralelo o e contracorriente, la diferencia efectiva de temperaturas es la medida logarítmica de la diferencia de temperaturas (LMTD).

$$LMTD = \frac{\Delta t_1 - \Delta t_2}{\ln\left(\frac{\Delta t_1}{\Delta t_2}\right)} \quad (3-4)$$

donde

Δt_1 = diferencia de temperaturas de los fluidos en uno de los extremos del intercambiador (extremo frío).

Δt_2 = diferencia de temperaturas de los fluidos en el otro extremo del intercambiador (extremo caliente).

O si la temperatura de entrada de la corriente caliente es T_1 y sale a T_2 y el agua de enfriamiento entra a t_1 y sale a t_2

$$LMTD = \frac{(T_1 - t_1) - (T_2 - t_2)}{\ln \frac{T_1 - t_1}{T_2 - t_2}} \quad (3-5)$$

Para intercambiadores en los que no hay solamente flujo a contracorriente, es decir, cuando existe más de un paso por el lado de los tubos y/o la coraza se tiene la siguiente relación:

$$\frac{F_s \cdot R^{-1}}{\log \frac{(R^2 + 1)^{1/n}}{(R^2 + 1 - R + (R^2 + 1)^{1/n})^{1/n}}} \cdot \frac{\log \frac{(1 - P)}{1 - PR}}{\log \frac{(1/P) - 1 - R + (R^2 + 1)^{1/n}}{(1/P) - 1 - R - (R^2 + 1)^{1/n}}} \quad (3-6)$$

donde

F_s = factor por el que se debe multiplicar el LMTD para obtener la diferencia de temperaturas efectiva

$$P = (t_2 - t_1) / (T_1 - t_1)$$

$$R = (T_1 - T_2) / (t_2 - t_1)$$

t_1 = temperatura de entrada del fluido frío.

t_2 = temperatura de salida del fluido frío.

T_1 = Temperatura de entrada del fluido caliente

T_2 = Temperatura de salida del fluido caliente.

Para dos pasos en la envolvente y 4 ó más pasos en los tubos, el factor por el que se multiplicó el LMTD se expresa en la siguiente ecuación:

$$F = \frac{\frac{(R^2 + 1)^{1/2}}{R - 1} \log \frac{1 - R}{1 - PR}}{\log \frac{(2/P) - 1 - R + (R^2 + 1)^{1/2}}{(4/P) - 1 - R - (R^2 + 1)^{1/2}}} \quad (3-7)$$

El valor de F es representativo de la eficiencia del equipo por lo que no se recomienda que sea menor de 0.75 o mejor aún de 0.80.

4) Suposición del coeficiente total U*.

Las características físicas y materiales de construcción de los cambiadores, y las propiedades físicas de los fluidos manejados, presentan en conjunto una resistencia para que se realice la transferencia de calor. El coeficiente de transferencia de calor es igual al inverso de esta resistencia, y por lo mismo es una indicación de la rapidez con que se realiza el proceso de transferencia de calor.

Con objeto de dar al equipo un arrreglo inicial, es necesario suponer una rapidez de transferencia que luego es necesario comprobar con las propiedades del fluido. Esta suposición puede hacerse conforme a la tabla no. 4 del anádice.

5) Evaluación de la temperatura calórica para evaluar las propiedades de los fluidos.

Para la mayoría de las condiciones de intercambio el promedio aritmético de las temperaturas para el lado de la corriente y los tubos respectivamente representa una condición satisfactoria para evaluar las propiedades de los fluidos, y por tanto para determinar el coeficiente total U*.

Cuando las propiedades del fluido observen una alteración de la entrada a la salida de la unidad, entonces el promedio aritmético de temperaturas, no es muy satisfactorio para evaluar dichas propiedades. Para estos casos, una temperatura más representativa para cada corriente, es la llamada temperatura calórica. Las expresiones para el cálculo de la temperatura calórica en fluido caliente y frío las proporciona Kern y son:

$$t_h = t_{h2} + F_c(t_{h1} - t_{h2}) \quad (3-8)$$

$$t_c = t_{c1} + F_c(t_{c2} - t_{c1}) \quad (3-9)$$

donde

t_h = valor calórico para fluido caliente ($^{\circ}$ F)

t_{h1} = temperatura de entrada fluido caliente ($^{\circ}$ F)

t_{h2} = temperatura de salida fluido caliente ($^{\circ}$ F)

t_c = valor calórico para fluido frío ($^{\circ}$ F)

t_{c1} = temperatura de entrada fluido frío ($^{\circ}$ F)

t_{c2} = temperatura de salida fluido frío ($^{\circ}$ F)

F_c = factor de temperatura calórica; para un cálculo rápido de este factor para fracciones del petróleo - acudir a la figura no. 7 del anádico.

Temperatura en la pared exterior del tubo basada en el fluido caliente estando fuera de los tubos

$$t_w = t_h - \frac{h_{io}}{h_{io} + h_o} (t_h - t_c) \quad (3-10a)$$

$$t_w = t_c + \frac{h_o}{h_{io} + h_o} (t_h - t_c) \quad (3-10b)$$

donde

h_{io} = coeficiente de malficula interno referido al exterior del tubo (BTU/hr ft² $^{\circ}$ F).

h_o = coeficiente de película externo referido al exterior del tubo (BTU/hr ft² °F).

t_w = temperatura de la pared del tubo (°F)

Temperatura de la pared exterior del tubo para fluido caliente en el interior de tubos.

$$t_w = t_c + \frac{h_{io}}{h_{io} + h_o} (t_h - t_c) \quad (3-11a)$$

$$t_w = t_h - \frac{h_o}{h_{io} + h_o} (t_h - t_c) \quad (3-11b)$$

6) Proposición del arreglo.

Se hace necesario pronover un arreglo inicial del cambiador de calor el cual posteriormente deberá ser comprobado y modificado con el cálculo de los coeficientes respectivos, caídas de presión y áreas necesarias de transferencia de calor, tomando en cuenta que este arreglo inicial deberá contemplar las consideraciones siguientes para la selección de tubos: arreglo de éstos, membranas si son necesarias, diámetros de los tubos, longitudes, etc.; procurando establecer medidas comerciales en la selección de estas partes.

TUBOS

En general se puede decir que mientras más pequeños son los tubos será más alta la relación de área de transferencia sobre área de flujo. Esto significa que se favorece la superficie de contacto y se minimiza el tamaño, aumentando la fricción.

Los tubos usados en los cambiadores de calor que componen la superficie de transmisión de calor, son los conocidos como "tubing" cuyo diámetro nominal es el diámetro exterior

real del tubo dentro de una tolerancia muy estricta. Estos tubos para intercambiador se encuentran disponibles en varios metales, entre los que se incluyen acero comán, cobre, admiralty, metal Muntz, latón, cobre-níquel 70-30, aluminio-bronce, aluminio y aceros inoxidables. Se pueden obtener en diferentes espesores de pared, definidos por el calibrador de Birmingham para alambre, que en la práctica se refiere como el calibre BWG del tubo. El TEMA indica los calibres mínimos y los recomendados para cada diámetro de tubo. En casos especiales se deberá comprobar el espesor mediante el diseño mecánico. El calibre especificado puede ser nominal o mínimo:

- a) Con calibre nominal, se tendrá un porcentaje de los tubos con espesor menor al nominal, de acuerdo con la tolerancia que especifica el código ASTM.
- b) Con calibre mínimo, no se permite ningún tubo con espesor menor al nominal.
- c) El TEMA indica para qué materiales se debe especificar calibre mínimo.

Los calibres mínimos son adecuados para presión de 200 - psig o menos.

Con acero el carbón se usa mayor espesor de pared que con aleaciones o materiales no ferrosos, para tener un sobreespesor por corrosión.

Cuando se prevé la necesidad de dar limpieza mecánica a los tubos, el diámetro práctico mínimo es de 3/4", pero será preferible usar 1". Cuando solamente se requiere limpieza química, se pueden usar diámetros menores, siempre que no vayan a producirse dañamientos que eviten el uso de la solución química.

Los tamaños usuales de tubos para intercambiadores de ca-

ler son 3/4" y 1" de diámetro exterior. Los tubos de 5/8" y 1/2" se emplean en intercambiadores con refrigeración y otros sistemas. Sin embargo unos y otros presentan problemas de limpieza externa e interna. Tubos de 1 1/4" y 1 1/2" y - algunas veces más grandes se emplean en reservidores, evaporadores y para diseños especiales.

Las longitudes nominales consideradas estándar por el TEMA para tubos rectos y en U son: 8, 10, 12, 16 y 20 ft, aunque se admite el uso de otras longitudes, de preferencia en número par. La longitud se selecciona de acuerdo al área de transferencia, tratando de conservar la relación de longitud a diámetro aproximadamente dentro de los siguientes límites:

$$4.5 < L/D < 10$$

Esto proporciona un diseño equilibrado y la construcción resulta más económica.

Aquí se puede seleccionar si es necesario la distancia entre mamparas, ya que para obtener coeficientes de transferencia de calor más altos es necesario mantener el fluido por el lado de la coraza en estado de turbulencia, esto se logra introduciendo en la coraza mamparas. Las mamparas transversales actúan en la coraza como placas de partición para aumentar el número de pasos del fluido que viaja por el lado de 1^a coraza. En general se recomienda que esa distancia entre mamparas no sea mayor que el diámetro interior de la coraza, o menor que una distancia igual a 1/5 del diámetro interior de la coraza. Distancias mayores que el ID (diámetro interior de 1^a coraza) transforme el flujo externo en flujo paralelo a los tubos en lugar de perpendicular y distancias menores presentan problemas de fabricación y altas caídas de presión.

En el arranque de los tubos se debe tomar en cuenta el tipo de fluido que se va a manejar, los tubos se colocan en -

arrugados ya sea triangulares o cuadrados, como se muestra en la figura 3-1 así como en la figura 3-2. Para fluidos limpios y poco corrosivos se puede emplear arreglo triangular y cerrado, para fluidos sucios y corrosivos se utilizan arreglos abiertos y cuadrados. El arreglo de los tubos en el cambiador es un factor determinante para: la transferencia - de calor, la caída de presión, el desgaste y la limpieza de la incrustación. Los arreglos estándar de los tubos en orden decreciente de eficiencia en la transmisión de calor, caída de presión y problemas de incrustación, son los siguientes:

- a) Triangular. Los tubos quedan arrugados formando triángulos equiláteros entre centros. El flujo transversal en el envolvente, es perpendicular a la base de los triángulos. Se usa siempre que no existen problemas de incrustación o cuando resulta adecuada la limpieza química. (flujo cruzado).
- b) Cuadro rotado. Los tubos quedan arrugados formando cuadrados entre centros. El flujo transversal en el envolvente, es perpendicular a una de las diagonales de los cuadrados y perpendicular a la otra. Se usa cuando existe incrustación moderada y se requiere limpieza mecánica, (flujo cruzado).
- c) Triangular rotado. Los tubos quedan arrugados formando triángulos equiláteros entre centros. El flujo transversal en el envolvente, es paralelo a la base de los triángulos. Este arreglo es poco usado, (flujo en líneas).
- d) Cuadrado. Los tubos quedan arrugados formando cuadrados entre centros. El flujo transversal en el envolvente, es perpendicular a dos lados del cuadro y perpendicular a los otros dos. Se usa cuando existen problemas de incrustación y sea necesaria.

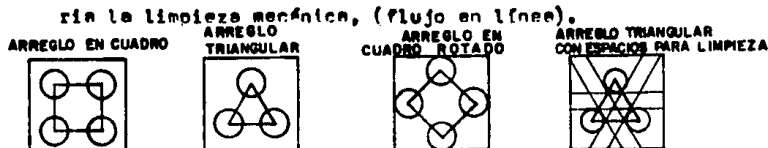


Figura 3-1

Figura 3-2

El seleccionar el arreglo de los tubos se determina el paso o pitch que es la distancia de centro a centro de tubos adyacentes, así como el tiro de flujo del fluido que circula por fuera de los tubos.

Para los diámetros más usuales de tubos el paso normal es el siguiente:

- 13/16" y 7/8" para tubos de 5/8".
- 15/16" y 1" para tubos de 3/4".
- 1 1/4" para tubos de 1".

Cuando las condiciones de régimen de flujo no se pueden llenar con el equipo trabajando con los fluidos a contracorriente con un solo paso, es necesario mejorar este régimen a través de la adopción de varios pasos en el lado de los tubos, este aumento del número de pasos hace aumentar la velocidad del fluido a valores más apropiados.

Cuando se tiene más de un paso en los tubos, el número de estos será normalmente par. En este caso, el fluido entra y sale por el mismo canal.



Figura 3-3 Arreglos multipases.

Normalmente se tienen cambiadores de calor con número de pasos en el rango de 8, pero en casos especiales se pueden tener hasta con 14 y 20 pasos. En estos casos extremos una solución alternativa será aumentar el número de pasos por el lado de la coraza o colocar dos intercambiadores más pequeños en serie o paralelo.

Para un mismo diámetro de la coraza, el aumento del número de pasos incrementa la caída de presión y reduce la cantidad de tubos que podrían instalarse, ya que se tiene que considerar el espacio requerido por las membranas, que son las que forman los pasos.

De cualquier manera, el aumento de varios pasos tanto en los tubos como en la coraza, provoca una disminución del gradiente de temperaturas (LMTD) por efecto del o de los pasos que se encuentran en sistemas en paralelo.

Por ejemplo, para un intercambiador con dos pasos en los tubos y uno en la coraza, existe un primer gradiente en paralelo y en el segundo paso, un gradiente a contracorriente o viceversa.

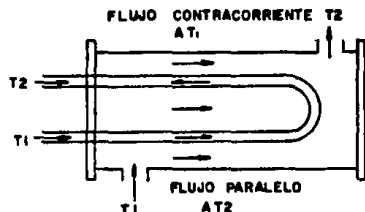
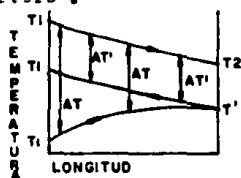


Figura 3-4.

Es necesario entonces convertir el LMTD

$$(LMTD)_{corr.} = LMTD (F_t)$$

El factor F_t para varios arreglos de intercambiadores ya se discutió en el inciso 3 de este capítulo.

Normalmente, se tiene la misma cantidad de tubos en cada paso pero cuando se manejan pasos, dependiendo de la magnitud

tud de cambio de temperatura y/o presión, pueden tenerse modificaciones suficientes en el volumen específico del gas, que requieran diferentes cantidades de tubos en algunos pesos para mantener la velocidad de flujo en un cierto valor.

7) Cálculo del área de transferencia necesaria y del número de tubos.

El área de transferencia se puede calcular con la ecuación de balance de calor

$$Q = U \cdot A \cdot \Delta T_{LM} \quad (3-12)$$

$$A = Q / U \cdot \Delta T_{LM} \quad (3-13)$$

El área de un tubo se calcula de acuerdo al diámetro de tubo seleccionado como:

$$A_t = a_t' L_t \quad (3-14)$$

donde:

a_t' = área por tubo (ft^2)

a_t' = área por ft de longitud (ft^2/ft)

L_t = longitud de tubo (ft)

El número de tubos será entonces

$$n_t = \frac{A}{a_t' L_t} = \frac{A}{a_t} \quad (3-15)$$

Este número de tubos es necesario llevarlo a un arreglo comercial cercano, tomando en cuenta el diámetro de tubo seleccionado, pesos arreglo, P_t , etc. Con los pesos anteriores queda dimensionado aproximadamente el equipo, sujeto a comprobación de su corriencia.

Hasta este punto del diseño de un intercambiador de calor de tubos y correa se tiene:

- Balance de energía, es decir, el calor a transferir.
- Se seleccionó la colocación de los fluidos de acuerdo -

- con las características de estos.
- Se ha evaluado la media logarítmica de la diferencia de temperaturas (LMTD).
- Se supuso un coeficiente total de transferencia U^* .
- En base a la temperatura calorífica se evalúan las propiedades de los fluidos.
- Se supuso un arreglo inicial que incluye el diámetro de tubos, longitud de estos, paso o pitch y de ser necesario la pronociación de más de un paso por los tubos y/o coraza.
- Se calculó el área de transferencia necesaria y
- El número de tubos que tendrá el intercambiador.

8) Cálculo de los coeficientes de transferencia.

Estos se calculen por el método adecuado según las condiciones, ya sea condensación, calentamiento o una combinación de ambos, se determinen los coeficientes y se corrigen respecto al área base (A), de este cálculo resultan h_i (coeficiente de película por el lado de los tubos) y h_o (coeficiente de película por el lado de la coraza) los cuales deben ser corregidos por combinación de ellos y por incrustación.

Suponiendo que por los tubos circula el fluido caliente y por la coraza el fluido frío:

Tubos: Fluido caliente

Coraza: Fluido frío

Se evalúa una temperatura promedio aritmética para cada fluido, de acuerdo a las condiciones de entrada y salida o con la temperatura calorífica

$$\bar{T} = \frac{T_2 + T_1}{2}$$

(3-16a)

$$\bar{T} = \frac{t_1 + t_2}{2}$$

(3-16b)

Con esta temperatura se evalúan las propiedades: k , C_p y viscosidad para cada fluido.

Cálculo de las áreas de flujo.

$$a_f = \frac{n_t s' f}{144 N_t}$$

(3-17a)

$$a_f = \frac{ID \cdot C \cdot B}{144 P_t N_s}$$

(3-17b)

N_t = número de pasos en los tubos.

n_t = número de tubos

s' = área por ft de longitud

ID = diámetro interior de la coreza.

C = espacio entre tubos.

B = distancia entre membranas

P_t = paso entre tubos.

N_s = número de pasos en coreza

Cálculo de masa velocidad.

$$G_t = \frac{w}{a_f}$$

(3-18a)

$$G_s = \frac{w}{a_f}$$

(3-18b)

w_t = flujo mísico para fluido caliente

w_s = flujo mísico para fluido frío.

Cálculo del Número de Reynolds.

$$NoRe_{t_s} = \frac{D_i G_t}{\mu}$$

(3-19a)

$$NoRe_{s_s} = \frac{D_e G_s}{\mu}$$

(3-19b)

D_i = diámetro interior de tubo

D_e = diámetro equivalente.

Con el No Re para el lado de los tubos, se puede recurrir a la figura 18 del anádico, para evaluar J_H.

Con el valor de J_H y con la ecuación del coeficiente de película adecuada al proceso, se evalúan los coeficientes individuales.

para el lado de los tubos:

$$h = \frac{k}{D_i} J_H \left(\frac{C_p \mu}{k} \right)^{\frac{1}{n}} \left(\frac{\mu}{\mu_w} \right)^{\frac{1}{n}}$$

(3-20a)

$$\frac{h}{D_i} = \frac{k}{D_i} J_H \left(\frac{C_p \mu}{k} \right)^{\frac{1}{n}}$$

(3-21a)

o bien con la ecuación

$$h_i = \frac{k}{D_s} (0.027) Re^{0.8} Pr^{0.4} \left(\frac{\mu}{\mu_w} \right)^{0.14} \quad (3-22a)$$

corrigiendo h_i por área

$$\frac{h_{io}}{\theta_e} = \left(\frac{h_i}{\theta_e} \right) \left(\frac{D_s}{D_o} \right) \quad (3-23)$$

D_o = diámetro exterior del tubo

Para el lado de la coraza:

$$h_o = \frac{k}{D_s} 1.13 C \left(\frac{D G_{max}}{\mu} \right)^{1/3} \left(\frac{C_p \mu}{k} \right)^{1/3} \left(\frac{\mu}{\mu_w} \right)^{0.14} \quad (3-20b)$$

$$\frac{h_o}{\theta_e} = 1.13 \frac{k}{D_s} C \left(\frac{C_p \mu}{k} \right)^{1/3} \left(\frac{D G_{max}}{\mu} \right)^{1/3} \quad (3-21b)$$

o bien con la ecuación

$$h_o = \frac{k}{D_s} (0.36) Re^{0.86} Pr^{0.4} \left(\frac{\mu}{\mu_w} \right)^{0.14} \quad (3-22b)$$

Los factores C_t y θ_e pueden ser evaluados conociendo las viscosidades de los fluidos (μ_w), evaluadas a la temperatura de pared t_w (inciso e de este capítulo) para descontar - corregir los coeficientes por viscosidad.

Tubos

$$h_{io} = \left(\frac{h_{io}}{\theta_e} \right) \theta_e \quad (3-24a)$$

Coraza

$$h_o = \left(\frac{h_o}{\theta_e} \right) \theta_e \quad (3-24b)$$

La corrección por viscosidad se hace principalmente para fluidos con viscosidad mayor a 1.0 cP. Para fluidos no viscosos la desviación de flujo isotármico durante el enfriamiento o enfriamiento no introduce un error appreciable en el cálculo del coeficiente de transferencia de calor. Cuanto la temperatura de la pared del tubo difiere appreciablemente de la temperatura crítica del fluido controlante y el fluido controlante es viscoso, el valor neto de

$\theta = (\mu/\mu_0)^{0.19}$ debe tomarse en cuenta.

i) Cálculo y corrección del coeficiente total.

Con los coeficientes individuales calculados se hace una combinación de ellos para obtener el llamado coeficiente total límítico que incluye la resistencia de la pared.

$$U_0 = \frac{1}{\frac{1}{R_m} + \frac{1}{R_0}} \quad (\text{coeficiente límítico}) \quad (3-25)$$

$$R_m = \frac{x}{k} \quad (3-26)$$

donde

R_m = resistencia de pared

x = espesor de pared

k = conductividad térmica del material

Este coeficiente límítico se corrige posteriormente con un factor de incrustación en el equipo. En el anéndice se puede consultar la tabla no. 7 para valores de incrustación de varios fluidos.

$$U_D = \frac{1}{\frac{1}{R_D} + \frac{1}{U_0}} \quad (\text{coeficiente surio}) \quad (3-27)$$

R_D = factor de incrustación

$$R_D = R_{D1} + R_{D2} \quad (3-28)$$

R_{D1} = factor de incrustación para el fluido del lado de los tubos.

R_{D2} = Factor de incrustación para el fluido del lado de la coraza.

j) Cálculo del área de transferencia mínima necesaria.

Este área se calcula con la ecuación del balance de energía introduciendo el valor del coeficiente total súcio U_D .

$$A_{\min} = \frac{Q}{U_D(\text{LMTD})} \quad (3-29)$$

En este punto se comprobaba si el equipo es adecuado o no, según la comparación del área mínima necesaria con el área pronosticada acuerdo al tamaño del equipo

$$A_{\text{prop}} = n_t A_t L_t \quad (3-30)$$

La aceptación del resultado o la modificación del diseño, toma en cuenta esta comparación:

$$\text{Si } A_{\min} > A_{\text{prop}}$$

Esto quiere decir que falta área y por tanto el equipo es insuficienteudiéndose tomar las siguientes medidas:

- a) Aumentar la longitud de tubos
- b) Aumentar el número de tubos
- c) Aumentar los pasos en los tubos (si ΔP_t es pequeña y h_f controla)
- d) Aumentar los pasos en la coraza (si ΔP_s es pequeña y h_o controla)
- e) Disminuir distancia entre mamparas.

$$\text{Si } A_{\min} < A_{\text{prop}}$$

Esto significa que el diseño es aceptable si el porcentaje de exceso no rebasa el 10 %. Si es mayor, siempre existe la posibilidad de un arreglo menor.

La decisión acerca del aumento o la disminución del área de transferencia no es arbitraria, tiene que ser hecha en base al equilibrio entre la transferencia de calor y la

fricción. La caída de presión que experimenta cada uno de los fluidos a su paso por el equipo puede calcularse como:

Tubos

$$\Delta P_t = \frac{f G_t^2 L_t N_t}{5.28 \times 10^6 D_e S \phi_s} \quad (3-31a)$$

f = factor de fricción (ft^2/in^2)

G_t = masa velocidad ($\text{lb}_m/\text{hr ft}^2$)

L_t = longitud de tubos (ft)

S = densidad relativa

ϕ_s = factor de corrección por viscosidad

D_i = diámetro interior de tubo

ΔP_t = caída de presión (lb/in^2)

N_t = número de pasos en tubos

Coreza

$$\Delta P_s = \frac{f G_s^2 ID_s (N+1)}{5.28 \times 10^6 D_e S \phi_s} \quad (3-31b)$$

f = factor de fricción (ft^2/in^2)

G_s = masa velocidad ($\text{lb}_m/\text{hr ft}^2$)

ID_s diámetro interior de coreza (ft)

S = densidad relativa

ϕ_s = factor de corrección por viscosidad

D_{eq} diámetro equivalente (ft)

ΔP_s = caída de presión (lb/in^2)

$N+1$ = número de cruces (L_t/B)

La caída de presión permisible en un cambiador, es la máxima carga que puede soportar el fluido al cesar por el mismo. Existiría por lo tanto, una caída de presión permisible para el lado de los tubos y otra para el lado de la corriente.

La caída de presión permisible involucra consideraciones de todo el proceso, en que el cambiador puede ser un equipo

secundario o principal. La selección de la caída de presión permisible óptima para cada fluido, será aquella que equilibre la inversión inicial de los costos de operación ya que, a mayor caída de presión el cambiador será de mayor tamaño y por lo mismo más económico, pero los costos de operación serán más altos.

Caida de presión por retorno en el lado de los tubos.

Además de la caída de presión en la parte recta de los tubos, evaluada con la ecuación 3-31a, es necesario evaluar la pérdida de carga por las constantes expansiones y contracciones que sufre el área de flujo por las salidas del fluido en cabezales en los cambios de paso. Esta caída se puede evaluar con la siguiente expresión:

$$\Delta P_r = \frac{4N_t}{S} \frac{V^2}{8g} \frac{62.5}{144} \quad (3-32)$$

g' = aceleración de la gravedad (ft^2/seg^2)

N_t = número de pasos en los tubos

S = gravedad específica

V = velocidad (ft/seg)

ΔP_r = caída de presión por retorno (lb/in^2)

Cuando se tienen varios pasos por el lado de los tubos, la caída de presión total para los tubos será

$$\Delta P_{\text{tot}} = \Delta P_t + \Delta P_r \quad (3-33)$$

Las siguientes son relaciones empíricas para calcular la caída de presión a diferentes renfremes de flujo:

Dentro de tubos

sin cambio de fase $Re > 10,000$

$$\Delta P_t = \left(\frac{\mu}{S_g} \right)^{0.2} \left(\frac{w}{n_t} \right)^{0.8} \frac{N_{pt} [(4a/b) + 25]}{[5.7 D]^0.8} \quad (3-34)$$

Note (1)

Sin cambio de fase $2,100 < Re < 10,000$

$$\Delta P = \frac{(H)}{S_g} \left(\frac{\omega}{n_t} \right) \frac{N_{Pr} [(L_o/D_i) + 25] [R_e^{4/3} - 125]}{[S_o(2D_i)]^5} \quad (3-35)$$

Note (1)

Sin cambio de fase $Re < 2,100$

$$\Delta P = \frac{(H)}{S_g} \left(\frac{\omega}{n_t} \right)^{0.56} \left(\frac{\omega}{n_t} \right)^{4/3} \frac{N_{Pr} (L_o)^{4/3}}{(5.62 D_i)^4} \quad (3-36)$$

Coreza

Sin cambio de fase, flujo cruzado

$$\Delta P = \frac{0.316}{S_g} \left(\frac{\omega}{n_t} \right)^2 \frac{L_o}{\beta^2 D_o} \quad (3-37)$$

Sin cambio de fase, flujo paralelo

$$\Delta P = \frac{(H)}{S_g} \left(\frac{\omega}{n_t} \right)^{0.2} \left(\frac{\omega}{n_t} \right)^{4/3} \frac{n_t^{0.366} L_o}{(N_{Pr})^{0.037} (4.912 D_o)^{4/3}} + \frac{0.31 n_t^{0.047} \omega^{0.2} L_o}{D_o (N_{Pr})^{1/6} (4.912 D_o)^{4/3} B_o} \quad (3-38)$$

Notas (2) y (3)

Notes:

- 1) Para tubos en "U", use $(L_o/D_i) + 16$ en lugar de $(L_o/D_i) + 25$
- 2) B_o es igual a la fricción de flujo a través del área de la ventana de la membrana.
- 3) Número de mamparas $N_p = 0.48(L_o/ID)$

μ = viscosidad cp

S_g = gravedad específica referida al agua a 20°C

W = Rango de flujo por tubos (lb/hr)/1000

n_t = Número de tubos por noso (o en paralelo)

N_{pt} = Número de pasos por coraza

L_o = Longitud de coraza, ft

D_i = Diámetro interior de tubos, in

Re = Número de Reynolds, DG/μ

μ_w = Viscosidad del fluido, evaluada a la temperatura de onred, cp

W_o = Rango de flujo nor coraza, (lb/hr)/1000

D_o = Diámetro interior de la coraza, in

S = Espaciamiento entre mamparas, in

S_o = Espesor de celfula fuera del tubo,

$$(0.00187 \mu T / g_c S_g^2)^{1/3}, \text{ ft}$$

g_c = constante gravitacional, (4.18×10^8) ft/hr²

T = flujo nor tubo, lb/hr ft

3.3 Ejemplo de Cálculo

En el proceso de producción de fibra poliéster, el material debe ser descargado del reactor de esterificación hacia unas cortadoras de alta velocidad.

Las cortadoras, para enfriar el material y poder cortarlo tienen una corriente de agua filtrada a baja temperatura - que también sirve como agua de arrastre.

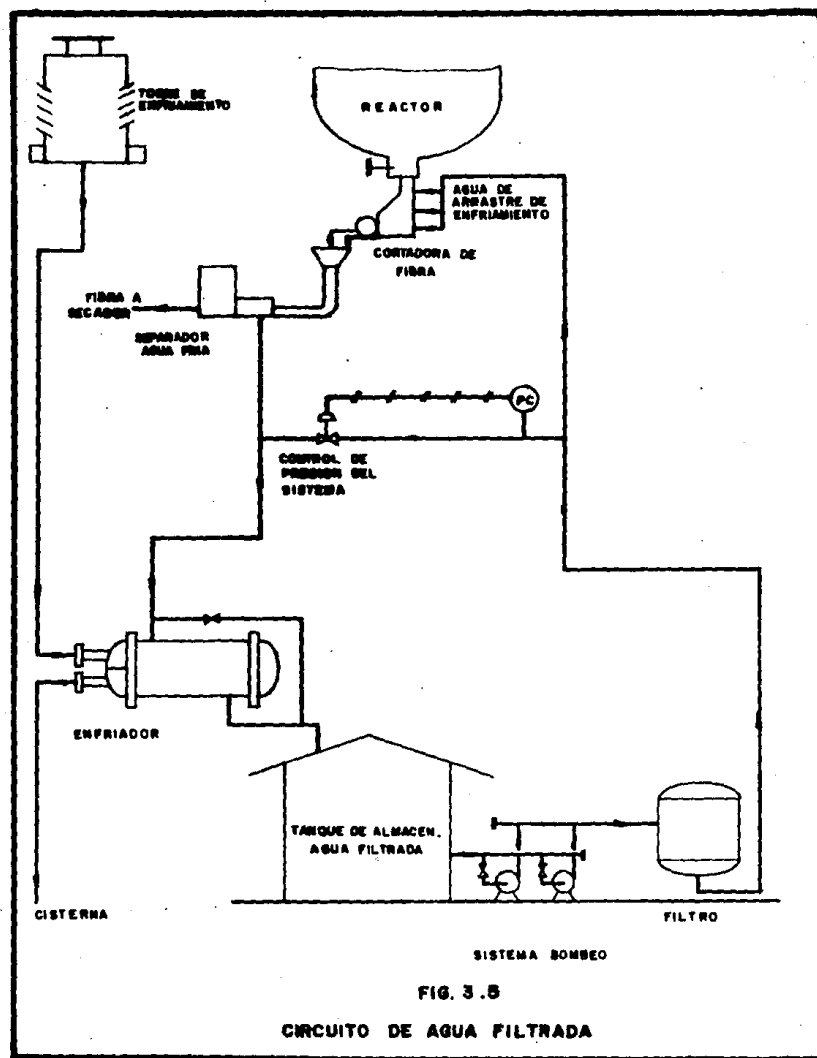
El agua filtrada es bombeada desde 8.5 m, abajo de las cortadoras, y antes de llegar a estas pasa a través de un filtro. El agua filtrada, después de ser separada de los trozos de fibra, retorna por una línea hacia un enfriador y posteriormente cae a un tanque de almacenamiento, del cual es tomada nuevamente por las bombas para iniciar nuevamente su recorrido. Tanto la línea de entrada a cortadoras, así como la línea de retorno se mantienen a presión constante de 3.5 Kg/cm². En la figura 3-5 se muestra el sistema.

El enfriador trabaja con agua de torre (18°C) por los tubos. La torre de enfriamiento se encuentra a 21.5 m sobre el enfriador. Por la coraza circula el agua filtrada, entrando a 42°C y debe ser enfriada a 30°C.

Actualmente el enfriador se encuentra obstruido por la coraza con polvo de fibra, hebra y pedacería de fibra.

El enfriador es un intercambiador de tubo y coraza de 630 tubos; O.D. 3/4"; F.I.G 18; $\frac{D_t}{D_o}$ 15/16"; arreglo triangular longitud de 20 ft; tiene 12 membranas espaciadas cada 20"; un paso por la coraza y dos pasos por los tubos, con un área total de 2474 ft².

Por ser un cambiador de tubos fijos, la limpieza por la coreza solo puede ser realizada por corte de la coreza lo que ha ocasionado el daño de los tubos neriféricos. El daño ha dejado casi inoperante el enfriador por lo que se recomienda su cambio por otro equipo que cumpla con las condiciones de proceso y que permita su pronta limpieza sin daño para sus partes.



3.4 Procedimiento de cálculo.

1.- Balance de energía

Aguas filtradas

$$w = 600 = 299772 \text{ lb/hr}$$

$$T_{ent} = 42^\circ\text{C}$$

$$T_{sal} = 30^\circ\text{C}$$

Aguas de torre

$$w =$$

$$T_{ent} = 10^\circ\text{C}$$

$$\Delta T_{dissal} = 10^\circ\text{C}$$

$$T_{sal} = 10 + 10 = 20^\circ\text{C}$$

Calor que es necesario retirar al agua filtrada

$$w = 299772 \text{ lb/hr} \quad T_1 = 42^\circ\text{C} = 107.6^\circ\text{F} \quad T_2 = 30^\circ\text{C} = 86^\circ\text{F}$$

$$C_p = 1.0 \text{ BTU/lb } ^\circ\text{F} \quad (\text{Fig. no. 2 del anádico})$$

$$\bar{T} = \frac{107.6 + 86}{2} = 96.8^\circ\text{F}$$

$$Q = w C_p \Delta T$$

$$Q = 299772 (1.0) (107.6 - 86) = 6475075.2 \text{ BTU/hr}$$

El flujo de agua necesaria se puede calcular:

$$Q = w C_p \Delta T$$

$$w = Q / C_p \Delta T$$

$$w = 6475075.2 / 1.0 (18) = 3597263 \text{ lb/hr}$$

2.- Localización de los fluidos

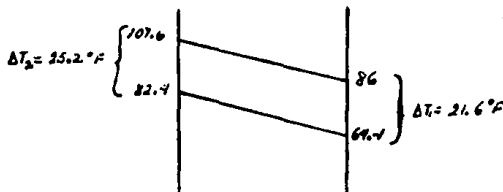
Tomando como base los problemas de incrustación presentes, se opta por colocar los fluidos como en el cambiador original.

De acuerdo al punto número 2 de este procedimiento, se deberá colocar el fluido más incrustante por los tubos — (agua filtrada) pero ésto no es propiamente una incrustación debida al derrito de sales, sino acumulación de

pendencia de cobrarse en todas sus formas (trozos, finos, hebras), si se colocaran por los tubos, occasionaría la obstrucción de estos en corto tiempo.

Tubos: Agua de torre }
 Coraza: Agua filtrada } En contracorriente

3.- Diferencia de temperaturas.



$$LMTD = \frac{\Delta T_s - \Delta T_c}{\ln \left(\frac{\Delta T_s}{\Delta T_c} \right)} = \frac{25.2 - 24.6}{\ln \left(\frac{25.2}{24.6} \right)} = 23.35$$

4.- Suposición del coeficiente total U*

De la tabla No. 4 de apéndice, para un enfriador agua-agua, se tienen valores de coeficiente entre 250-500, se escoge un valor de

$$U* = 250$$

5.- Temperatura calórica*

Como las propiedades de los fluidos manejados (agua-agua) no cambian appreciablemente con las temperaturas de entrada y salida, no es necesario calcular la temperatura calórica.

6.- Argotlo probuesto

Como primera opción, se escoge utilizar un cambiador de calor con tubos de 3/4" de diámetro, con paso de 1" en argotlo triangular, con membranas segmentadas 25% espaciadas - cada 12" con longitud de tubos de 22 ft.

7.- Área de transferencia

$$A = Q / U^* \Delta LMTD$$

$$A = \frac{6475075}{0.250 (22.65)} = 1143.53 \text{ ft}^2$$

El número de tubos de 3/4" de diámetro será

$$n_t = \frac{A}{\alpha_t L_t}$$

$$L_t = 22 ft \quad \alpha_t' = 0.1963 \text{ ft}^2/\text{ft}^2 \quad (\text{Tabla No. 6 del apéndice})$$

$$n_t = \frac{1143.53}{0.1963 (22)} = 291.97 \approx 292$$

De la Tabla No. 5 del apéndice para tubos de 3/4", paso de 1", arreglo triangular, 1 paso por los tubos, 1 paso por la coraza se selecciona la siguiente cuenta de tubos.

$$n_t = 343$$

$$ID_{coraza} = 21 \frac{1}{4} "$$

Hasta este punto se tiene:

7.1 Balance de energía

$$Q = 6475075 \text{ BTU/hr}$$

7.2 Arreglo de los fluidos

Tubos: Agua de torre

Coraza: Agua filtrada.

$$7.3 LMTD = 23.35$$

$$7.4 U^* = 250$$

7.5 Arreglo inicial: 343 tubos de 3/4" de diámetro, arreglo triangular, paso de 1", 22 ft de largo, 1 paso por los tubos, 1 paso por la coraza, coraza de 21 1/4" ID, Mas orzas esenciadas cada 12"

8.- Cálculo de los coeficientes de transferencia.

Tubos: Agua de Torre

$$\bar{T} = \frac{107.6 + 86}{2} = 96.8^{\circ}\text{F}$$

$$C_p = 1.0 \text{ BTU/lb } ^{\circ}\text{F} \quad (\text{Fig. No. 2})$$

$$\mu' = 0.65 \text{ cp} \quad (\text{Fig. No. 4})$$

$$k' = 0.389 \text{ BTU/lb } \text{ ft}^{-2} (\text{°F/ft})$$

(Tabla No. 3)

$$\alpha_f = \frac{n_f}{144} \frac{\alpha'_f}{N_2}$$

$$N_2 = 3.43$$

$$\alpha'_f = 0.2679 \quad (\text{Tabla No. 6})$$

$$N_2 = 1$$

$$\alpha_f = \frac{3.43 (0.2679)}{144 (1)} = 0.638$$

$$G_t = \frac{\omega}{\alpha_f}$$

$$\omega = 299720 \text{ lb/ft}$$

$$\alpha_f = 0.638$$

$$G_t = \frac{299720}{0.638} = 469862.0$$

Coraza: Agua filtrada

$$\bar{E} = \frac{82.4 + 68.4}{2} = 73.9^{\circ}\text{F}$$

$$C_p = 1.0 \text{ BTU/lb } ^{\circ}\text{F}$$

$$\mu' = 0.95 \text{ cp}$$

$$k' = 0.356 \text{ BTU/lb } \text{ ft}^{-2} (\text{°F/ft})$$

$$\alpha_s = \frac{I D \ C \ B}{144 \ P_f \ N_s}$$

$$ID = 2.625 \text{ in}$$

$$C = P_f - D_o = 1 - \frac{3}{4} = \frac{1}{4}$$

$$B = 1.2'' \quad P_f = 1'' \quad N_s = 1$$

$$\alpha_s = \frac{2.625 (0.25) (1)}{144 (1) (1)} = 0.492$$

$$G_s = \frac{\omega}{\alpha_s}$$

$$\omega = 359726.3$$

$$\alpha_s = 0.492$$

$$G_s = \frac{359726.3}{0.492} = 713860.4$$

Se puede observar que el valor de G en los tubos es pequeño, pero en la coraza está creci en el valor deseado. Debemos mejorar la velocidad del fluido por los tubos nor lo que aumentaremos el número de pasos por los tubos sin hacer cambios en la coraza.

Tubos: agua de torre

$$n_t = 2$$

Coraza: agua filtrada

$$n_s = 1$$

Como se han introducido 2 pasos por los tubos, debemos corregir el LMTD.

$$\text{LMTD}_{\text{corr}} = \text{LMTD} (F_T)$$

El factor de corrección (F_T) se puede calcular con la ecuación 3-6 ó recurriendo a las figuras 8 a 16 del apéndice, en donde se encuentra graficado el factor F_T para - intercambiadores con varios pasos por los tubos y/o coraza. Usando la figura No. 12

$$P = \frac{T_2 - T_1}{T_1 - T_2}$$

$$R = \frac{T_1 - T_2}{T_2 - T_1}$$

$$T_1 = 107.6^\circ\text{F}$$

$$T_2 = 86^\circ\text{F}$$

$$Z_1 = 64.4^\circ\text{F}$$

$$Z_2 = 82.4^\circ\text{F}$$

$$P = \frac{82.4 - 64.4}{107.6 - 86} = 0.416$$

$$R = \frac{107.6 - 86}{82.4 - 64.4} = 1.2$$

$$\left. \begin{array}{l} \text{con } P = 0.416 \\ R = 1.2 \end{array} \right\}$$

Figura No. 12 $F_T = 0.967$

$$\text{LMTD}_{\text{corr}} = 23.35 (0.967) = 20.24$$

La nueva área de transferencia será:

$$A = 6475075/250 (20.24) = 1279.6 \text{ ft}^2$$

ESTA TESIS NO DEBE
SALIR DE LA BIBLIOTECA

El número de tubos:

$$n_t = \frac{1279.6}{0.1963 (22)} = 296.2$$

De la tabla No. 5, para tubos de 3/4", peso de 1", arreglo triangular, 2 pasos por los tubos, 1 paso por la coraza, se tiene la siguiente cuenta de tubos:

$$n_t = 326$$

$$ID_{coraza} = 21 \frac{1}{4}"$$

B'.- Cálculo de los nuevos coeficientes de transferencia.

Tubos $q_f = \frac{326 (0.2679)}{144 (2)} = 0.303$

$$G_c = \frac{299772}{0.303} = 989346.5$$

Aunque G_c aumentó en un 101%, sigue siendo bajo, lo cual sugiere un nuevo incremento en el número de pasos, pero antes, debemos comprobar que este diseño sea capaz de soportar el aumento de velocidad.

tubos: agua de tierra

$$Re = \frac{D_e G_c}{\mu}$$

$$D_e = 0.584 \text{ in} \quad (\text{Tabla No. 6})$$

$$\mu = 0.65 \times 2.42 = 1.573 \text{ lb/hr ft}^2$$

$$Re = \frac{0.584 (989346.5)}{12 (1.573)}$$

$$Re = 30609.1$$

Coraza: agua filtrada

$$Re = \frac{D_e G_s}{\mu}$$

El diámetro equivalente, D_e , se calcula de acuerdo a la siguiente ecuación

$$D_e = \frac{4[(\frac{1}{2}P_c)(a\pi)P_c - \frac{1}{2}\pi d_o^2/4]}{\frac{1}{2}\pi d_o}$$

donde

$$P_c = \text{paso o pitch (in)} = 1 \text{ in}$$

$$d_o = \text{diámetro exterior del tubo (in)} \\ = 0.75 \text{ in.}$$

Coraza (continuación)

$$De = \frac{4[(0.5 \times 1)(0.86)(1.0) - \frac{1}{2} \pi (0.75)^2 \gamma_y]}{\frac{1}{2} \pi (0.75)}$$

$$De = 0.7099 \text{ in}$$

$$\mu = 0.85 \times 2.92 = 2.299 \text{ lb/in ft}$$

$$Re = \frac{0.7099 (813860.4)}{12 (2.299)} = 20942.4$$

Cálculo de los coeficientes

Tubos.

$$h_f = \frac{k}{D_i} (0.027) Re^{0.8} Pr^{0.75} \left(\frac{\mu}{\mu_s} \right)^{0.14}$$

$$\left(\frac{\mu}{\mu_s} \right)^{0.14} = 1.0 \quad D_i = 0.084 \text{ in} = 0.0486 \text{ ft}$$

$$h_f = \frac{0.381}{0.0486} (0.027) (30609.1)^{0.8} \left(\frac{1.0 \times 1.6523}{0.381} \right)^{0.75} (1.0)$$

$$h_f = 1317$$

Corrigiendo por área

$$h_{ia} = h_f \left(\frac{D_i}{d_o} \right) = 1317 \left(\frac{0.084}{0.75} \right) = 1025.5$$

Para la coraza se hace necesario calcular el valor de los coeficientes en flujo paralelo y en flujo cruzado puesto que durante el recorrido del fluido por la coraza, el pasar por la ventana de las membranas, el flujo del fluido es paralelo a los tubos y durante el recorrido entre las membranas, el flujo del fluido es en paralelo de acuerdo al arreglo propuesto.

El efecto neto sobre el valor del coeficiente por la coraza es que un determinado porcentaje del fluido se encontrará en paralelo a los tubos y otro porcentaje en flu-

jo cruzado, y de acuerdo a estos porcentajes, se deben calcular los respectivos coeficientes y calcular el coeficiente total.

Si tomamos como base una parte del cambiador, como se muestra en la figura A, el fluido recorre en flujo paralelo a los tubos una distancia igual a la distancia entre membranas para después seguir en flujo cruzado a los tubos una distancia igual al ID de la coraza, por lo que la distancia total recorrida por el fluido será igual a la suma de la distancia entre membranas más el ID de la coraza.

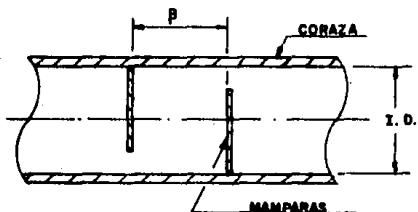


Figura A

Para el ejemplo propuesto:

$$ID = 21.25 \text{ in} \quad P = 12 \text{ in}$$

$$\text{Distancia total} = 21.25 + 12 = 33.25 \text{ in}$$

Por lo que los porcentajes en flujo paralelo y cruzado serán:

$$\text{Paralelo: } \frac{12}{33.25} \times 100 = 33.09\% \quad 33\%$$

$$\text{Cruzado: } (1 - 0.33)(100) = 67\%$$

Una vez calculado este porcentaje, se calcula el área neta en flujo paralelo y flujo cruzado, figura 5.

El área neta de flujo en paralelo será igual al área disponible de la ventana de la mampara, menos el área ocupada por los tubos, que para este ejemplo será igual a:

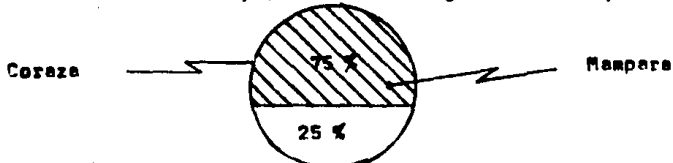


Figura 5

$$\text{Área total} = \frac{(2426)^2}{4} \pi = 359.65 \text{ in}^2$$

$$\text{Área ocupada por los tubos} = \frac{(2426)^2}{4} \pi (326) = 144.02 \text{ in}^2$$

$$\text{Área neta de flujo paralelo} = \frac{359.65 - 144.02}{144} = 1.962 \text{ ft}^2$$

$$\text{Área disponible en flujo paralelo} = 0.25(1.962) = 0.3655 \text{ ft}^2$$

$$\text{Área disponible en flujo cruzado} = 1.962 - 0.3655 = 1.0965 \text{ ft}^2$$

Utilizando la ecuación 1-20, para flujo cruzado

$$h_o = \frac{k}{D} 1.13 C \left(\frac{G_{max}}{\mu} \right)^n \left(\frac{C_{p,N}}{k} \right)^{1/4} \left(\frac{W}{W_0} \right)^{0.17}$$

Con la tabla 1.1 y el arreglo promuesto, se calcula:

$$G_{max} = V_{max} \rho = \frac{W}{A_{min}}$$

Para flujo cruzado

$$V_{max} = V_0 \frac{S_r}{2(S_b - 1)}$$

$$v_o = 7.23 \text{ ft/sec}$$

$$S_r = 1"$$

$$D = 0.15"$$

$$\rho = 62.5 \text{ lb/ft}^3$$

$$S_D = 1"$$

$$V_{max} = 7.23 \frac{1}{2(1-0.75)} = 14.46$$

$$V_{max} = 14.46 \text{ ft/sec} = 52056 \text{ ft/hr}$$

$$G_{max} = 52056 (62.5) = 3253500 \text{ lb/hr ft}^2$$

$$\frac{S_r}{D} = \frac{1}{0.75} = 1.333 \quad \left. \begin{array}{l} C = 0.505 \\ n = 0.554 \end{array} \right\}$$

$$\frac{S_L}{D} = \frac{0.866}{0.75} = 1.155$$

$$h_o = \frac{0.366 \times 12}{0.75} (1.13)(0.505) \left(\frac{0.7099 (813860.4)}{12 (2.299)} \right)^{\frac{0.554}{0.356}} \left(\frac{1.229}{0.356} \right)^{\frac{1}{3}} (1)$$

$$h_o = 1497.09$$

Utilizando la ecuación 1-14, para flujo paralelo:

$$\frac{hD}{K} = 0.027 R_e^{0.8} P_r^{1/3}$$

$$h_o = 0.027 \frac{K}{D_e} R_e^{0.8} P_r^{1/3}$$

Donde

$$K = 0.356$$

$$De = 0.7099$$

$$R_e = \frac{0.7099 (984203.28)}{12 (2.299)} = 25325.71$$

$$h_o = 0.027 \left(\frac{0.356}{0.7099} \right) (25325.71)^{0.8} \left(\frac{10 \times 2.299}{0.356} \right)^{1/3}$$

$$h_o = 94.04$$

Calculamos el coeficiente global con las contribuciones de cada uno de los coeficientes anteriores.

$$\bar{h}_o = 1497.09(0.67) + (84.04)(0.33)$$

$$\bar{h}_o = 1030.78$$

9.- Cálculo y corrección del coeficiente total

$$U_o = \frac{1}{\frac{1}{h_{in}} + \frac{1}{h_o} + R_m}$$

$$R_m = \frac{x}{k}$$

$$x = 0.083 : n = 6.916 \times 10^{-3} \text{ fE}$$

$$K = 29 \text{ BRU/hr Pe}^2 (\%/\text{fE}) \quad \text{Tabla No. 1 del apéndice}$$

$$R_m = \frac{6.916 \times 10^{-3}}{29} = 2.385 \times 10^{-4}$$

$$U_o = \frac{1}{\frac{1}{1025.5} + \frac{1}{1030.78} + 2.385 \times 10^{-4}} =$$

$$U_o = 457.92$$

Corrigiendo por incrustación. De la tabla "o. 7 obtenemos

Tubos: agua de torre tratada

$$R_{ni} = 0.0015$$

Coreza: agua filtrada

$$R_{no} = 0.001$$

$$R_d = 0.0015 + 0.001 = 0.0025$$

$$U_D = \frac{1}{\frac{1}{457.92} + 0.0025} = 213.50$$

10.- Cálculo del área mínima.

$$A_{min} = Q / U_D \text{ LMTD}$$

$$A_{min} = \frac{6475075.2}{213.5 (20.24)} = 1498.42 \text{ ft}^2$$

Área propuesta

$$A_{prop} = n_t s_t L_t$$

$$A_{prop} = 326(0.1963)(22) = 1407.8 \text{ ft}^2$$

Comparando las áreas

$$A_{min} = 1498.42 \quad A_{prop} = 1407.8$$

Se tiene una diferencia de 6.04% del área mínima requerida, podemos irnos al arreglo inmediato superior para absorber esta deficiencia, pero antes comprobaremos que la caída de presión por ambos lados está dentro del límite establecido.

Cálculo de la caída de presión

$$\Delta P_t = \frac{f \frac{G_t^2}{g} L_t N_t}{5.22 \times 10^{10} D_t S F_t}$$

$$f = 0.00017$$

$$G_t = 989346.5 \text{ lb/hr ft}^2$$

$$L_t = 22 \text{ ft}$$

$$N_t = 2$$

$$\Delta P_t = \frac{0.00017(989346.5)^2 (22) (2)}{5.22 \times 10^{10} (0.0496)(1.0)(1.0)} = 2.88 \text{ lb/in}^2$$

Caída de presión en retorno

$$\Delta P_r = \frac{4 N_t}{5} \frac{\gamma^2}{2g'} \frac{62.5}{144}$$

$$g' = 32.2 \text{ ft/sec}^2$$

$$V = 3.61 \text{ ft/sec}$$

$$N = 2$$

$$S = 1.0$$

$$\Delta P_r = \frac{4(2)}{1.0} \frac{(3.61)^2}{2(32.2)} \frac{62.5}{144} = 0.70$$

$$\Delta P_{cor} = 2.89 + 0.70 = 3.59 \text{ lb/in}^2$$

Caida de presion en coraza

$$\Delta P_s = \frac{P G_s^2 ID (N+1)}{0.22 \times 10^6 De S \phi_s}$$

$$P = 0.0017 \text{ lb}^2/\text{ft}^2$$

$$G_s = 813860.4 \text{ lb/hr ft}^2$$

$$ID = 21.25 \text{ in} = 1.770 \text{ ft}$$

$$S = 1.0$$

$$De = 0.1099 \text{ in} = 0.0591 \text{ ft}$$

$$\phi_s = 1.0$$

$$N+1 = \frac{22(12)}{12} = 22$$

$$\Delta P_s = \frac{(0.0017)(813860.4)^2 (1.77) (22)}{0.22 \times 10^6 (0.0591) (1.0) (1.0)} = 14.27 \text{ lb/in}^2$$

Como la caida de presion por la coraza es mayor de 10 lb/in², ajustaremos la distancia entre memoras a un valor menor.

$$B = 13.89 \quad N+1 = \frac{22 \times 12}{13.89} = 19.0$$

Calculando nuevamente la caida de presion por la coraza.

$$G_s = \frac{3047.25 \cdot 3}{0.512} = 70.2540.4$$

$$\Delta P_s = \frac{21.25 (0.25) (13.89)}{144 (1 - 1.0)} = 0.512$$

$$\Delta P_s = \frac{(0.0017)(702590.4)^2(1.77)(19)}{5.22 \times 10^{10} (0.0591)(1.0)(1.0)} = 9.14 \text{ lb/in}^2$$

Calculando nuevamente el equipo nero con el arreglo inmediato superior:

$$ID = 23 \frac{1}{4} \text{ in} \quad n_t = 398 \quad P = 13.89 \quad \text{Longitud} = 22 \text{ ft}$$

Se tienen los siguientes resultados.

$$h_{io} = 875.92$$

$$\bar{R}_o = 1012.06$$

$$U_o = 422.24$$

$$U_D = 205.4$$

$$A_{\min} = 1557.52 \text{ ft}^2$$

$$A_{prop} = 1718.8 \text{ ft}^2$$

$$\Delta P_t = 2.64 \text{ lb/in}^2$$

$$\Delta \sigma_s = 8.37 \text{ lb/in}^2$$

para el ejemplo propuesto se obtuvo un cambiador de calor con las siguientes características: cambiador de calor con área total de 1718 ft²; 398 tubos de 3/4" de diámetro, S'G 14; arreglo triangular con paso de 1"; dos pasos en los tubos, un raso en la coraza; 199 tubos por paso; longitud de 22ft; diámetro de coraza de 23 1/4" con membranas segmentadas 25 % espaciadas cada 13.89".

para este cambiador se propone utilizar los siguientes componentes:

para el cabezal frontal, se propone utilizar el modelo F4-15, este es un modelo multipasos que permite inspeccionar el interior de los tubos con solo retirar su teca. Aunque hay otros modelos con esta cualidad, solo el F4-15 es multipasos y se puede adaptar para integrar el espejo al canal y poder retirar todo el banco de tubos.

para el cabezal posterior se propone utilizar un cabezal flotante que permite rápido acceso a los tubos sin que estos sufran daño. Deberá tomarse en cuenta que mientras más elaborado sea el diseño, más alto será el costo del mismo.

Se puede escoger el modelo RH-16, este cabezal tiene las características necesarias para el orificio deseado además de que su construcción no es relativamente costosa.

La coraza que se puede adaptar a los cabezales elegidos y además cumple con las necesidades del diseño corresponde al modelo CC-10, en donde el arreglo de las membranas corresponderá al modelo CC-1

El equipo calculado cumple con los requerimientos de área de transferencia necesaria de acuerdo al balance de energía.

Comparando el equipo calculado con el que ya existe, la diferencia más notoria es que se consigue un equipo con un 30.5 % de área menor, aun con la longitud mayor (22 ft - contra 20 ft).

Esta diferencia de áreas puede deberse a muchos factores como por ejemplo, la suposición de un coeficiente de transferencia menor al propuesto en el ejemplo, pero como el coeficiente es precisamente una suposición, se puede descartar, ya que bastaría con haber supuesto un coeficiente inicial mayor.

Se mencionó que para el diseño del cambiador se tomó como primer criterio la masa velocidad máxima permisible y en base a este se hicieron las modificaciones necesarias. Esto quiere decir que el arreglo del equipo cumple con esta restricción lo que hace suponer que el cambiador actual fue diseñado con una masa velocidad mucho menor a la máxima permisible lo que ocasiona que el área de transferencia necesaria se vea incrementada por el descenso de la masa - velocidad y el bajo número de Reynolds.

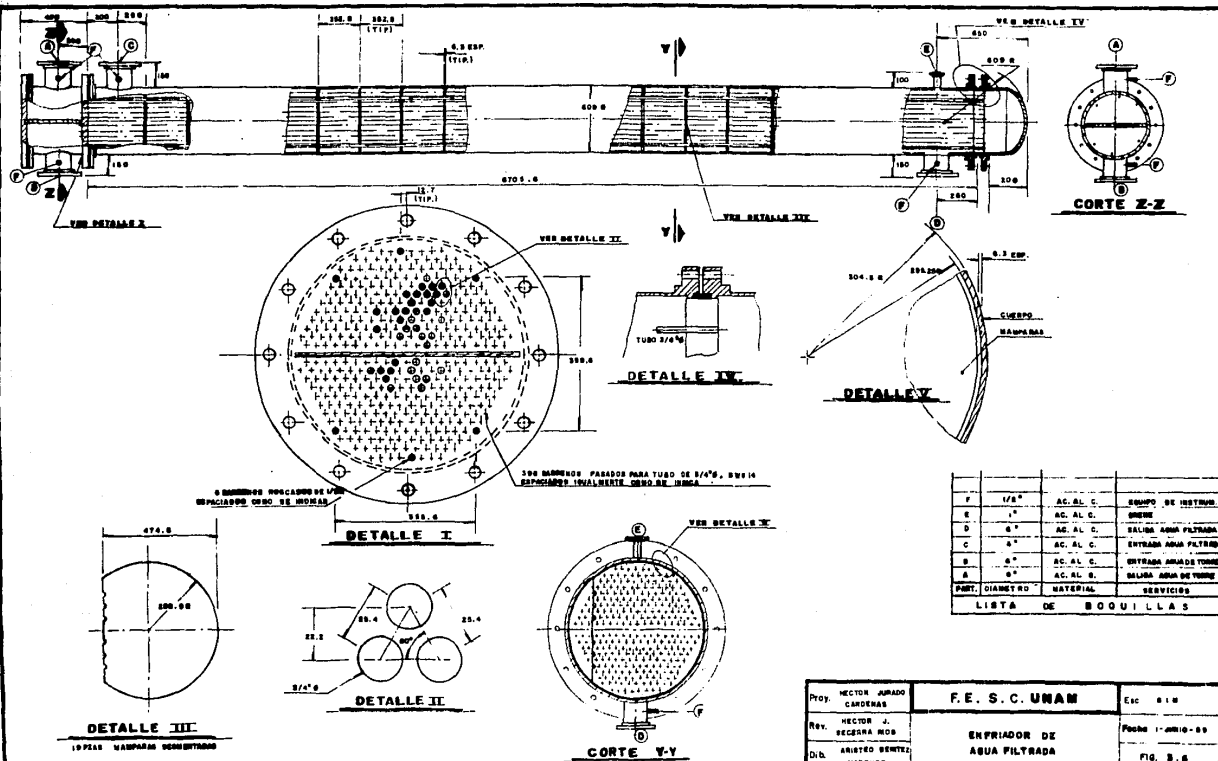
Como una consecuencia de esta baja velocidad, el esfumamiento entre membranas debe aumentarse primero para mantener la velocidad y segundo para que la caída de presión no se vea incrementada.

Por el contrario, si el cambiador actual se hubiera diseñado con una velocidad mayor a la máxima permisible, hubiera resultado en un cambiador menor al actual o con igual tamaño pero con varias pasos tanto en la coraza como en los tubos.

De cualquier manera, lo anterior no quiere decir que un equipo sea mejor que otro, sino que se pone de manifiesto que en el diseño de cambiadores de calor, el criterio o criterios que se tomen en cuenta determinan las características finales del equipo.

Se puede concluir que el cambiador diseñado cumple con los requerimientos de área de transferencia necesaria, se ajusta a los criterios de velocidad y caída de presión propuestos y permite un rápido acceso tanto al interior de los tubos para inspección como también poder retirar todo el banco de tubos sin que esto represente un deterioro para los mismos y la coraza o grandes tiempos fuera de operación para cortar, limpiar y volver a soldar la coraza.

Como última parte del diseño, se muestra en la figura 3.6 el diagrama constructivo del equipo y en la figura 3.7 un ejemplo de la hoja de datos de diseño del mismo, las cuales pueden ser utilizadas como una referencia para presentar un proyecto de diseño de un intercambiador de calor.



F	1/8"	AC. AL. C.	ENTRADA DE AGUA
E	"	AC. AL. C.	OTRO
D	6"	AC. AL. C.	ENTRADA AGUA FILTRADA
C	6"	AC. AL. C.	ENTRADA AGUA FILTRADA
B	6"	AC. AL. C.	ENTRADA AGUA FILTRADA
A	6"	AC. AL. C.	ENTRADA AGUA FILTRADA
PIST. DIAMETRO	MM.	MATERIAL	SERVICIOS
LISTA DE BOQUILLAS.			

PROY. HECTOR APARADO CARMENAS	F. E. S. C. UNAM	Esc. B-18
Rev. HECTOR J. SEGURO MOS	ENFRIADOR DE AGUA FILTRADA	Fecha 1-Abril-89
Dib. ARISTIDES BENTES VARGAS		FIG. B-6

INTERCAMBIADORES DE CALOR
HOJA DE DATOS

CLIENTE:		PROYECTO:		
DIRECCION:		PLANO:		
LOCALIZACION:		FECHA:		
SERVICIO DE LA UNIDAD:		EQUIPO N°:		
TAMAÑO: 24-398 TIPO: HORIZONTAL		SUPERFICIE/ CORAZA 1718		
N.º UNIDADES: 1 CORAZA/ UNIDAD: 1		SUPERFICIE/ UNIDAD 1718		
CAPACIDAD DE LA UNIDAD				
		TUBOS		
10	TIPO DE FLUIDO	CORAZA		
11	TOTAL DE FLUIDO A LA ENTRADA	AGUA FILTRADA	AGUA TORRE	
12	VALOR O.R.	299.772	359.726.3	
13	LÍQUIDO			
14	VAPOR AGUA	299.772	359.726.3	
15	INCIDENCIA SOLAR			
16	FLUJO VAPORIZADO O CONDENSADO			
17	VAPOR CONCEDIDO			
18	DERIVACIÓN RELATIVA DEL LÍQUIDO	1.0	1.0	
19	VISCOSIDAD DE AGUA (CENTÍPO 1000)	0.85 °	2.4 °	
20	PESO MOLÉCULAR DEL VAPOR			
21	CALEOR ESPECÍFICO STU/ hr	1.0		
22	CALEOR LATENTE STU/ kg		1.0	
23	TEMPERATURA DE ENTRADA °	102.6	64.3	
24	TEMPERATURA DE SALIDA °	86	42.1	
25	PRESTO DE OPERADOR PSIG	35	50	
26	NÚMERO DE PASOS	1	2	
27	VELOCIDAD ft/seg.	2.85	3.07	
28	CAUDA DE PRESIÓN PSIG	0.37	2.64	
29				
30	CALEOR INTERCAMBIO - STU/ hr.	6.700.625.2	20.24	
31	COEFICIENTE DE TRANSFERENCIA - BUCO	205.4	LIMPIO 422.2	
			RESISTENCIA POR INCrustación	
CONSTRUCCIÓN				
32	PRESTO DE BISERIO	LOA	60	
33	PRUEBA DE PRESIÓN	LOA	90	
34	TEMPERATURA DE AGUA	°	69	
35	TAMBO DE LAS BOQUILLAS	ENTRADA 6" SALIDA 6"	ENTRADA 6" SALIDA 6"	
36	SERIAS/ PRESTO Y TIPO DE CARA	LEGO R.F.	LEGO R.F.	
37	TIPO DE TUBO 3/4" BWG 19 MIN	LARGÜED 22 FT	ESPACIAMENTO 13.86"	
38	TIPO DE MAMPARAS SEGMENTADAS 25%		TIPO DE MAMPARAS LONG.	
39	CONSTRUCCIÓN - ASME SECCION VI	TEMA CLASE C	ESPECIFICACIÓN DEL FABR.	
40	PESO: g/ CORAZA	ALTO DE AGUA	BANCO DE TUBOS REMOVIBLE SI.	
41				
PARTES MARCADAS RELEVADAS DE ESPESURA (in)				
42	PART E	MATERIAL	ESPESURA	MATERIAL
43	TUBOS	A.C.	0.033"	CUBIERTA - CABEZAL
44	ESPIRAL FIJO	A.C.		ESPIRAL - CABEZAL
45	ESPIRAL FLOTANTE	A.C.		ESPIRAL - CORAZA
46	CORAZA	A.C.	0.325"	CUBIERTA DE LA CORAZA
47	CUBIERTA DE CORAZA			CABEZAL FLOTANTE
48	DISPARTE DE TUBOS	A.C.	0.125"	NOTA 8
49	MAMPARAS	A.C.	0.125"	
50	CABEZAL	A.C.		GRABADOR TIPO:
51	CUBIERTA DE CABEZAL	A.C.		
52	CUBIERTA ESTÁNDAR			TEHA: CFW
53	MAMPARAS LONG.	A.C.		EH-15/55-10/RH-16
54	I.O. CORAZA	23.44	0.125"	
55				
56				
57				

CONCLUSIONES.

El Ingeniero Químico en el ejercicio de su profesión se enfrenta a procesos que involucran fenómenos de transferencia de calor, teniendo la necesidad de diseñar intercambiadores de calor de tubos y corazón. Aunque estos equipos es difícil que no existan en cualquier industria, su diseño se puede complicar, debido a que la información necesaria para el diseño se encuentra dispersa y no se tiene un método general que proporcione un cálculo rápido y seguro del equipo.

La secuencia de diseño que se propone es únicamente una selección lógica de las operaciones necesarias para el cálculo de estos equipos. El método de cálculo de los coeficientes, es solo una de las alternativas existentes. Hay métodos más complicados y exactos. Hay otros más simples e inexactos.

El diseño global aunque onusoso y demostrado para intercambiadores de calor sin cambio de fase, sirve con modificaciones mínimas para condensadores y vaporizadores. Estas modificaciones dependerán del tipo de proceso involucrado.

Una vez hecho el diseño termodinámico, el Ingeniero deberá elegir cada una de las partes que constituirán físicamente el intercambiador de calor. Para dicha elección deberá tener en cuenta aspectos como disponibilidad de espacio, naturaleza de los fluidos, condiciones de operación y costo del conjunto. Para ayudarlo en este propósito, este trabajo describe diversas opciones de los principales componentes internos y externos de los cambiadores de calor.

Toda la información sobre partes de los intercambiadores, se basa en publicaciones de fabricantes especializados

de países más desarrollados que el nuestro.

Debe tomarse en cuenta para la selección de las partes integrantes de estos equipos que el costo de fabricación y la disponibilidad de los mismos juegan un papel muy importante y que no deberán ser dejados de lado.

La selección de partes sumamente elaboradas deberá ser hecha siempre y cuando el factor seguridad o el factor probabilidad sea lo suficientemente importante como para dejar en segundo término al factor costo.

Se debe esclarecer que no se aborda el diseño mecánico en ninguna de sus partes por considerarlo objeto de otra especialidad.

En resumen este trabajo propone una secuencia de cálculo segura y fácil de emplear proporcionando los elementos necesarios para llevar a cabo el diseño termodinámico así como las bases para la correcta selección de las partes constituyentes de los intercambiadores de calor de tubos y coraza.

APENDICE

- Tabla No. 1 Conductividad Térmica de Metales
Tabla No. 2 Conductividad Térmica de Gases y Vapores
Tabla No. 3 Conductividad Térmica de Líquidos
Figura No. 1 Calor Específico de Gases 1 ATM.
Figura No. 2 Calor Específico de Líquidos
Figura No. 3 Calor Latente de vaporización de varios
líquidos
Figura No. 4 Viscosidad de Líquidos 1 ATM
Figura No. 5 Viscosidad de Gases y Vapores 1 ATM
Figura No. 6 Nomograma General de Densidad
Figura No. 7 Factor F_c de Temperatura Cálida
Figura No. 8 Factor de Corrección LMTD, I división por
la coraza, Cualquier número de pasos por
los tubos.
Figura No. 9 Factor de Corrección LMTD, Flujo Dividido
en Coraza, 2 pasos en los tubos.
Figura No. 10 Factor de Corrección LMTD, un Fluido Mez
clado, otro sin mezclar
Figura No. 11 Factor de Corrección LMTD, Ambos Fluidos
sin Mezclar
Figura No. 12 Factor de Corrección LMTD, 1-2
Figura No. 13 Factor de Corrección LMTD, 2-4
Figura No. 14 Factor de Corrección LMTD, 3-6
Figura No. 15 Factor de Corrección LMTD, 4-8
Figura No. 16 Factor de Corrección LMTD, 5-8
Figura No. 17 Factor de Corrección LMTD, 6-12
Figura No. 18 Curva de Transferencia de Calor por el
lado de los tubos

**Figura No. 19 Coeficiente de transferencia de Calor,
agua dentro de tubos**

**Figura No. 20 Coeficiente de Transferencia de Calor -
para agua en intercambiadores con mempa-
res sedimentados del lado de la corriente**

**Table No. 4 Valores aproximados de los Coeficientes
Totales**

Table No. 5 Tablas de Conteo de Tubos

Table No. 6 Características de Tubing

Table No. 7 Factores de Obstrucción

Table No. 8 Tabla de Corrosión

T A B L A N o . 1

CONDUCTIVIDAD TERMICA DE METALES

MATERIAL	TEMPERATURA °F												BTU/(h)(pie ²)/(°F/pie)	
	200	300	400	500	600	700	800	900	1000	1100	1200	1300	1400	1500
ALUMINIO (RECOCIDO)														
Tipo 1000-O	126	124	123	122	121	120	118							
Tipo 3003-O	111	111	111	111	111	111	111							
Tipo 3004-O	97	98	99	100	102	103	104							
Tipo 6061-O	102	103	104	105	106	106	106							
ALUMINIO (TEMPLADO)														
Tipo 1100 (todo templado)	123	122	121	120	118	118	118							
Tipo 3003 (todo templado)	96	97	98	99	100	102	104							
Tipo 3004 (todo templado)	97	98	99	100	102	103	104							
Tipo 6061 T4 y T6	95	96	97	98	99	100	102							
Tipo 6063 T5 y T6	116	116	116	116	116	115	114							
Tipo 6063 T42	111	111	111	111	111	111	111							
FIERRO FUNDIDO	31	31	30	29	28	27	26	25						
ACERO AL CARBON	30	29	28	27	26	25	24	23						
ACERO INOXIDABLE AUSTENITICO														
18% Cr, 8% Ni	9.3	9.8	10	11	11	12	12	13	13	14	14	14	15	15
25% Cr, 20% Ni	7.8	8.4	8.9	9.5	10	11	11	12	12	13	14	14	15	15
ADMIRALTY	70	75	79	84	89									
COPRO	225	225	224	224	223									
ALEACIONES DE COBRE-NIQUEL														
90% Cu, 10% Ni	30	31	34	37	42	47	49	51	53					
80% Cu, 20% Ni	22	23	25	27	29	31	34	37	40					
70% Cu, 30% Ni	18	19	21	23	25	27	30	33	37					
30% Cu, 70% Ni Aleación 400	15	15	16	16	17	18	18	19	20	20				
MUNTZ	71													
NIQUEL - CROMO - FIERRO														
Aleación 600	9.4	9.7	9.9	10	10	11	11	11	12	12	12	13	13	13
NIQUEL - FIERRO - CROMO														
Aleación 800					9.1				11.6					14.6
TITANIO														
Grado 3	11.3		11.5		11.5		11.5							

TABLA No. 2
CONDUTIVIDADES TÉRMICAS DE GASES Y VAPORES

$$k = \text{BTU}/(\text{hr})(\text{ft}^2)(^{\circ}\text{F ft})$$

Substancia	TEMPERATURA $^{\circ}\text{F}$							
	-227	-149	37	122	212	393	577	757
Acetona			.0057	.0075	.0099	.0157		
Acetileno		.0056	.0108	.0140	.0172			
Aire	.0040	.0091	.0140		.0194	.0224	.0260	
Amoníaco		.0097	.0126		.0192	.0210	.0245	
Argón		.0063	.0095		.0173	.0143	.0171	.0501
Benceno			.0052	.0075	.0103	.0166		
n-Butano			.0071		.0135			
iso-Butano			.0036		.0139			
Móxido de Carbono			.0064	.0074		.0173	.0177	.0229
Disulfuro de carbono				.0040				
Monóxido de Carbono				.0134				
Tetracloruro de Carbono					.0047			
Cloro					.0043			
Cloroformo					.0038			
Ciclohexano					.0047	.0058	.0081	
						.0094		
Triclorodifluorometano			.0048	.0064	.0080	.0115		
Etano								
Acetato de Etilo			.0055	.0106		.0175		
Alcohol Etílico					.0074	.0096		
Cloruro de Etilo						.0176		
Etil Ester						.0095		
Etileno							.0145	
Helio	.0398	.0612	.0413		.0913			

TABLA No. 3 (Continuación)

TABLA N°3 CONDUCTIVIDAD TERMICA DE LIQUIDOS

$$K = BTU / (h) (Pis^2) (\text{°F/Pis})$$

Líquido	°F	k	Líquido	°F	k
Acetato de etilo	68	0.104	Bromobenceno	86	0.074
Ricino	812	0.100	Dióxido de azufre	215	0.079
Alcohol	68	0.093	85	0.077	
Oliva	68	0.097	86	0.111	
Acetato de etilo	812	0.093	Bisulfuro de carbono	86	0.093
Alcohol 100%	58	0.101	Tetracloruro	167	0.088
60%	68	0.107	152	0.107	
40%	68	0.176	Cloruro de calcio, salmuera 30%	86	0.214
20%	68	0.224	18%	86	0.214
100%	128	0.281	Cloruro de sodio, salmuera 25.0%	86	0.31
Benceno	68	0.087	12.5%	86	0.31
Bromuro	140	0.086	Clorobenceno	50	0.083
Eter	68	0.080	Cloroformo	100	0.080
Yoduro	104	0.064	Cymene (para)	96	0.078
Acetato de amilo	167	0.063	Decano (n-)	140	0.083
Alcohol (n-)	50	0.054	Diclorodifluorometano	20	0.057
(iso-)	68	0.054	50	0.053	
Acetona	50	0.052	90	0.058	
Ácido acético 100%	68	0.052	100	0.058	
50%	68	0.055	140	0.043	
Ácido esteárico	68	0.078	Dicloroetano	122	0.082
Ácido láurico	212	0.078	Diclorometano	5	0.111
Ácido oleico	212	0.102	86	0.095	
Ácido palmítico	212	0.089	Eter de petróleo	167	0.073
Ácido sulfúrico 90%	68	0.092	Etilen glicol	38	0.153
60%	68	0.099	Gavolina	86	0.078
30%	32	0.099	Glicerina 100%	86	0.164
Agua	68	0.099	80%	86	0.079
Alcohol alílico	77-86	0.104	Hexano (n-)	212	0.075
Alcohol heptílico (n-)	167	0.091	Heptano (n-)	86	0.081
Alcohol hexílico (n-)	86	0.093	Hexano	96	0.073
Alcohol metílico 100%	68	0.090	Kerosena	140	0.074
60%	68	0.124	Mercuro	86	0.086
50%	68	0.154	Nitrobenceno	176	0.081
40%	68	0.190	Nitrometano	86	0.088
30%	68	0.234	Nonano (n-)	140	0.123
Cloruro	5	0.111	Octano (n-)	140	0.082
Alcohol propílico (n-)	86	0.089	Paraldehído	140	0.061
Alcohol (iso-)	167	0.092	Pentano (n-)	86	0.054
Amoníaco	86	0.091	Pentano	212	0.079
Amoníaco, acuoso, 26%	167	0.090	Percloroetileno	86	0.079
Anilina	140	0.090	Sodio	122	0.092
Benceno	140	0.090	Tolueno	410	0.065
Cyclo Hexano	40	0.089	Tricloroetano	86	0.086
	100	0.081	Tricloroetileno	167	0.084
	250	0.080	Turpentino (aguarrás)	122	0.077
Etil Bencano	32	0.080	140	0.074	
Formal deshid.	350	0.045	100	0.074	
Metil Cetano	110	0.085	120	0.074	
	140	0.132	140	0.074	
	140	0.088	Xileno (orto)	86	0.096
	140	0.087	Xileno (meta-)	86	0.097
	250	0.067			
			Xileno (pero)	86	0.078
				176	0.085
				350	0.077
				350	0.088
				230	0.065
				230	0.075
				260	0.075

CALOR ESPECIFICO - GASES 1 ATM.

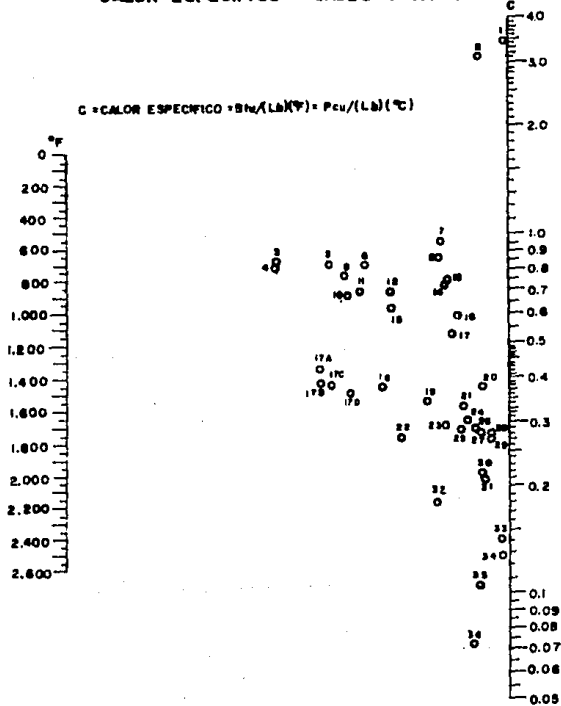


FIG. N ° 1

CALORES ESPECÍFICOS DE GASES A 1 ATMOSFERA

Nº	G A S	RANGO °F
10	Acetileno	32- 390
15	Acetileno	390- 750
16	Acetileno	750-2550
27	Aire	32-2550
12	Amoníaco	32-1110
14	Amoníaco	1110-2550
18	Bióxido de Carbono	32- 750
24	Bióxido de Carbono	750-2550
26	Monóxido de Carbono	32-2550
32	Cloro	32- 390
34	Cloro	390-2550
3	Etano	32- 390
5	Etano	390-1110
8	Etano	1110-2550
4	Etileno	32- 390
11	Etileno	390-1110
13	Etileno	1110-2550
17B	Freón-11	32- 300
17C	Freón-21	32- 300
17A	Freón-22	32- 300
17D	Freón-113	32- 300
1	Hidrógeno	32-1110
2	Hidrógeno	1110-2550
35	Bromuro de Hidrógeno	32-2550
30	Cloruro de Hidrógeno	32-2550
20	Fluoruro de Hidrógeno	32-2550
36	Yoduro de Hidrógeno	32-2550
19	Sulfuro de Hidrógeno	32-1290
21	Sulfuro de Hidrógeno	1290-2550
5	Metano	32- 570
6	Metano	970-1290
7	Metano	1290-2500
25	Oxido Nitrico	32-1290
28	Oxido Nitrico	1290-2950
26	Nitrógeno	32-2550
23	Oxígeno	32- 930
29	Oxígeno	930-2550
33	Asufre	570-2550
22	Bióxido de Asufre	32- 750
31	Bióxido de Asufre	750-2550
17	Agua	32-2550

CALOR ESPECIFICO DE LIQUIDOS

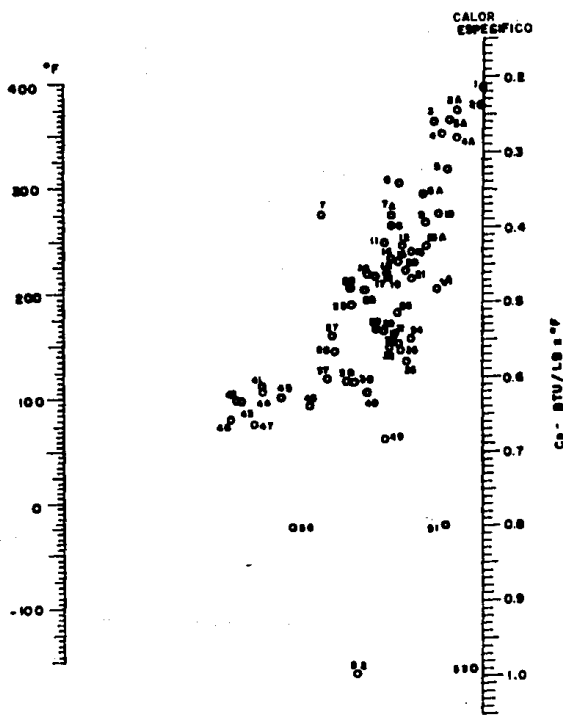


FIG. N° 2

CALORES ESPECÍFICOS DE LIQUIDOS

NO	LIQUIDO	RANGO °F
29	Acido Acético 100 %	32-176
32	Acetona	68-122
52	Amoníaco	- 94-122
37	Alcohol Amílico	- 56- 77
26	Acetato de Amilo	32-212
30	Anilina	32-266
23	Benceno	50-176
27	Alcohol Bencílico	- 4- 86
10	Cloruro de Bencílo	- 22- 86
49	Salmuera 25 % CaCl ₂	- 40- 68
51	Salmuera 25 % NaCl	- 40- 68
44	Alcohol Butílico	32-212
2	Bisulfuro de Carbono	-148- 77
3	Tetracloruro de Carbono	50-140
8	Clorobenceno	32-212
4	Cloroformo	32-122
21	Decano	-112- 77
6A	Dicloroetano	- 22-140
5	Diclorometano	- 40-122
15	Difenilo	176-248
22	Difenilmetano	86-212
16	Oxido de Difenilo	32-392
16	Doutharm A	32-392
24	Acetato de Etilo	- 58- 77
42	Alcohol Etílico 100 %	86-176
46	Alcohol Etílico 95 %	68-176
50	Alcohol Etílico 50 %	68-176
25	Etíl Benceno	32- 20
1	Bromuro de Etilo	41- 75
13	Cloruro de Etilo	- 22-104
36	Eter Etílico	-148- 77
7	Yoduro de Etilo	32-212
39	Etílen Glicol	- 40-392
2A	Freón-11	- 4-158
6	Freón-12	- 40- 59
4A	Freón-21	- 4-158
7A	Freón-22	- 4-140
3A	Freón-113	- 4-158
38	Glicerina	- 40- 66
26	Heptano	32-140
35	Hexano	-112- 68
48	Acido Clorhídrico 30 %	68-212
41	Alcohol Isosálico	50-212
43	Alcohol Isobutílico	32-212
47	Alcohol Isopropílico	- 4-122
31	Eter Isopropílico	-112- 68
40	Alcohol Metylico	- 40- 68
13A	Cloruro de Metilo	-112- 68
14	Nefaleno	194-392
12	Nitrobenzeno	32-212
34	Nonano	- 58- 77
33	Octano	- 58- 77

NR	L I Q U I D O	R A N G O °P
3	Percloroetileno	- 22-284
45	Alcohol Propilico	- 4-212
20	Piridina	- 58- 77
9	Acido Sulfúrico 98 %	50-113
11	Síxido de Azufre	- 4-212
23	Tolueno	32-140
53	Aguas	50-392
19	Xileno Orto	32-212
18	Xileno Meta	32-212
17	Xileno Para	32-212

CALOR LATENTE DE VAPORIZACION DE VARIOS LIQUIDOS

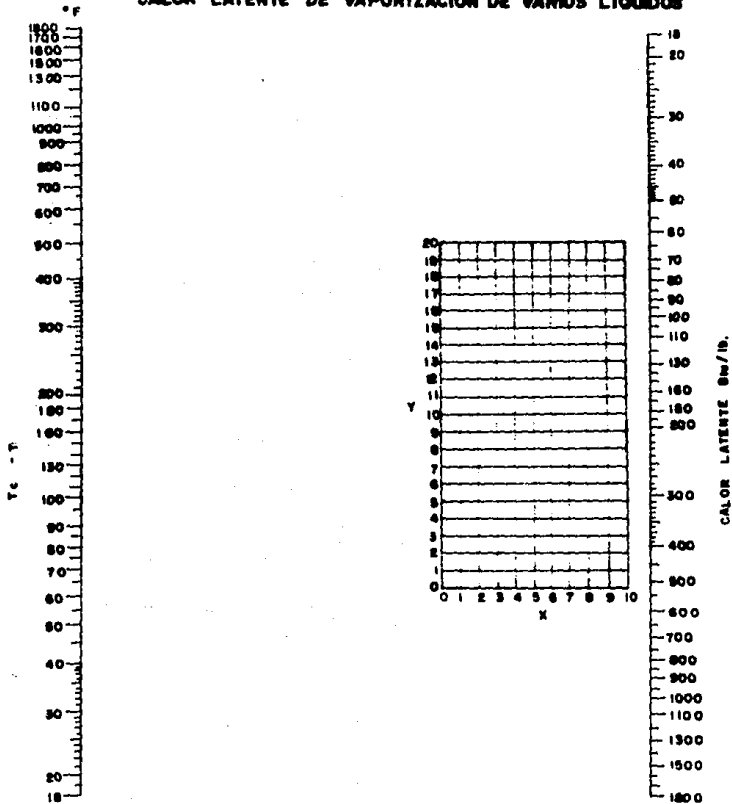


FIG. N° 3

CALORES LATENTES DE VAPORIZACION

LÍQUIDO	T ₀ °C	RANGO T _c -T _f °F	X	Y
Ácido acético	609	212 - 392	5.6	11.9
Acetona	455	234 - 464	4.0	10.3
Amoníaco	272	176 - 392	3.2	3.8
Alcohol amílico (-iso)	585	392 - 572	6.0	9.4
Benceno	552	50 - 572	3.6	12.5
-nButano	307	124 - 158	2.6	11.6
Butano		158 - 392	3.6	11.7
iso-Butano	273	167 - 345	3.4	12.1
Butil alcohol (-n)	548	337 - 572	2.0	9.8
Butil alcohol (-iso)	509	302 - 392	1.7	9.7
Butil alcohol		392 - 517	6.9	7.7
Butil alcohol (-sec)	508	337 - 517	5.6	8.8
Butil alcohol (-ter)	455	392 - 392	3.9	9.5
Síxido de carbono	91	50 - 212	3.3	11.1
Pisulfuro de carbono	522	294 - 527	3.5	13.7
Tetracloruro de carbono	542	50 - 572	3.6	17.3
Cloro	291	212 - 392	1.5	14.5
Cloroformo	505	345 - 505	3.7	15.7
Dicloroetileno (-cis)	469	392 - 572	9.4	13.3
Dimetil amina	329	256 - 392	4.9	8.8
Difenil	602	50 - 90	2.2	15.2
Difenil		50 - 302	3.8	15.2
Difenilo		302 - 752	0.8	12.8
Oxido de difenilo	652	176 - 643	3.1	15.5
Oxido de difenilo		643 - 932	6.2	14.5
Etano	895	50 - 265	4.0	9.8
Alcohol etílico	477	50 - 294	3.1	7.7
Alcohol etílico		135 - 482	4.7	6.3

LÍQUIDO	T _c °F	Rango T _c -T _f °F	X	Y
Etil Amina	362	266 - 446	3.0	9.0
Cloruro de Etilo	369	302 - 446	4.1	12.2
Etileno	53	53 - 172	3.1	9.3
Etilano		122 - 256	4.0	0.6
Ster Etilico	382	59 - 266	3.1	12.7
Eter Etilico		266 - 464	1.8	12.7
Freón 11	388	158 - 482	3.6	17.3
Freón 12	232	140 - 302	3.9	17.2
Freón 21	325	176 - 427	3.3	15.4
Freón 22	205	122 - 320	4.0	15.1
Freón 113	417	194 - 492	3.4	18.7
Freón 114	293	113 - 302	3.5	18.7
-n-Hexano	512	50 - 517	3.4	13.5
-n-Hexano	456	131 - 464	3.4	13.7
Metano	116	50 - 194	5.2	9.3
Alcohol Metílico	464	68 - 285	3.3	5.3
Alcohol Metílico		283 - 464	3.6	4.7
Metil Amina	315	212 - 392	4.1	6.5
Cloruro de Metilo	226	61 - 230	2.6	11.1
Cloruro de Metilo		230 - 247	5.2	11.2
Formato de Metilo	417	302 - 482	1.8	11.3
Cloruro de Metileno	421	302 - 482	1.0	13.7
Oxido Nitroso	37	43 - 77	1.2	9.0
Oxido Nitroso		77 - 156	5.6	12.0
n-Ceto	565	61 - 572	3.6	13.5
n-Entano	386	59 - 482	3.3	12.7
iso-Parafina	370	50 - 397	3.7	12.7

LÍQUIDO	T _c °C	Rango T _c -T °F	X	Y
Propano	205	59 - 482	4.3	11.0
Alcohol n-Próxilico	507	77 - 517	2.1	9.0
Alcohol iso-Próxilico	456	392 - 482	3.7	8.3
Piridina	552	446 - 651	2.3	12.5
Síxido de Azufre	314	112 - 392	2.0	12.3
Tolueno	611	212 - 572	1.5	13.7
Tricloro Etíleno	520	355 - 592	6.0	15.9
Agua	707	57 - 275	3.3	1.4
Agua		275 - 715	4.2	0.0

EJEMPLO: 8800 KWh a 220°F.

$$T_c - T = 707 - 220 = 487 \text{ y el calor}$$

latente por libra es 970 KWh.

VISCOSIDAD DE LIQUIDOS A 1 ATM.

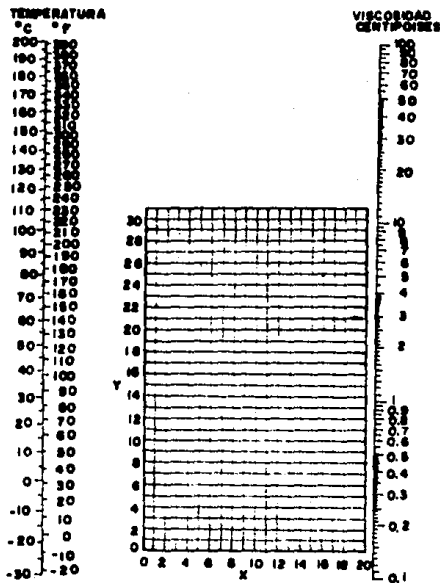


FIG. N° 4

VISCOSIDADES DE LIQUIDOS

Líquido	X	Y	Líquido	X	Y
Acetaldehido	15.2	4.8	Cloruro Estánico	13.5	12.8
Acetato de Amilo	11.8	12.5	Cresol, meta	2.5	20.8
Acetato de Butilo	12.3	11.0	Dibromoetano	12.7	15.8
Acetato de Etilo	13.7	9.1	Dicloroetano	13.2	12.2
Acetato de Metilo	14.2	8.2	Diclorometano	14.6	8.9
Acetato de Vinilo	14.0	8.8	Difenilo	12.0	18.3
Acetona 100%	14.5	7.2	Eter Etílico	14.5	5.3
Acetona 35%	7.9	15.0	Etilbenceno	13.2	11.5
Agua	10.2	13.0	Etilenglicol	6.0	23.6
Ácido Acético 100%	12.1	14.2	Fenol	6.9	20.8
Ácido Acético 70%	9.5	17.0	Formaldehido de Etilo	14.2	8.4
Ácido Butírico	12.1	15.3	Freon 11	14.4	9.0
Ácido Clorosulfónico	11.2	18.1	Freon 12	16.8	5.6
Ácido Fórmico	10.7	15.8	Freon 21	15.7	7.5
Ácido Isobutírico	12.2	14.4	Freon 22	17.2	4.7
Ácido Nítrico 95%	12.8	13.8	Freon 113	12.5	11.4
Ácido Nítrico 60%	10.8	17.0	Freon 114	14.6	8.3
Ácido Propiónico	12.8	13.8	Glicerina 100%	2.0	30.0
Ácido Sulfúrico 110%	7.2	27.4	Glicerina 50%	6.9	19.6
Ácido Sulfúrico 98%	7.0	24.8	Heptano	14.1	8.4
Ácido Sulfúrico 60%	10.2	21.3	Hexano	14.7	7.0
Alcohol Alílico	10.2	14.3	Hidróxido de Sodio 50%	3.2	25.8
Alcohol Amílico	7.5	18.4	Yoduro de Etilo	14.7	10.3
Alcohol Butílico	8.6	17.2	Yoduro de Propilo	14.1	11.6
Alcohol Etílico 100%	10.5	13.8	Isobutano	14.5	3.7
Alcohol Etílico 95%	9.8	14.3	Mercurio	18.4	16.4
Alcohol Etílico 40%	6.5	16.6	Metanol 100%	12.4	10.5
Ácido Clorhídrico 31.5%	13.0	16.8	Metanol 90%	12.3	11.8
Alcohol Isobutilico	7.1	18.0	Metanol 40%	7.8	15.5
Alcohol Isopropílico	8.2	16.0	Metiletilcetona	13.9	8.6
Alcohol Octílico	6.2	21.1	Nafthaleno	7.9	18.1
Alcohol Propílico	9.1	16.5	Nitrobenceno	10.6	15.2
Amoniaco 100%	12.6	2.0	Nitrotolueno	11.0	17.0
Amoniaco 26%	10.1	13.9	Octano	13.7	10.0
Anhidrido Acético	12.7	12.8	Oxalato de Dietilo	11.0	16.4
Andilina	8.1	16.7	Oxalato de Dimetilo	12.3	15.8
Anisol	12.3	13.5	Oxalato de Dipropilo	10.3	17.7
Benceno	12.5	10.9	Pentacloroetano	10.9	17.3
Blóxido de Azufre	15.2	7.1	Pentano	14.9	5.2
Blóxido de Carbono	11.6	0.3	Propano	15.3	1.0
Blisulfuro de Carbono	16.1	7.5	Salmuera CaCl ₂ 25%	8.6	15.9
Bromo	14.2	13.2	Salmuera NaCl 25%	10.2	16.6
Bromotolueno	20.0	15.9	Sodio	16.4	13.9
Bromuro de Etilo	14.5	8.1	Tetracloroetano	11.9	15.7
Bromuro de Propilo	14.5	9.6	Tetracloroetileno	14.2	12.7
n-Butano	15.3	3.3	Tetracloruro de Carbono	12.7	13.1
Ciclohexanol	2.9	24.3	Tetracloruro de Titano	14.4	12.3
Clorobenceno	12.3	12.4	Tribromuro de Fósforo	13.8	16.7
Cloroformo	14.4	10.2	Tricloruro de Arsénico	13.9	14.5
Clorotolueno, orto	13.0	13.3	Tricloruro de Fósforo	16.2	10.9
Clorotolueno, meta	13.3	12.5	Tricloroetileno	14.6	10.5
Clorotolueno, para	13.3	12.5	Tolueno	13.7	10.4
Cloruro de Etilo	14.8	6.0	Turpentina	11.5	14.9
Cloruro de Metilo	15.0	3.8	Xileno, orto	13.5	12.1
Cloruro de Propilo	14.4	7.5	Xileno, meta	13.5	12.1
Cloruro de Sulfúrico	15.2	12.4	Xileno, para	13.9	10.9

VISCOSIDADES DE GASES

Gas	X	Y
Acetato de Etilo	8.5	13.2
Acetona	8.9	13.0
Acetileno	9.8	14.9
Ácido Acético	7.7	14.3
Agua	8.0	16.0
Alte	11.0	20.0
Alcohol Etílico	9.2	14.2
Alcohol Metílico	8.5	15.6
Alcohol Propílico	8.4	13.4
Amoniaco	8.4	16.0
Argón	10.5	22.4
Benceno	8.5	13.2
Bromo	8.9	19.2
Buteno	9.2	13.7
Butileno	8.9	13.0
Blóxido de Azufre	9.6	17.0
Blóxido de Carbono	9.5	18.7
Bisulfuro de Carbono	8.0	16.0
Bromuro de Hidrógeno	8.8	20.9
Cianógeno	9.2	15.2
Ciclohexano	9.2	12.0
Cianuro de Hidrógeno	9.8	14.9
Cloro	9.0	18.4
Cloroformo	8.9	15.7
Cloruro de Etilo	8.5	15.6
Cloruro de Hidrógeno	8.8	18.7
Cloruro de Nitrosilo	8.0	17.6
Etano	9.1	14.5
Eter Etílico	8.9	13.0
Etileno	9.5	15.1
Flúor	7.3	23.8
Freon 11	10.6	15.1
Freon 12	11.1	16.0
Freon 21	10.8	15.3
Freon 22	10.1	17.0
Freon 113	11.3	14.0
Helio	10.9	20.5
Hexano	9.6	11.8
Hidrógeno	11.2	12.4
3H + 1N ₂	11.2	17.2
Vodo	9.0	18.4

VISCOSIDAD DE GASES (CONTINUACION)

GAS	X	Y
Yoduro de Hidrogeno	9.0	21.5
Mercurio	5.3	22.9
Metano	9.9	15.5
Monóxido de Carbono	11.0	20.0
Nitrógeno	10.6	20.0
Oxido Nitrico	10.9	20.5
Oxido Nitroso	8.8	19.0
Oxígeno	11.0	21.3
Pentano	7.0	12.8
Propano	9.7	12.9
Propileno	9.0	13.8
Sulfuro de Hidrógeno	8.6	18.0
Tolueno	8.6	12.4
2, 3, 3-Trimetilbutano	9.5	10.5
Xenón	9.3	23.0

VISCOSIDAD DE GASES Y VAPORES A 1 ATM.

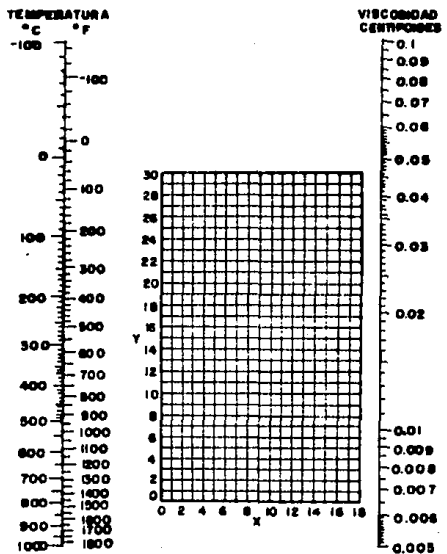


FIG. N° 5

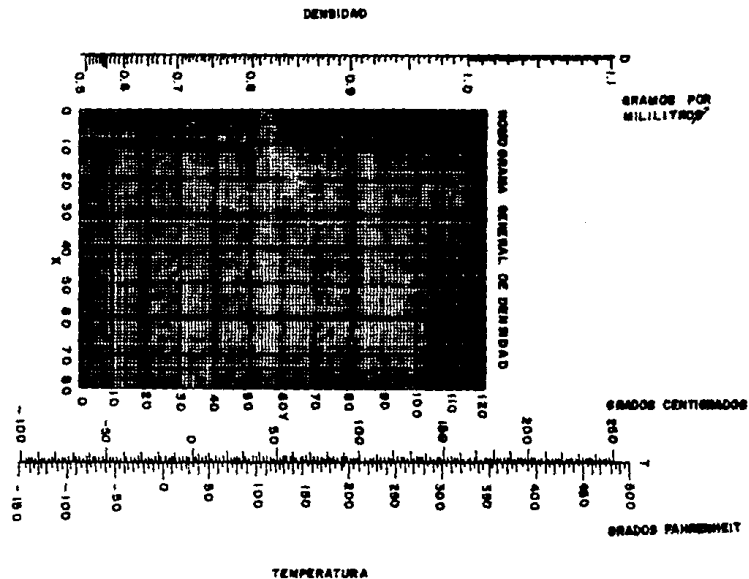
NOMOGRAMA GENERAL DE DENSIDAD

COMUESTO	X	Y
Acético, Ácido	40.6	93.5
Acetona	26.1	47.8
Acetonitrilo	21.8	44.9
Acetileno	20.8	10.1
Amoníaco	22.4	24.6
Alcohol Isosmílico	20.5	52.0
Amina	33.5	92.6
Benceno	32.7	63.0
n-Etúrico, Ácido	31.3	78.7
Isobutano	13.7	16.5
Isobutírico, Ácido	31.5	75.9
Díxido de carbono	28.6	46.4
Clorobenceno	41.7	105.0
Ciclohexano	19.6	44.0
n-Decano	16.0	38.2
n-Dodecano	14.3	41.4
Diisil-mina	17.6	35.5
Etano	10.8	4.4
Estanodiol	32.0	55.5
Acetato de Etilo	35.0	95.0
Alcohol Etílico	24.2	48.6
Cloruro de Etilo	42.7	62.4
Etileno	17.0	3.5
Etil-Eter	22.6	35.8
Formiato de Etilo	37.5	68.4
Propionato de Etilo	32.1	63.9
Etil- α -ropil-Eter	20.0	37.0
Fluorobenceno	41.9	87.6
n-Hexadecano	12.6	45.7
n-Heptano	12.6	29.8
n-Hexadecano	15.5	45.0
n-Hexano	13.5	27.0
Estanodiol	37.3	59.5
Acetato de Fentilo	40.1	70.3
Alcohol Fentílico	25.8	48.1
Cloruro de Fentilo	52.3	62.9
Fentil Eter	27.2	30.1
Fentil-Stil-Eter	25.0	34.4
Fentil Formaldehído	46.4	74.6

MONOGRAFIA GENERAL DE DENSIDAD.

COMPUESTO	X	Y
Propianato de Metilo	36.5	68.3
n-Hexano	16.2	36.5
n-Octadecano	16.2	46.5
n-Octano	12.7	32.5
n-Pentadecano	15.8	44.2
n-Pentano	12.6	22.6
n-Heptadecano	14.9	47.0
Isopentano	13.5	22.5
Fenol	16.7	101.8
Fosfina	28.0	22.1
Propano	14.2	12.2
Piperidina	27.5	60.0
Propil-acetato	33.0	65.5
Propanol	23.8	50.8
n-Tetradecano	15.8	43.3
Trietilamina	17.9	37.0
n-Undecano	14.4	39.2

FIG. N.º 6



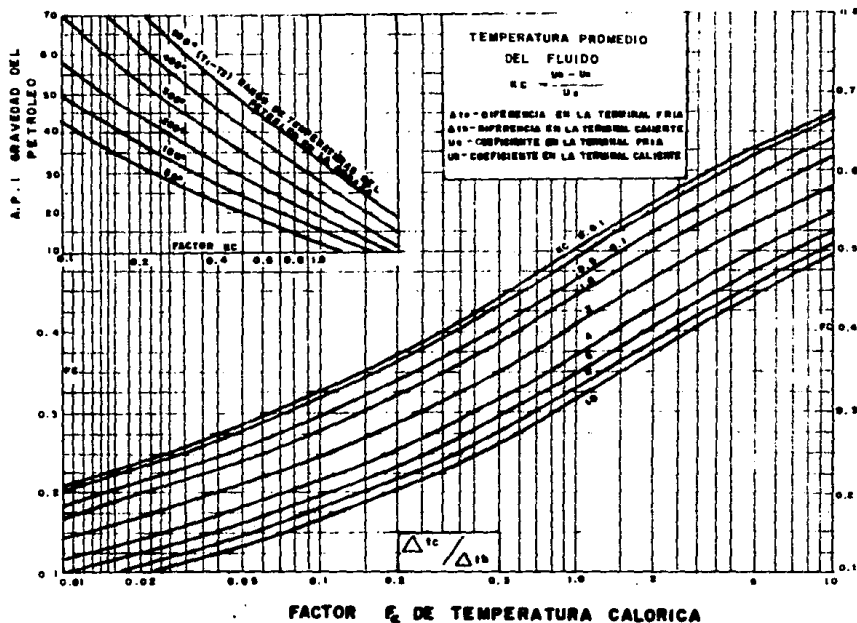


FIG. N° 7

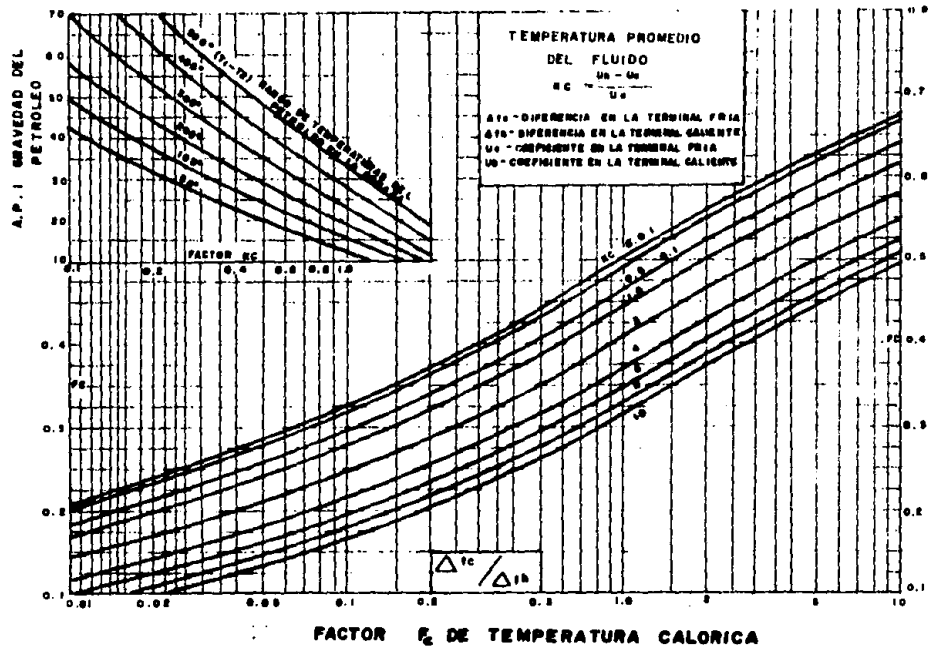
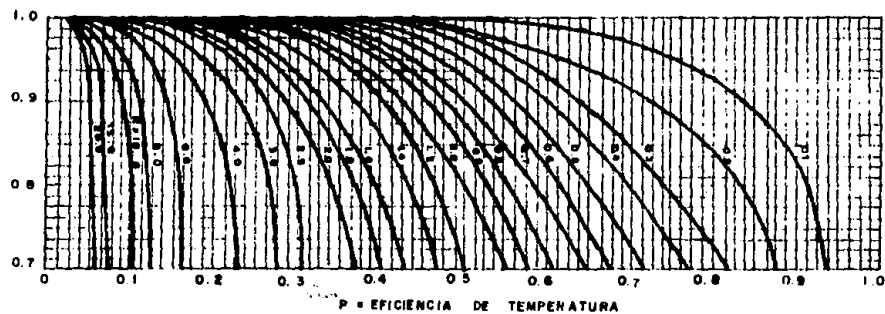
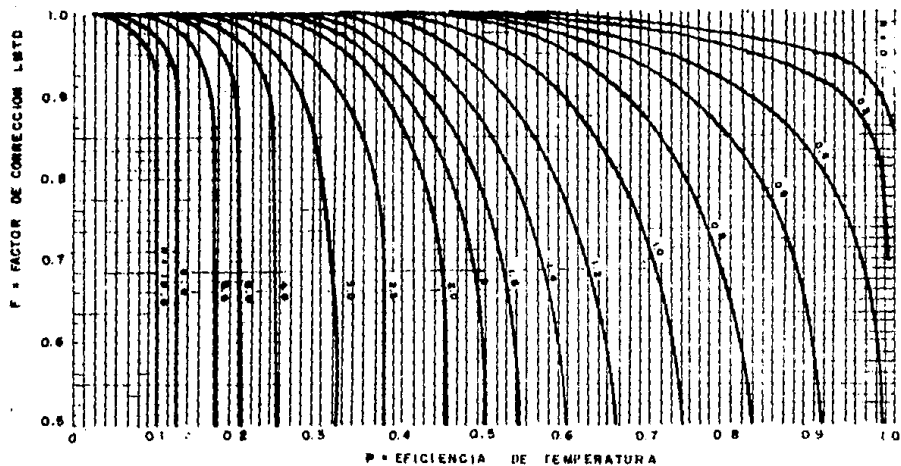


FIG. N° 7



	FACTOR DE CORRECCION LMTD PARA 1 DIVISION EN EL FLUJO DEL PASO DE CORAZA Y CUALQUIER NUMERO DE PASOS POR LOS TUBOS
	$P = \frac{T_2 - T_1}{T_1 - T_1}$ $R = \frac{T_1 - T_2}{T_2 - T_1}$

FIG. N° 8

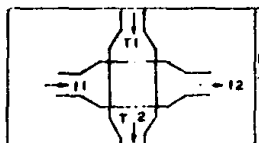
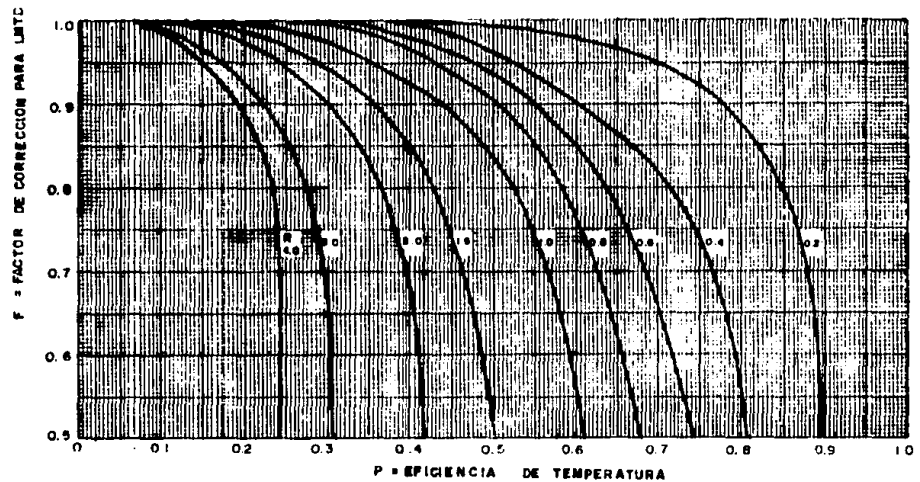


FACTOR DE CORRECCION LMVD PARA FLUJO DIVIDIDO EN LA CORAZA
Y 2 PASOS EN LOS TUBOS

$$P = \frac{T_2 - T_1}{T_1 - T_1}$$

$$R = \frac{T_1 - T_2}{T_2 - T_1}$$

FIG. N° 9



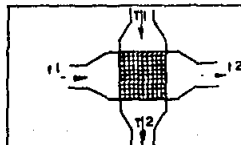
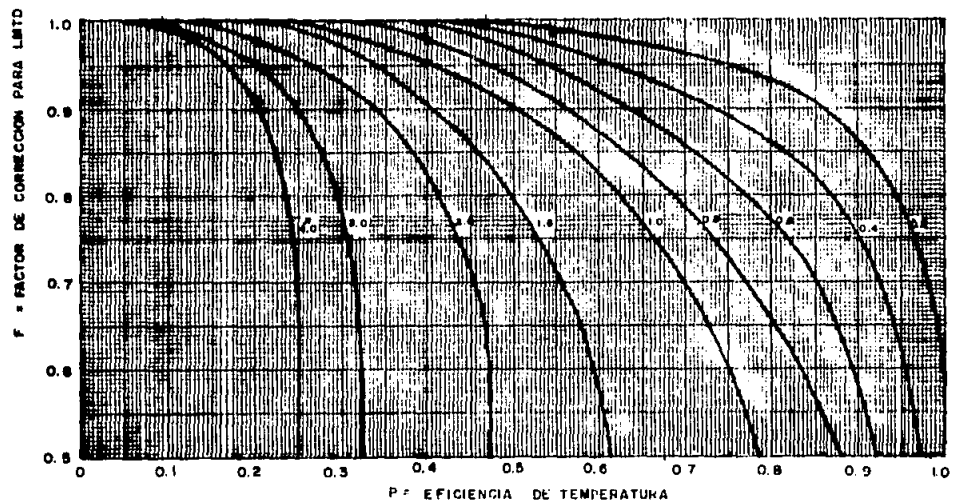
FACTOR DE CORRECCION PARA UN INTERCAMBIADOR DE CALOR DE
FLUJOS TRANSVERBALES CON UN FLUIDO MEZCLADO Y EL OTRO SIN MEZCLAR

$$P = \frac{T_2 - T_1}{T_1 - T_1}$$

$$R = \frac{T_1 - T_2}{T_2 - T_1}$$

$$F = \frac{\Delta T_m}{\Delta T_{log}}$$

FIG. N° 10



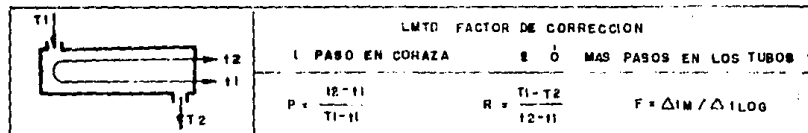
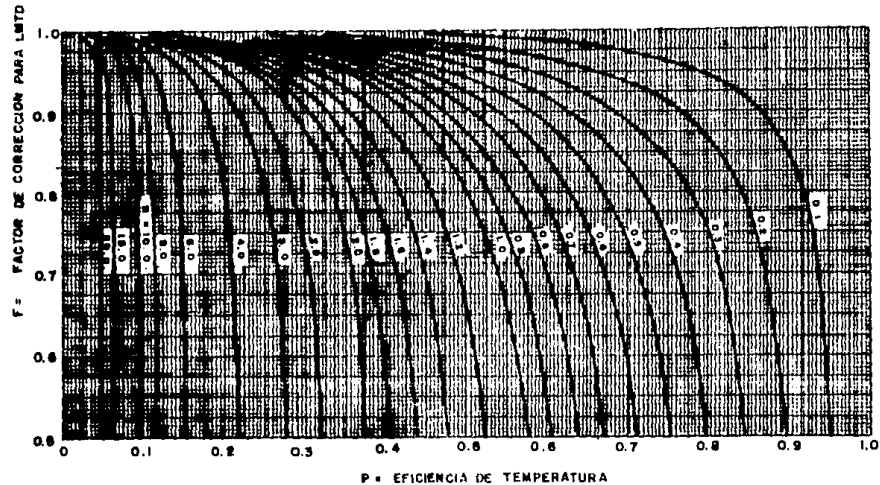
FACTOR DE CORRECCION PARA UN INTERCAMBIADOR DE CALOR
DE FLUJO TRANSVERSAL Y AMBOS FLUIDOS SIN MEZCLAR

$$P = \frac{T_2 - T_1}{T_1 - T_2}$$

$$R = \frac{T_1 - T_2}{T_2 - T_1}$$

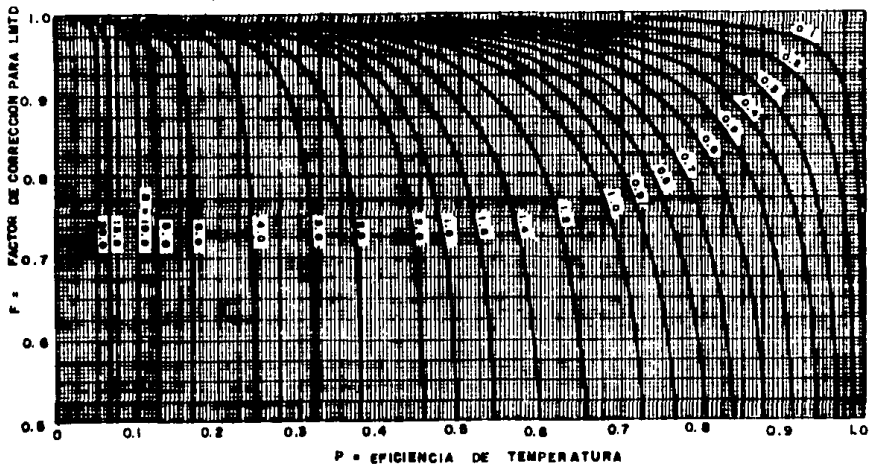
$$F = \Delta t_M / \Delta t_{LOG}$$

FIG. N° 11



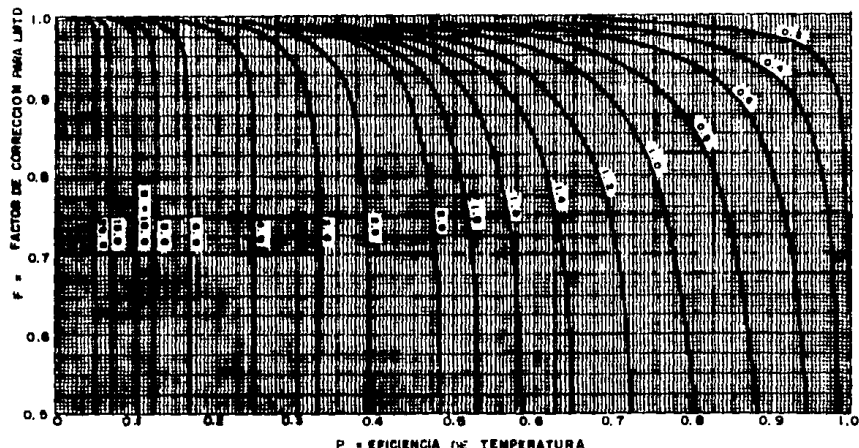
FACTOR DE CORRECCION I PASO EN CORAZA 2 Ó MAS PASOS EN LOS TUBOS

FIG. N°12



FACTOR DE CORRECCION 2 PASOS EN CORAZA 4 O MAS PASOS EN LOS TUBOS

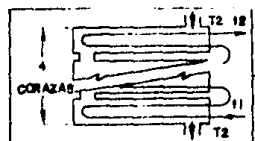
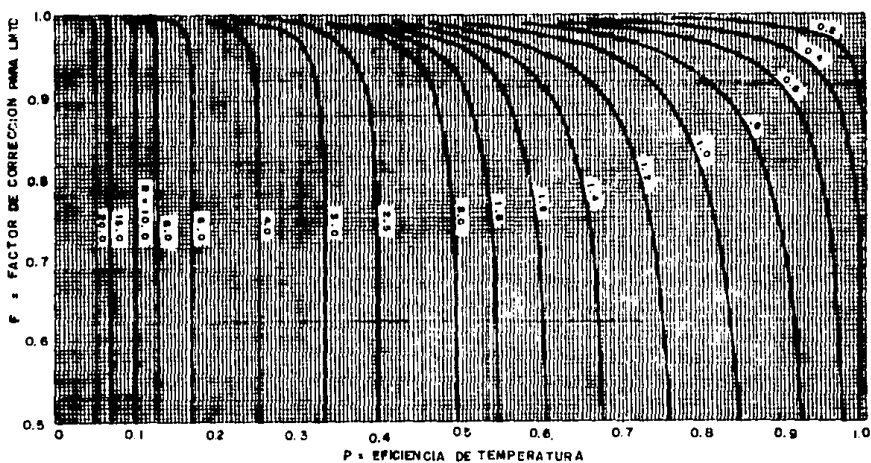
FIG. N° 13



	LMTD FACTOR DE CORRECCION 3 PASOS EN CORAZA 6 O MAS PASOS EN LOS TUBOS		
	$P = \frac{T_2 - T_1}{T_1 - T_2}$	$R = \frac{T_1 - T_2}{T_2 - T_1}$	$F = \Delta t_M / \Delta t_{LDR}$

FACTOR DE CORRECCION 3 PASOS EN CORAZA 6 O MAS PASOS EN LOS TUBOS

FIG. N° 14



LMTD FACTOR DE CORRECCION
4 PASOS EN CORAZA 8 O MAS PASOS EN LOS TUBOS

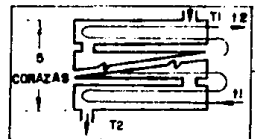
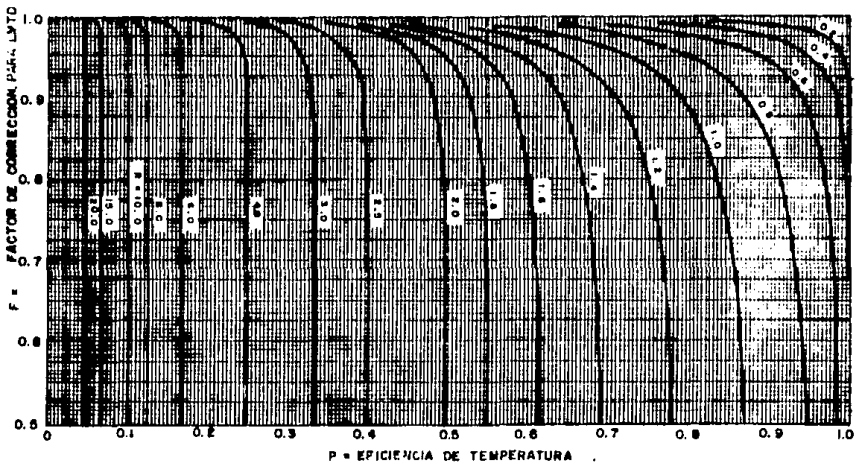
$$P = \frac{T_2 - T_1}{T_{12} - T_1}$$

$$R = \frac{T_1 - T_2}{T_{12} - T_1}$$

$$F = \Delta t_M / \Delta t_{LOG}$$

FACTOR DE CORRECCION LMTD 4 PASOS EN CORAZA 8 O MAS PASOS EN LOS TUBOS

FIG. N° 18



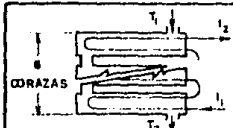
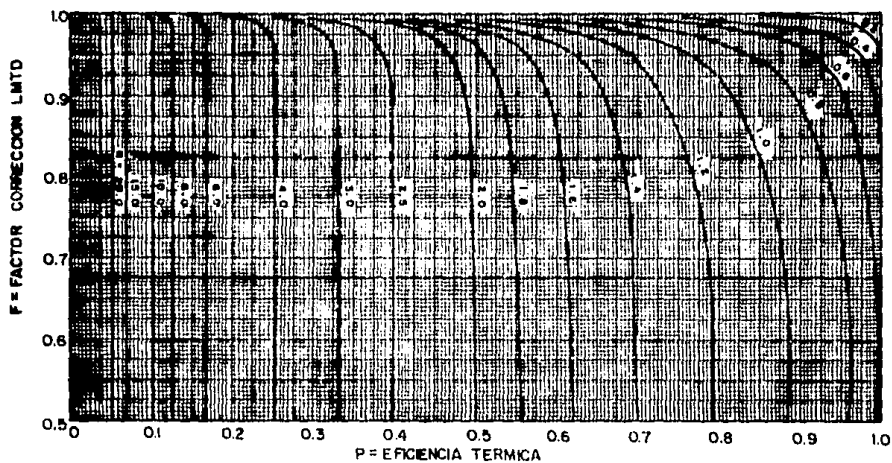
LMTD FACTOR DE CORRECCION
5 PASOS EN CORAZAS 10 ó MAS PASOS EN TUBOS

$$P = \frac{T_2 - T_1}{T_1 - T_2} \quad R = \frac{T_1 - T_2}{T_2 - T_1}$$

$$F = \frac{\Delta T_1}{\Delta T_1 + \Delta T_2}$$

FACTOR DE CORRECCION 5 PASOS EN CORAZA 10 ó MAS PASOS EN LOS TUBOS

FIG. N° 16



FACTOR CORRECCION LMTO
6 PASES EN CORAZA 12 O' MAS PASES POR TUBOS

$$P = \frac{T_2 - T_1}{T_{12} - T_1}$$

$$R = \frac{T_1 - T_2}{T_{12} - T_1}$$

$$F = \Delta t_M / \Delta t_{LOG}$$

FIG. N° 17

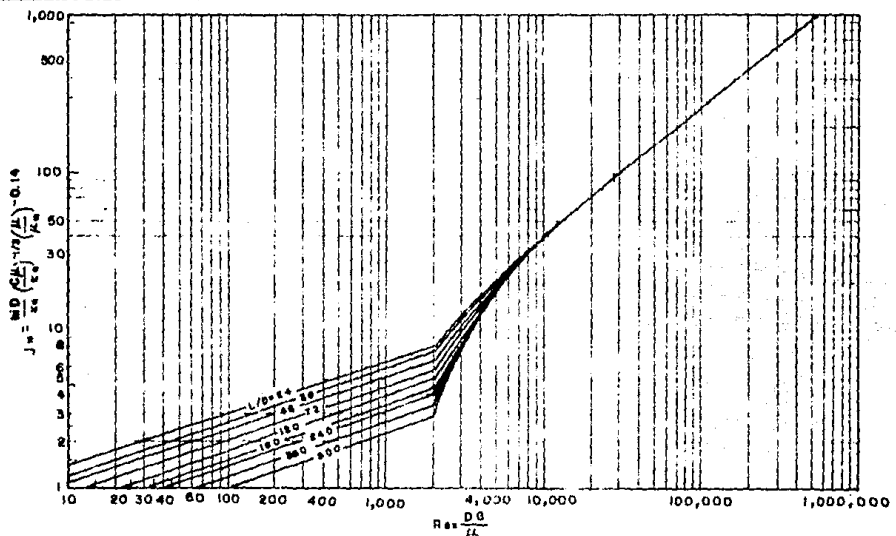


FIG. N° 18 TRANSFERENCIA DE CALOR POR EL LADO DE LOS TUBOS

h = COEFICIENTE DE PELICULA $Btu/(hr)(sq.ft)(^{\circ}F)$

h_0 = COEFICIENTE DE PELICULA REFERIDO A AREA EXTERIOR $BTU/(hr)(sq.ft)(^{\circ}F)$

ID = DIAMETRO INTERIOR DEL TUBO, PULGADAS

OD = DIAMETRO EXTERIOR DEL TUBO, PULGADAS

W = MASA VELOCIDAD $lb/(hr)^2/[ft](sq.ft)$

C = CALOR ESPECIFICO $Btu/(lb)(^{\circ}F)$

K_0 = CONDUCTIVIDAD TERMICA $BTU/(hr)(sq.ft)(^{\circ}F/ft)$

A = AREA DE FLUJO ATRAVÉS DEL TUBO, $sq.ft$

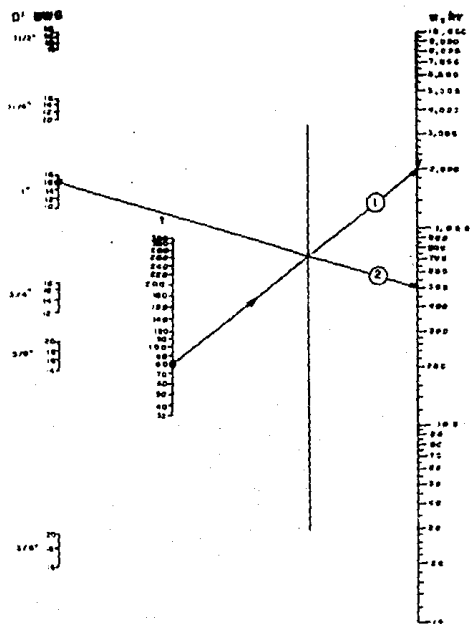
L = LONGITUD DE LA TRAYECTORIA DEL FLUJO, ft

D = DIAMETRO INTERIOR DEL TUBO, ft

μ = VISCOSIDAD A LA TEMPERATURA CALORICA, $lb./ft.(hr)$

μ_w = VISCOSIDAD A LA TEMPERATURA DE PARED DEL TUBO, $lb./ft.(hr)$

NOTA: CORREGIR h_0 POR CONDICIONES $\frac{ID}{D}$
VISCOSIDAD EN CENTIPOBES $\times 2.42 \cdot 10^{-6}(hr)$



BWG = ESPESOR DEL TUBO

D^o = DIÁMETRO EXTERIOR DEL TUBO

h_f = COEFICIENTE DE TRANSFERENCIA DE CALOR
REFERIDA AL DIÁMETRO EXTERIOR DEL TUBO

T = TEMPERATURA PROMEDIO DEL AGUA °F

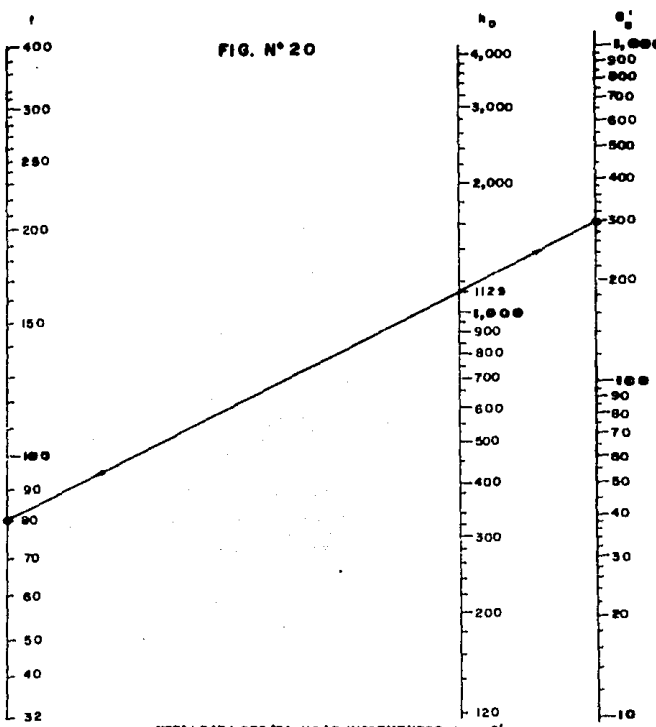
W = RANGO DE FLUJO lb./(hr)(TUBO)

PULGADAS
BTU/(hr)(sq ft)(°F)

COEFICIENTE DE TRANSFERENCIA DE CALOR, AGUA
DENTRO DE TUBOS ($Re > 2100$)

FIG. N° 19

FIG. N° 20



NOTA: PARA CORAZA USAR INCREMENTOS h_0 14%

CÁRTAS BASADAS EN TUBOS DE 3/4" D'
PARA OTROS DIÁMETROS MULTIPLICAR EL VALOR LEIDO POR

D'	8/6"	3/4"	1"	CUALQUIERA
MULTIPLIQUE	1.078	1.0	0.88	(0.78/0.7) ^{0.4}

G' MASA VELOCIDAD ATRAVÉS DE LA APERTURA DEL BAFILE
G' MASA VELOCIDAD EN FLUJO CRUZADO
G' (G' G')^{1/2}, MEDIDA GEOMÉTRICA DE LA MASA VELOCIDAD
G' COEFICIENTE DE TRANSFERENCIA DEL LADO DE LA CORAZA
D' DIÁMETRO EXTERIOR DEL TUBO
T TEMPERATURA PROMEDIO DEL AGUA

lb/(sec)(sq.ft.)
lb/(sec)(sq.ft.)
lb/(sec)(sq.ft.)
BTU/(hr)(sq.ft)(°F)
PULSADAS
°F

COEFICIENTE DE TRANSFERENCIA DE CALOR PARA AGUA EN INTERCAMBIADORES CON BAFILES
SEGMENTADOS DEL LADO DE LA CORAZA

TABLA N° 4

Valores aproximados de los coeficientes totales para diseño, - los valores incluyen un factor de obstrucción total de 0.003 y caída de presión permisible de 5 a 10 lb/pulg.² en la corriente que controle.

ENFRIADORES

<u>Fluido Caliente</u>	<u>Fluido Frio</u>	<u>Up Total</u>
Aqua	Aqua	250 - 500 4
Metanol	Aqua	250 - 500 4
Amoniaco	Aqua	250 - 500 4
Soluciones acuosas	Aqua	250 - 500 4
Sustancias orgánicas ligeños 1	Aqua	75 - 150
Sustancias orgánicas medianas 2	Aqua	50 - 125
Sustancias orgánicas pesadas 3	Aqua	5 - 75
Aqua	Salmuera	100 - 200
Sustancias orgánicas ligeñas	Salmuera	40 - 100
Gases	Aqua	2 - 50 5

CALENTADORES

<u>Fluido Caliente</u>	<u>Fluido Frio</u>	<u>Up Total</u>
Vapor de agua	Aqua	200 - 700 4
Vapor de agua	Metanol	200 - 700 4
Vapor de agua	Amoniaco	200 - 700 4
Vapor de agua	Soluciones acuosas	
Vapor de agua	Menor de 2.0 Cp.	200 - 700
Vapor de agua	Más de 2.0 Cp.	100 - 500 4
Vapor de agua	Sustancias orgánicas ligeñas	100 - 200
Vapor de agua	Sustancias orgánicas medianas	50 - 100
Vapor de agua	Sustancias orgánicas pesadas	6.60
Vapor de agua	Gases	5.50 3

INTERCAMBIADORES

<u>Fluido Caliente</u>	<u>Fluido Frio</u>	<u>UD Total</u>
Agua	Agua	250 - 500(4)
Solucion es acuosas	Soluciones acuosas	250 - 500(4)
Sustancias orgánicas	Sustancias orgánicas	40 - 75
ligeiras	ligeiras	
Sustancias orgánicas	Sustancias orgánicas	20 - 60
medias	medias	
Sustancias orgánicas	Sustancias orgánicas	10 - 40
pesadas	pesadas	
Sustancias orgánicas	Sustancias orgánicas	30 - 60
pesadas	ligeiras	
Sustancias orgánicas	Sustancias orgánicas	10 - 40
ligeiras	pesadas	

NOTAS:

- 1.- Las sustancias orgánicas ligeras son fluidos con viscosidades menores de 0.5 Cp. e incluyen Benceno, Tolueno, Acetona, Etanol, Metil-til-cetona, Gasolina, Kerosén y Nafta.
- 2.- Las sustancias orgánicas medianas tienen viscosidades de 0.5 a 1.0 Cp. e incluyen Kerosén, Strawoil, Gasoil caliente, Aceite de absorbador caliente y algunos crudos.
- 3.- Sustancias orgánicas pesadas tienen viscosidades mayores de 1.0 Cp. e incluyen Gasoil frío, Aceites lubricantes, Petróleo combustible, Petróleo crudo reducido, Breas y Asfaltos.
- 4.- Factor de obstrucción 0.001.
- 5.- Estas tasas están influenciadas grandemente por la presión de operación.

TABLA N° 3 CONTEO DE TUBOS

TABLA N°5 CONTEO DE TUBOS (CONTINUACION)

Tubos de 1½" DE, arreglo en cuadro de 1¾" plg						Tubos de 1½" DE, arreglo en cuadro de 1¾" plg					
Coraza Di, plg	1-P	2-P	4-P	6-P	8-P	Coraza Di, plg	1-P	2-P	4-P	6-P	8-P
10	16	12	10			12	16	16	12	12	
12	30	24	22	16	16	13½	22	22	16	16	
13½	32	30	30	22	22	15½	29	29	25	24	22
15½	44	40	37	35	31	17½	39	39	34	32	29
17½	56	53	51	48	44	19½	50	48	45	43	39
19½	78	73	71	64	56	21½	62	60	57	54	50
21½	96	90	86	82	78	23½	78	74	70	66	62
23½	127	112	106	102	96						
25	140	135	127	123	115	25	91	90	86	81	78
27	160	160	151	146	140	27	112	108	102	98	94
29	193	188	178	174	166	29	131	127	120	116	112
31	226	220	209	202	193	31	151	146	141	138	131
33	258	252	244	238	226	33	176	170	164	160	151
35	293	287	275	268	255	35	202	196	188	182	170
37	334	322	311	304	293	37	224	220	217	210	202
39	370	362	348	342	336	39	252	246	237	230	224
Tubos de 1¾" DE, arreglo triangular de 1¾" plg						Tubos de 1¾" DE, arreglo triangular de 1¾" plg					
10	20	18	14			12	18	14	14	12	12
12	30	26	22	22	20	13½	27	22	18	16	14
13½	38	36	32	28	26	15½	30	34	32	30	27
15½	54	51	45	42	38	17½	48	44	42	35	36
17½	69	68	62	58	54	19½	61	58	55	51	48
19½	95	91	86	78	69	21½	95	91	86	80	76
21½	117	112	105	101	95	23½	115	110	103	98	95
23½	140	136	130	123	117	25	136	131	125	118	115
25	170	164	155	150	140						
27	202	196	185	179	170	27	160	154	147	141	136
29	235	228	217	212	202	29	184	177	172	165	160
31	275	270	255	215	235	31	215	206	200	190	181
33	315	305	297	298	275	33	246	238	230	220	215
35	357	318	335	327	315	35	275	268	260	252	246
37	407	390	380	374	357	37	307	299	290	284	275
TUBOS DE 5/8" DE ARREGLO TRIANGULAR DE 13/16											
8	50	46	42	40	36						
10	88	86	74	70	64						
12 1/4	137	128	120	110	108						
13 1/4	244	230	216	208	200						
14 1/4	339	322	298	286	264						
15 1/4	410	394	378	368	344						
21 1/4	476	462	442	426	416						
22 1/4	578	558	530	518	540						
25	698	676	640	630	616						
27	824	800	788	760	746						
29	966	944	904	890	874						
31	1098	1069	1038	1018	1004						

TABLA N°6 CARACTERISTICAS DE TUBING

TABLA N°6 CARACTERISTICAS DE TUBOS (CONTINUACION)

D. E. PLG.	B. W. G.	ESPESOR PLG.	AREA DE FLUJO POR TUBOS PLG. ²	SUPERFICIE EXTERIOR POR PIE LINEAL PLG. ²	SUPERFICIE INTERIOR POR PIE LINEAL PLG. ²	PESO POR PIE LINEAL lb DE ACER- O %	D. I. PLG.	CONSTANTE C. W	D. E. D. I.
1	2	3	4	5	6	7	8	9	10
1-1/4	7	.165	.6221	.2572	.2310	.897	.870	.476	
1-1/4	8	.165	.5648	.2572	.2329	.897	.820	.432	
1-1/4	10	.165	.5271	.2572	.2371	.897	.742	.357	
1-1/4	11	.165	.4915	.2572	.2434	.897	.695	.320	
1-1/4	12	.165	.4675	.2572	.2502	.897	.635	.295	
1-1/4	13	.165	.4450	.2572	.2571	.897	.575	.277	
1-1/4	14	.165	.4239	.2572	.2641	.897	.514	.260	
1-1/4	15	.165	.4034	.2572	.2710	.897	.453	.245	
1-1/4	16	.165	.3835	.2572	.2779	.897	.391	.230	
1-1/4	18	.165	.3643	.2572	.2848	.897	.330	.215	
1-1/4	20	.165	.3459	.2572	.2917	.897	.269	.200	
1-1/2	10	.134	.1.192	.3227	.2275	1.215	1.227	1.350	
1-1/2	12	.134	.1.092	.3227	.2344	1.215	1.224	1.214	
1-1/2	14	.134	.9927	.3227	.2412	1.215	1.224	1.181	
1-1/2	16	.134	.8927	.3227	.2479	1.215	1.224	1.159	
2	11	.120	.2.622	.3226	.2521	1.412	1.753	2.725	
2	12	.120	.2.322	.3226	.2590	1.412	1.812	4.014	
2-1/2	9	.118	3.815	.6540	.3770	3.719	2.206	5.921	1.134

* PESO BASADO EN ACERO AL CARBON CON UNA DENSIDAD DE 0.2833 lb/PLG.³

PARA OTROS METALES MULTIPLICAR POR LOS SIGUIENTES FACTORES

ALUMINIO	0.95	NIQUEL-CROMO-ACERO	1.07
A.I.S.I SERIE 400 A. I	0.99	ADMIRALTY	1.09
A.I.S.I SERIE 300 A. I	1.02	NIQUEL Y NIQUEL-COBRE	1.13
ALUMINIO BRONCE	1.04	COBRE Y COBRE-NIQUEL	1.14

* * VELOCIDAD DE LIQUIDO - 188 POR TUBO/HORA EN PIE/SEG.
C.G.R.A. ESP. LIQUIDO

GRA.ESP. AGUA A° 60° F = 1.0

TABLA NR. 7
FACTORES DE OBSTRUCCION

Gases y Vapores

	<u>Factor de Obstrucción</u>
Vapores de alta calidad de Aceites libres y limpios	0.0003
Vapores de baja calidad de Aceites libres y limpios	0.0003
Vapor Petrolífero	0.001
Aire comprimido	0.002
Gases ácidos	0.001
Vapores de Solventes	0.001
Gas Natural	0.001
Vapor	0.00005

Líquidos

Agua de Bahía	0.0023
Aqua de Mar	0.001 - 0.0005
Aqua destilada	0.0005
Aqua de poso dura	0.0033
Aqua sin tratar para torres de enfriamiento	0.0033
Aqua tratada para torres de enfriamiento	0.0015
Aqua de Rio lodosa & turbia	0.002
Salmuera Natural	0.001
Aqua para chaqueta de motor	0.0012
Aqua de alimentación tratada para caldera	0.0015
Aceite combustible	0.006
Aceites lubricantes	0.0001 - 0.00025

Factores de Obstrucción Cont.

Solventes limpios orgánicos	0.001
Aceites vegetales	0.004
Líquidos Refrigerantes	0.001
Aceites industriales para transferencia de calor	0.001
Fluidos hidráulicos	0.001
Fluidos de proceso General	0.00005 - 0.0003
Gasolina natural y gases de petróleo licuados	0.001
Aceite Rico	0.001
Aceite Pobre	0.002

T A B L A _ N o . 8

TABLA DE CORROSION

TABLA DE CORROSION CONT.

	X CONCENTRA- CION	TEMPERATURA °F	ACERO AL CARBON	COPRO	MUNIZ	ADMIRALTY	CUPRO NIUEI 90-10	CUPRIC-SILVERI 70-30	ALUMINIO	ACERO INOXI- DABLE T-304	ACERO INOXI- DABLE F-316	NICKEL	INCONEL	HASTELLLOY	TITANIO	
Eter	100	70	B	B	B	B	B	B	B	B	B	B	B	B	A	A
Etilico, Alcohol	100	70	B	B	B	B	B	B	B	B	B	B	B	B	A	A
Etilenglicol	100	70	B	B	B	B	B	B	B	B	B	B	B	B	A	A
Glicerina	100	70	A	A	A	A	A	A	A	A	A	A	A	A	A	A
Hexano	100	70	A	A	A	A	A	A	A	A	A	A	A	A	A	A
Isopropanol	100	70	A	B	B	B	B	B	B	B	B	B	B	B	B	A
Lactico, Acido	50	70	D	B	C	C	B	B	D	B	A	C	A	A	A	A
Metano	100	70	A	A	A	A	A	A	A	A	A	A	A	A	A	A
Metilico, Alcohol	100	70	B	B	B	B	B	B	B	B	B	-	-	-	A	A
mono-cloro-benceno (feno)	100	70	B	B	B	B	B	B	A	B	A	A	B	B	B	B
mono-cloro-difloro-me- tano (Freon)	100	70	A	-	-	-	A	A	A	A	A	A	A	A	A	A
Nitro-1, 4-dio	50	100	-	-	-	-	-	-	B	B	B	C	C	C	-	-
o-nol	50	100	B	B	B	B	B	B	B	B	B	B	B	B	-	-
o-nol, hidroxilo	50	100	B	B	B	B	B	B	B	B	B	B	B	B	B	B
Sulfurico, .mida (terciario)	60	200	-	-	-	-	-	-	B	B	B	-	-	B	-	-
tolueno	100	200	A	A	A	A	A	A	A	A	A	A	A	A	A	A
Agua fría	100	70	C	C	C	C	C	C	A	A	A	A	A	A	A	A
Agua de mar	100	70	C	B	C	C	C	C	B	C	C	C	C	B	B	C

B I B L I O G R A F I A

- BIRD, R.B., W.E. STEWART
Fenómenos de Transporte.
Reverté, S.A.
1982
- EVANS, F.L.
Equipment Design Hand Book
Gulf Publishing Company
- INGENIERIA, S.A.
Especificaciones para Intercambiadores
de Calor (Publicación Privada)
- KEITH, F.A.
Mechanical Design of Process Systems
Vol. I, Cap. 3; Vol. II, Cap. 7
Gulf Publishing Company
1986
- KERN, J.D.
Procesos de Transferencia de Calor.
C.E.C.G.A.
1978
- LORD, R.C., P.E. MINTON
Design of Heat Exchangers
Chemical Engineering, January 26, V 77, N°
(96 - 118)
1970
- LUDVING, F.E.
Applied Process Design for Chemical and
Petroleum Plants.
Gulf Publishing Company
- MARJOUR, A.J.
Transferencia de Calor
HARLA
1976

- PATERSON-KELLEY Co.
Process Heat Exchanger División
(Publicación Privada)
1982
- PERRY, J.H.
Manual del Ingeniero Químico
P.E.Q.C.A., 3^a Edición
1978
- ROHRSCHWEIER, W.N., J.P. HARTNETT
Handbook of Heat Transfer Applications
McGraw Hill
1986
- Tubular Exchanger Manufacturers Associations
6^a Edición
1978